



Jet in ATLAS

隅田 土詞

2012年7月5日

Kyoto ATLAS group meeting



Outline

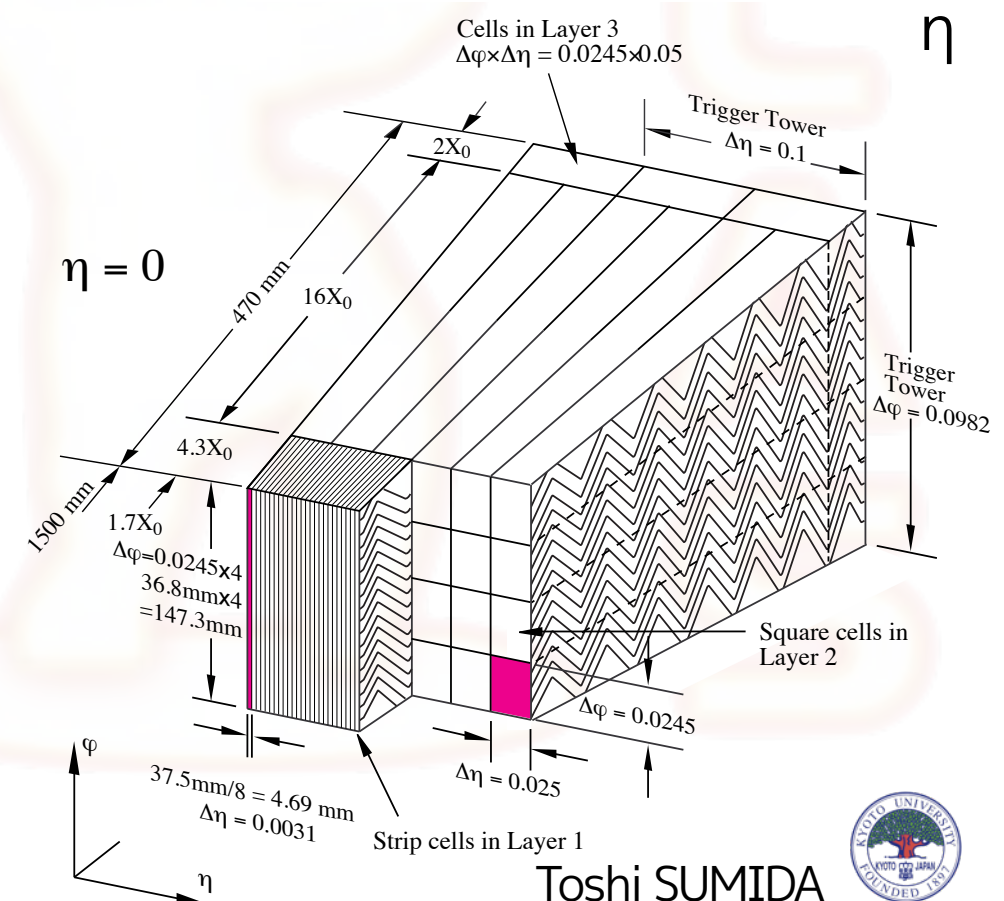
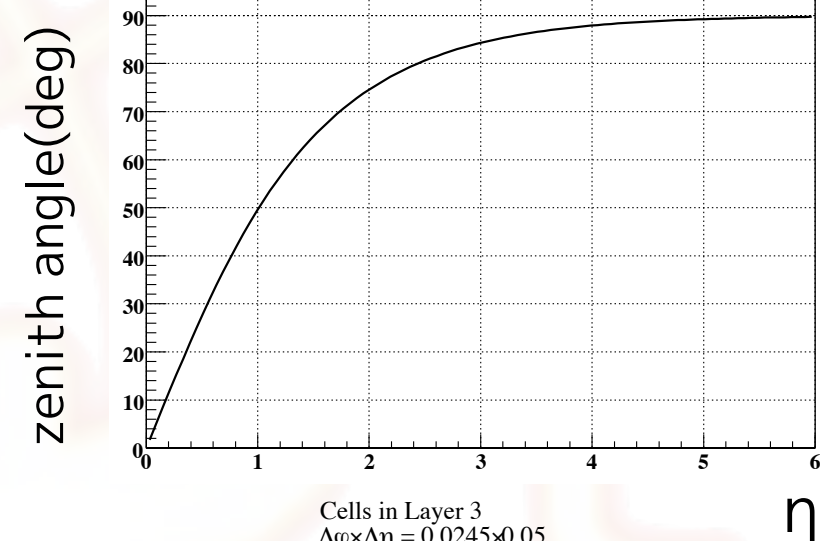
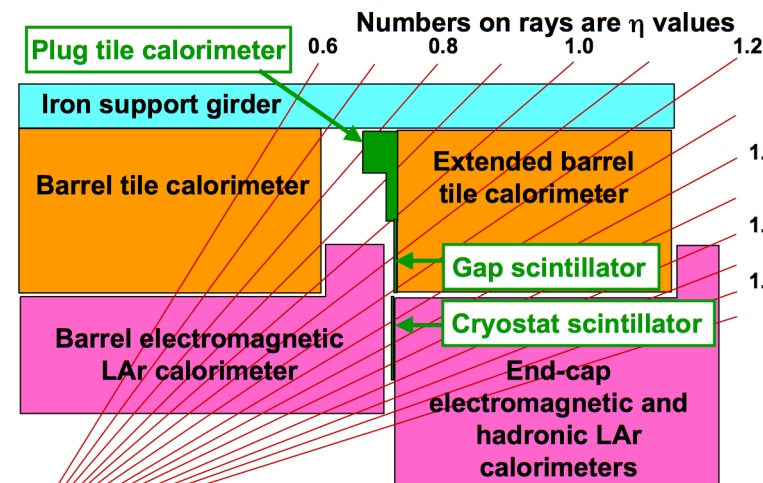
- Introduction
 - ATLAS calorimeter
 - What are Jets ?
 - ▶ physics, measurement
 - Jet reconstruction
- Jet calibration
 - Absolute jet calibration
 - In-situ jet calibrations
- Jet Energy Scale uncertainty in 2010 data
 - ▶ MC-base, single particle
- Pile-up
 - corrections for jets (and MET)
- JES uncertainty in 2011 full data
 - pile-up correction
 - in-situ calibrations



Introduction

コライダーでの座標表示

- pseudo-rapidity
 - $\eta = -\ln(\tan(\Theta/2))$
 - ▶ Θ : 天頂角
 - 0: 検出器中心から垂直の面
 - ▶ coverage in ATLAS : $|\eta| < \sim 4.9$
- ビーム軸周りの方位角
 - $-\pi < \Phi < \pi$ (rad)
- 検出器中心から延びる方向
 - “longitudinal” (あんまり気にしない)
- 物理オブジェクト同士の“距離”
 - $\Delta R = \sqrt{(\Delta\eta^2 + \Delta\Phi^2)}$
 - ▶ もちろん dN/dR には意味があるし、
中心付近では実際の大きさも近い



The ATLAS Calorimeter

- 電磁カロリメータ

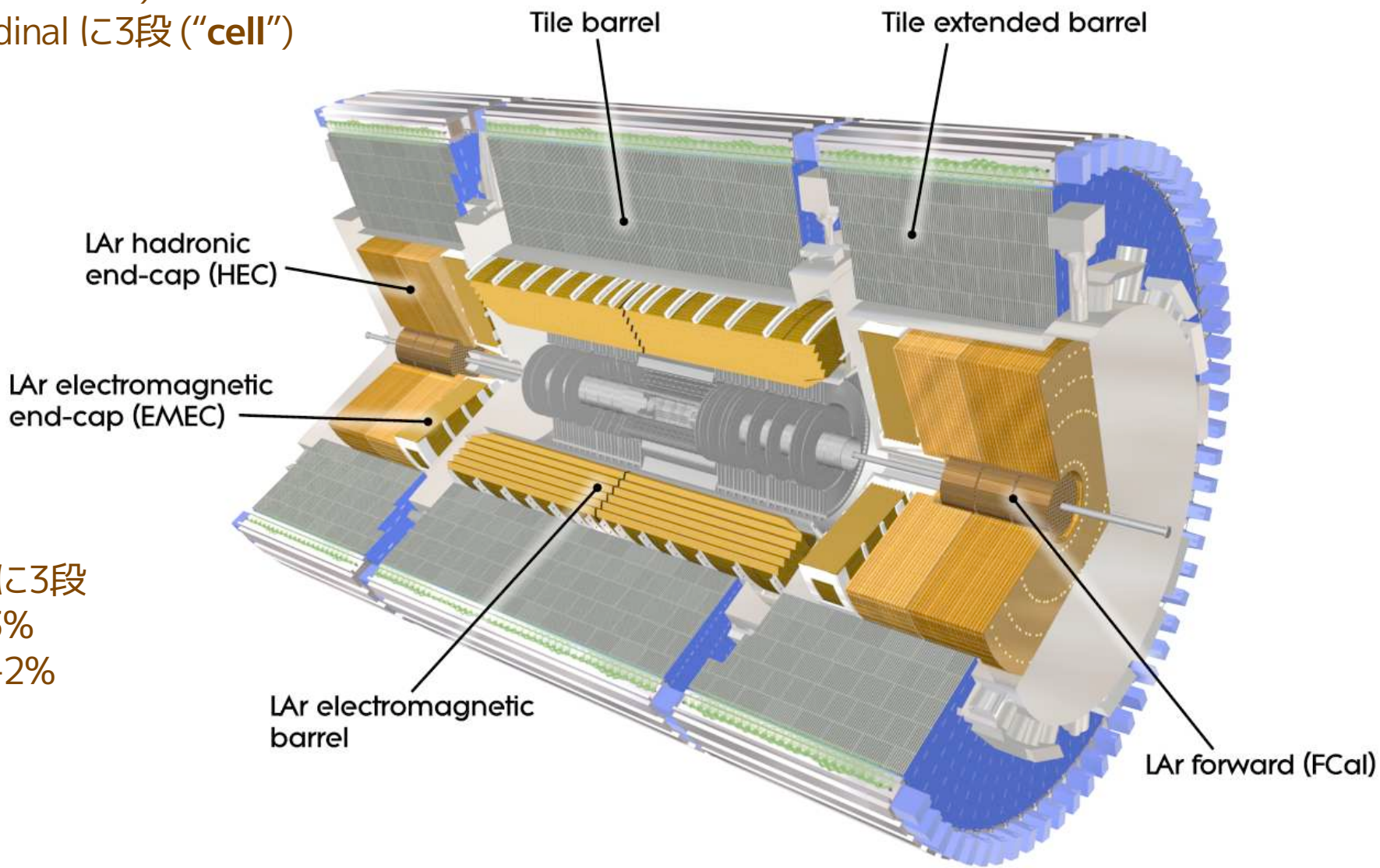
- Liquid Argon : “**LAr**”
- 鉛アコーディオン型radiator + LAr (ionization)
- Segment: $0.025 \times 0.025 \eta\text{-}\Phi$, longitudinal に3段 (“**cell**”)
- Resolution: $\sigma E/E = 10\%/\sqrt{E} \oplus 0.7\%$
- Coverage
 - EC まで $|\eta| < 3.2$

- ハドロンカロリメータ

- “**TileCal**”
- 鉄 absorbers
 - + タイル型plasticシンチレータ
- Coverage
 - Long Barrel: $|\eta| < 1.0$
 - Extended Barrel:
 $0.8 < |\eta| < 1.7$
- $\eta\text{-}\Phi$ Segment: 0.1×0.1 , longitudinal に3段
- Resolution: $\sigma E/E (\text{jet}) = \sim 50\%/\sqrt{E} \oplus 3\%$
- goal : Jet energy scale uncertainty: 1-2%

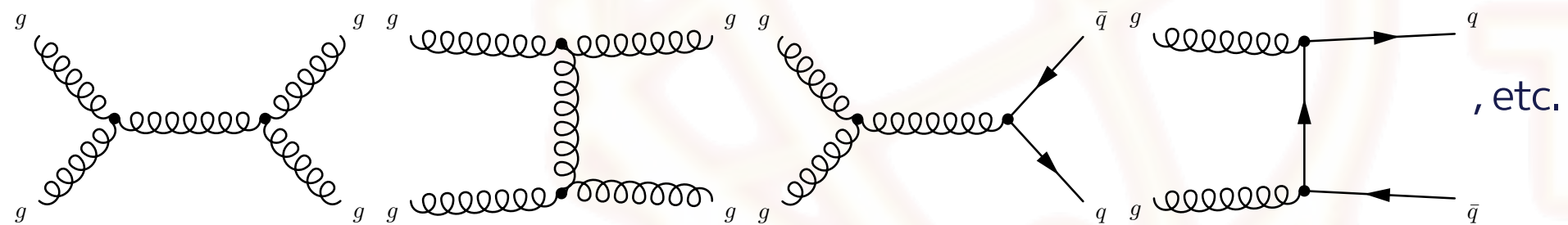
- その他

- Hadron Endcap Calorimeter
 - “**HEC**”, $|\eta| < 3.2$
- Forward Calorimeter
 - “**FCAL**”, $3.1 < |\eta| < 4.9$
 - ✓ いずれも技術は Copper+LAr

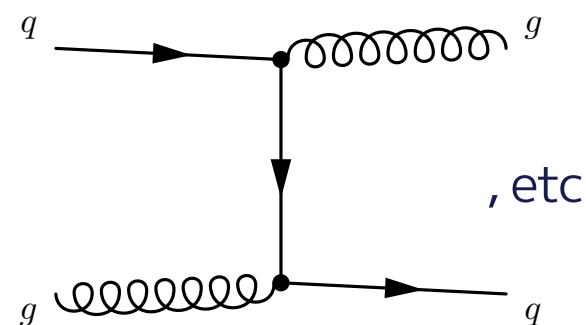


陽子-陽子衝突で起こること

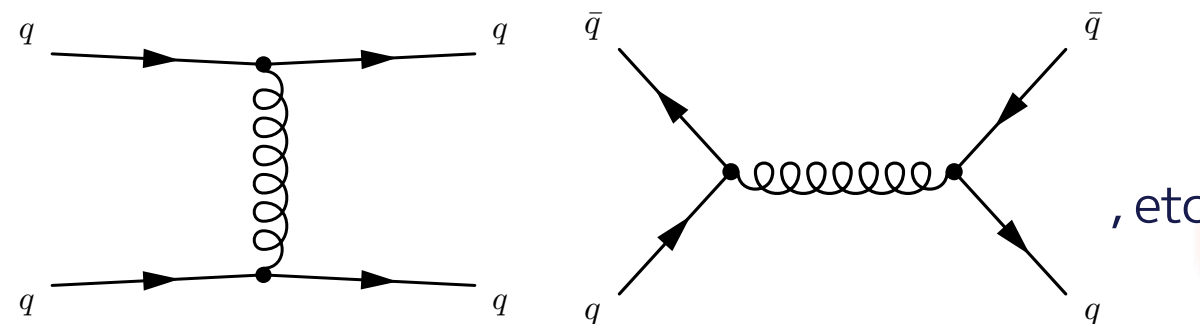
- 高エネルギーでのハドロン衝突 = パートン + パートン衝突
 - 2→2プロセス
 - gg 反応(一番多い)



‣ qg 反応



‣ qq 反応



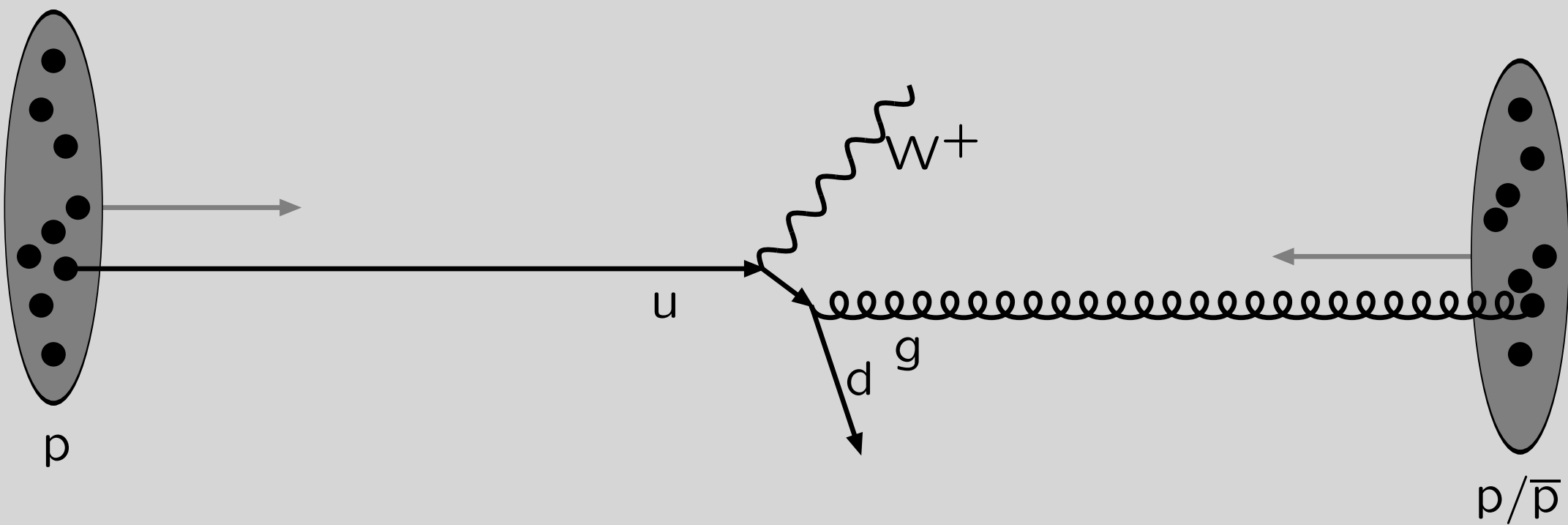
LHC で起こるほとんどの事象は QCD で作られる。
放出された高エネルギー-パートン
(クォーク、グルーオン) が Jet になる。
2→2プロセスで **di-jet** イベントができる。
その他、ISR, FSR での low pT jet、
高次反応で multi-jet に。

もう少し…

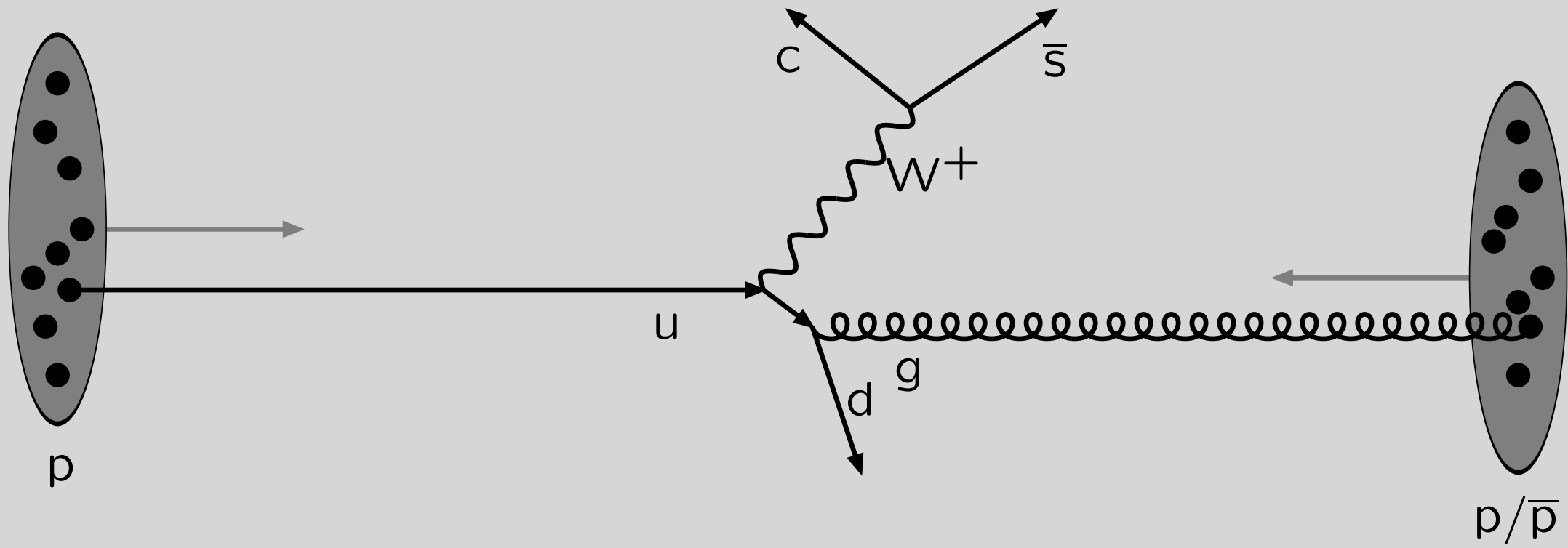
ハドロン衝突で起こっていること (W + jet 生成の場合)



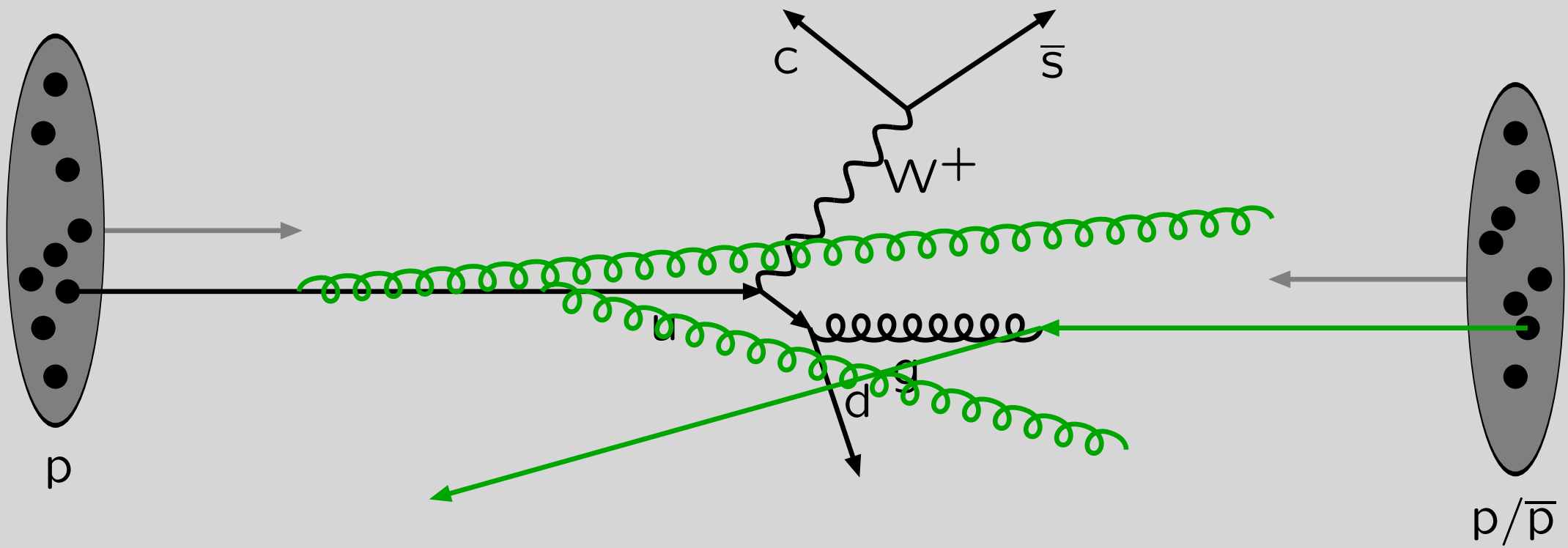
K. Hanagaki



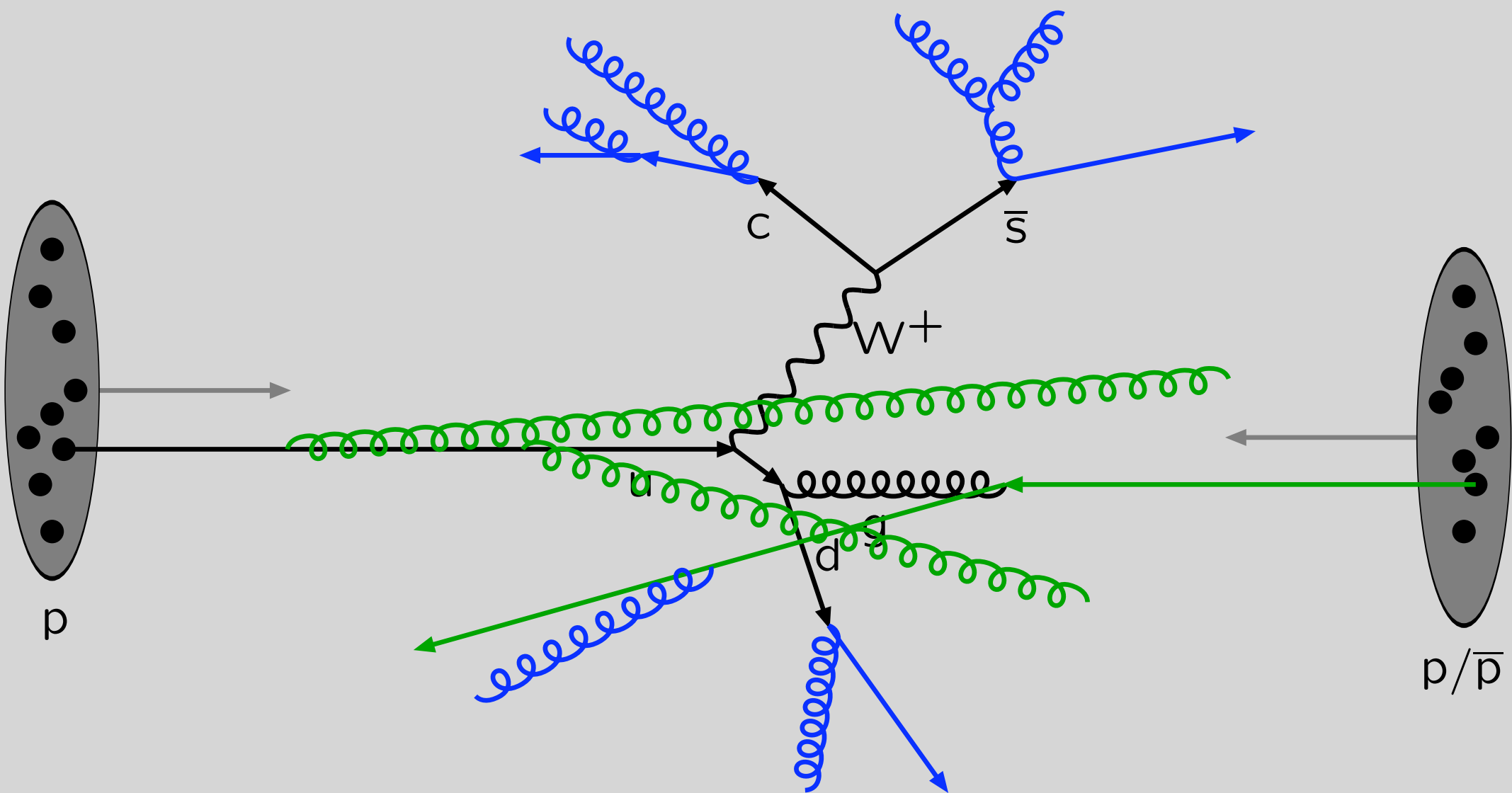
Hard interaction
described by matrix element



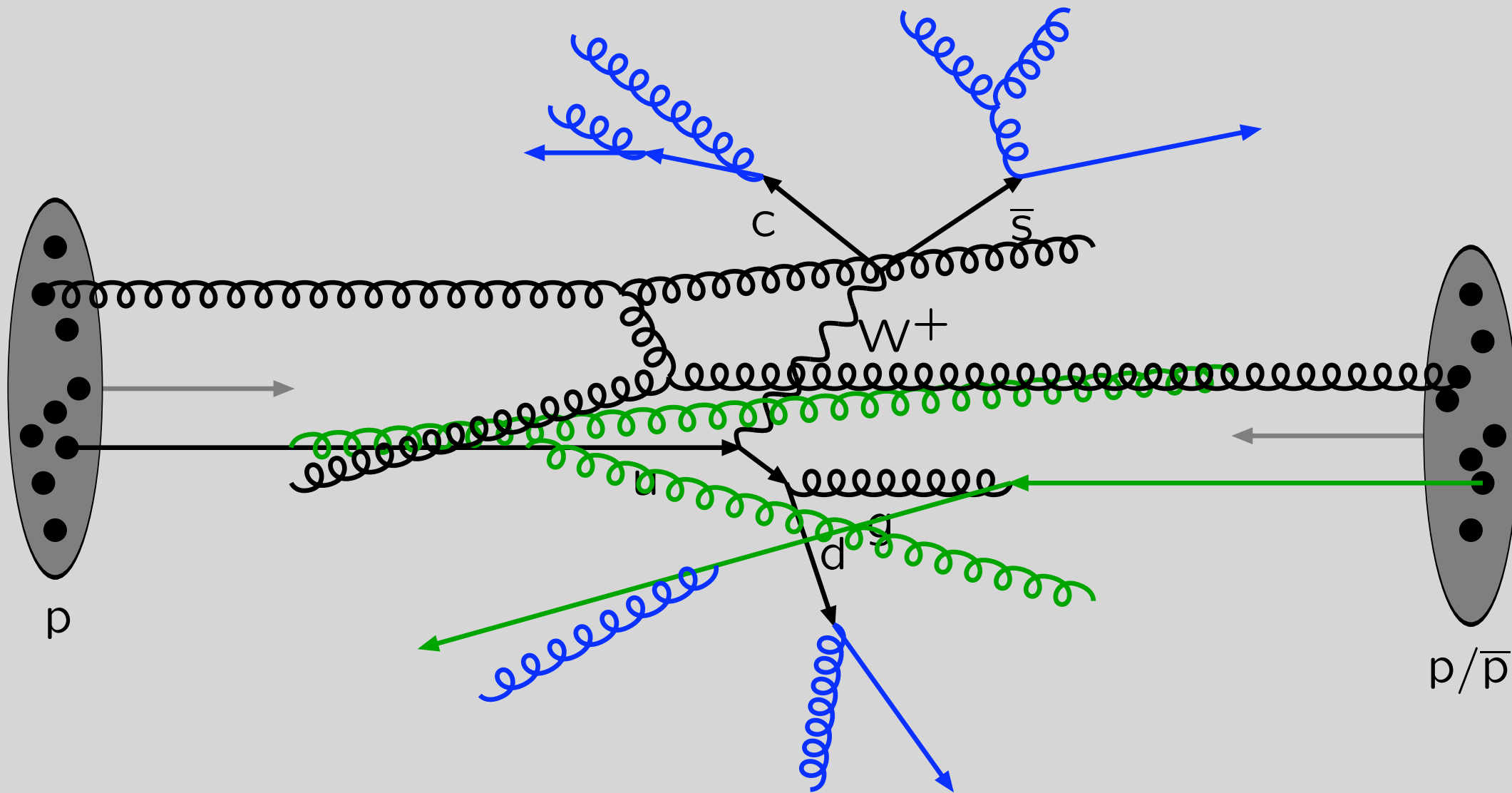
Resonant decay



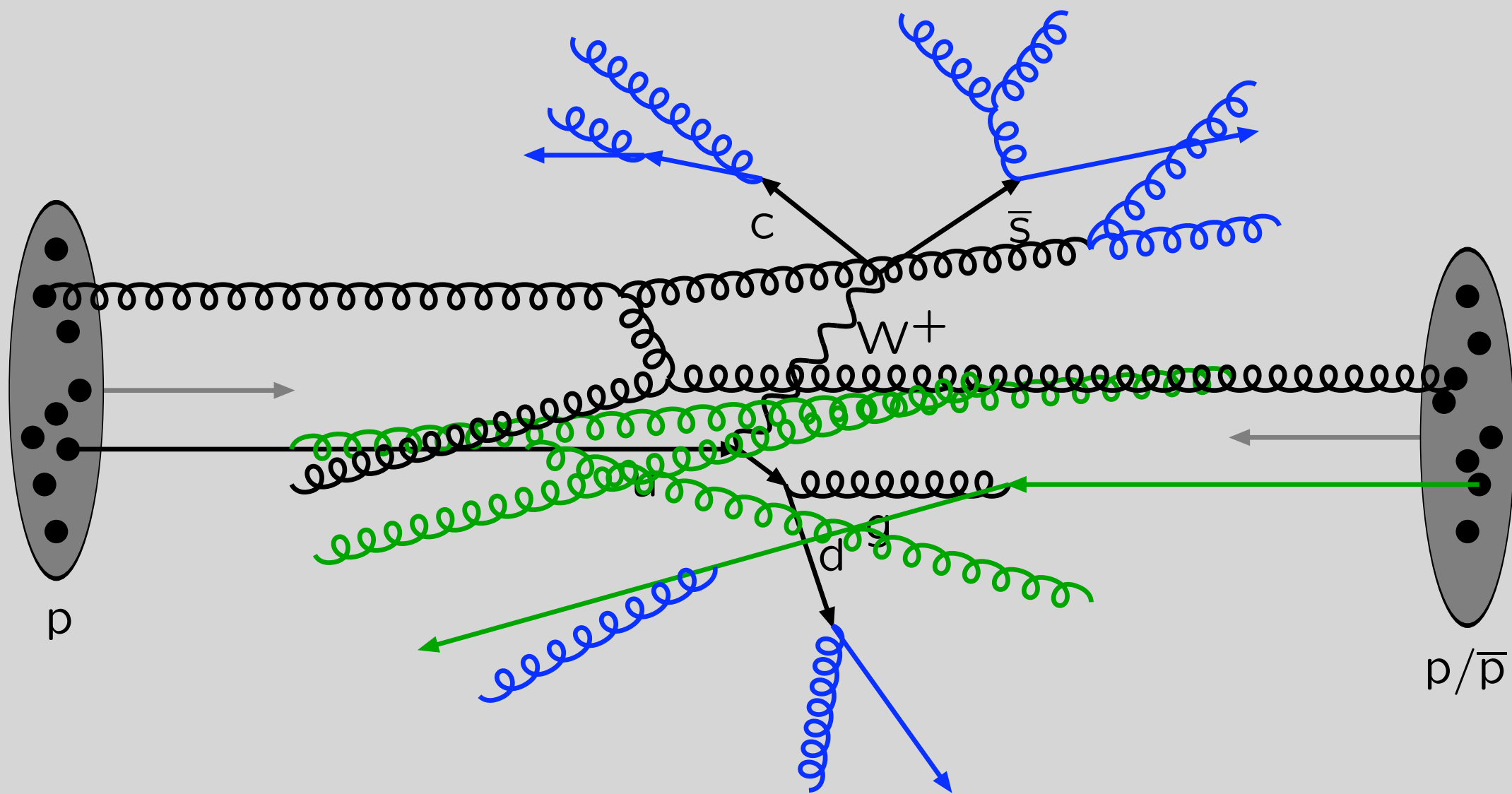
Initial state radiation



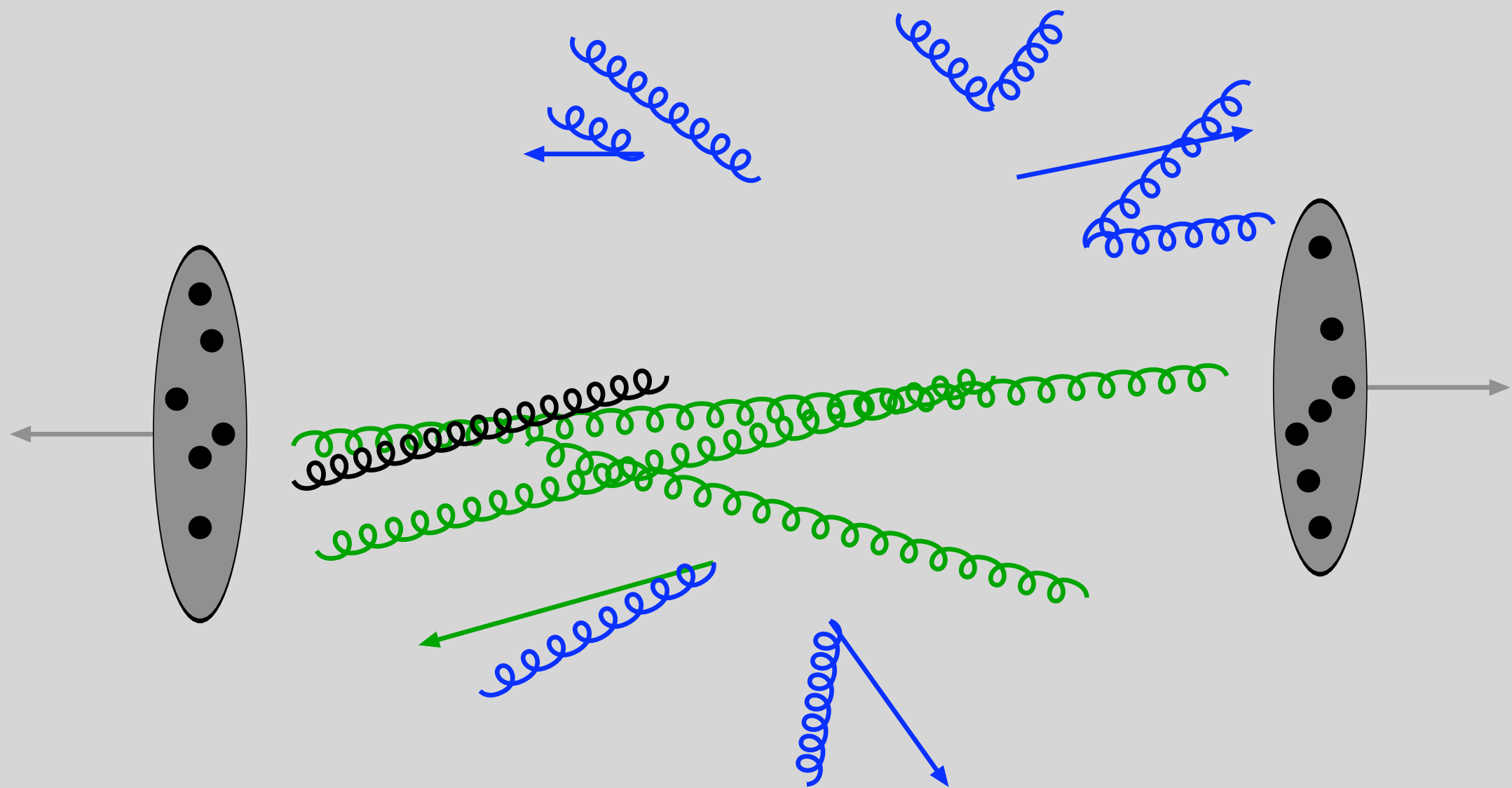
Final state radiation; parton shower



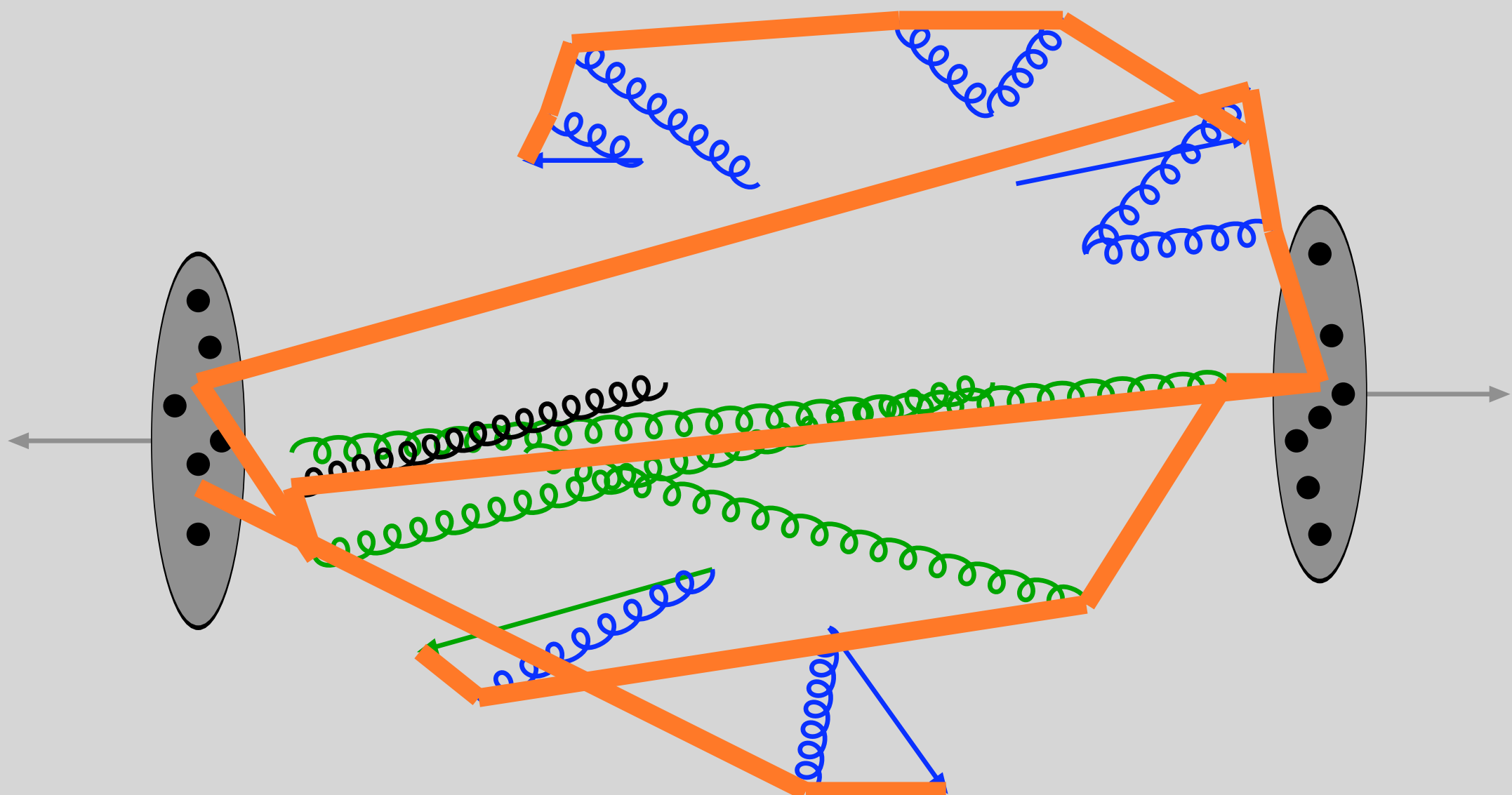
Multiple interaction



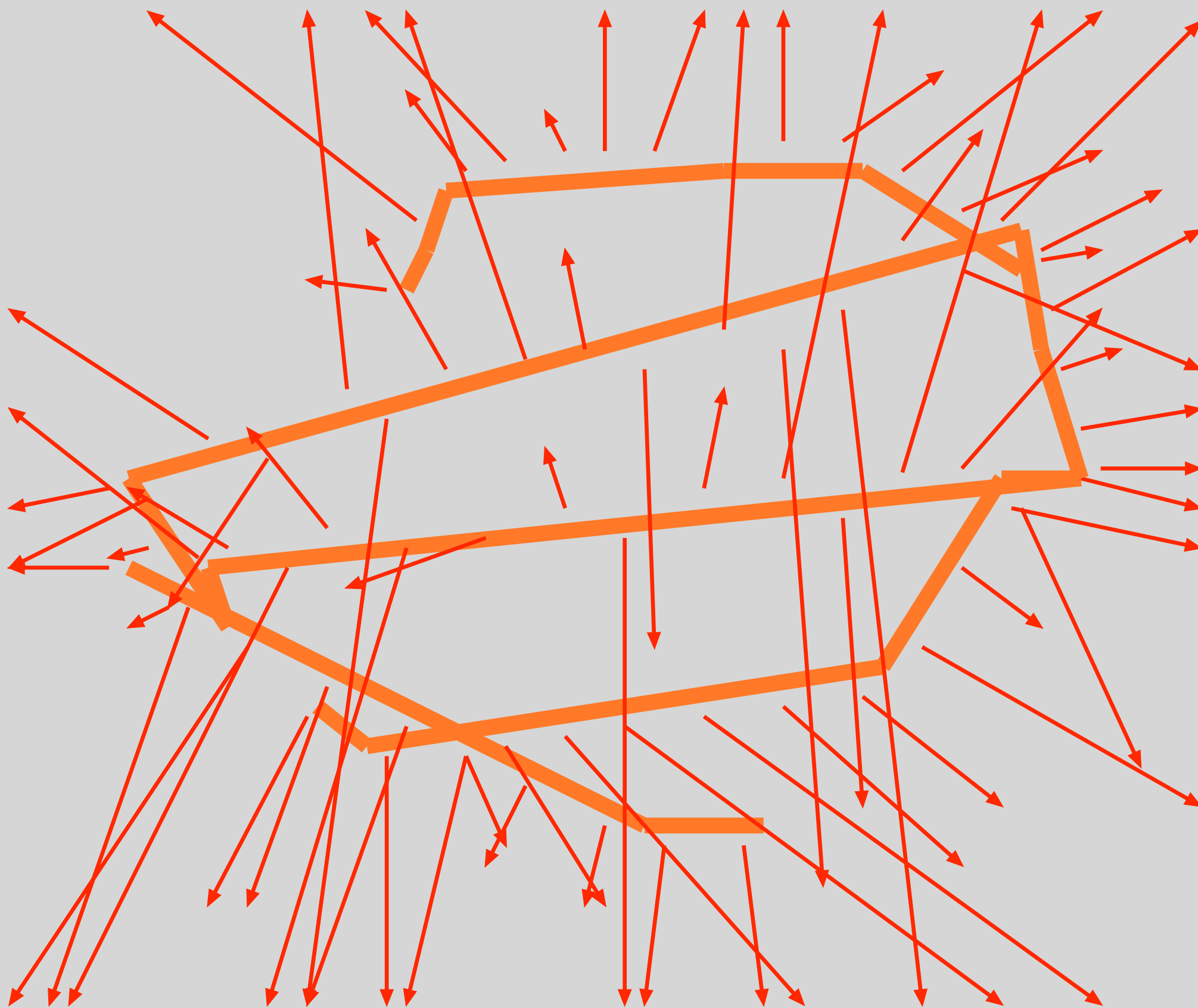
Initial and final state radiation
for each interaction



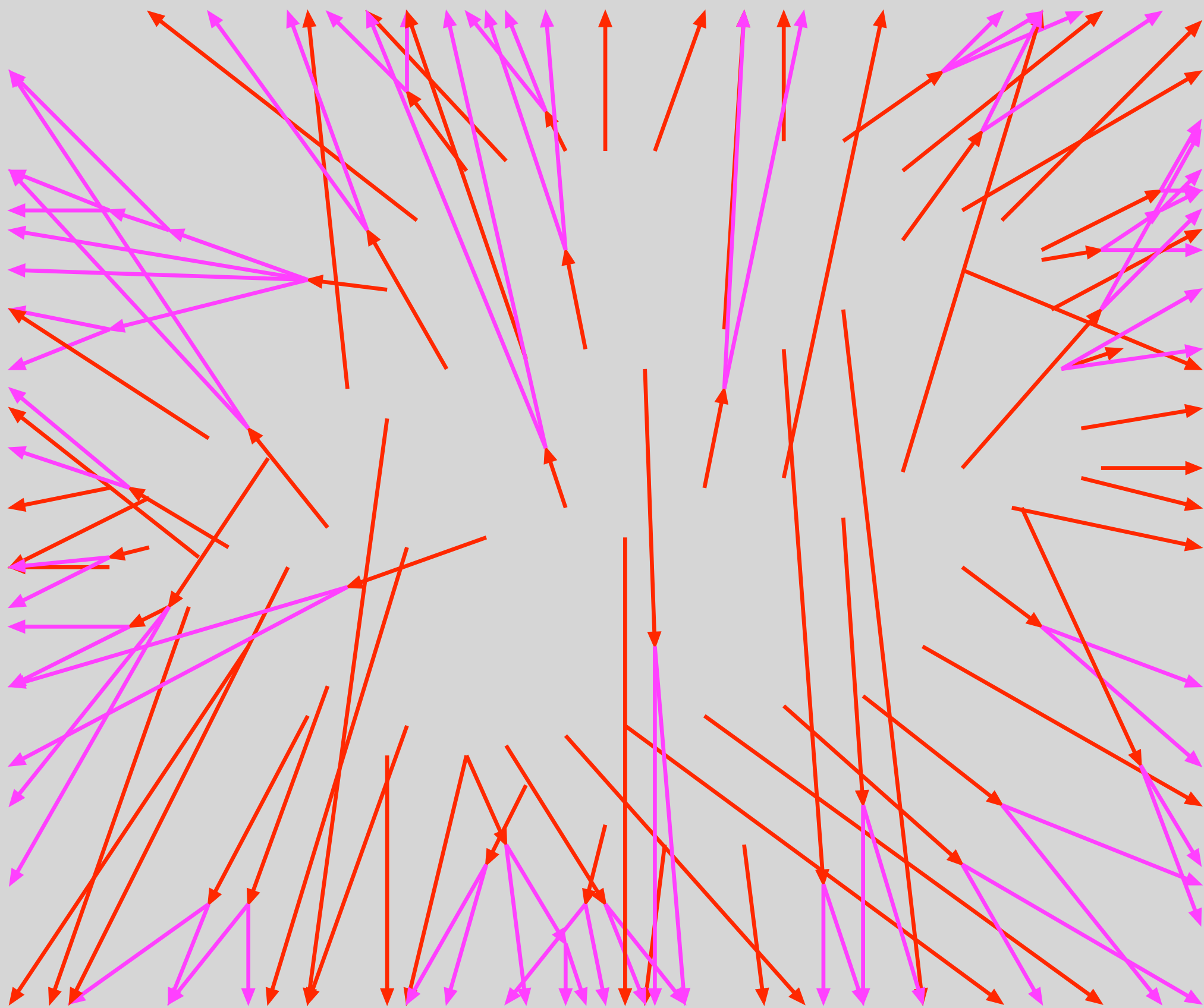
Beam remnants



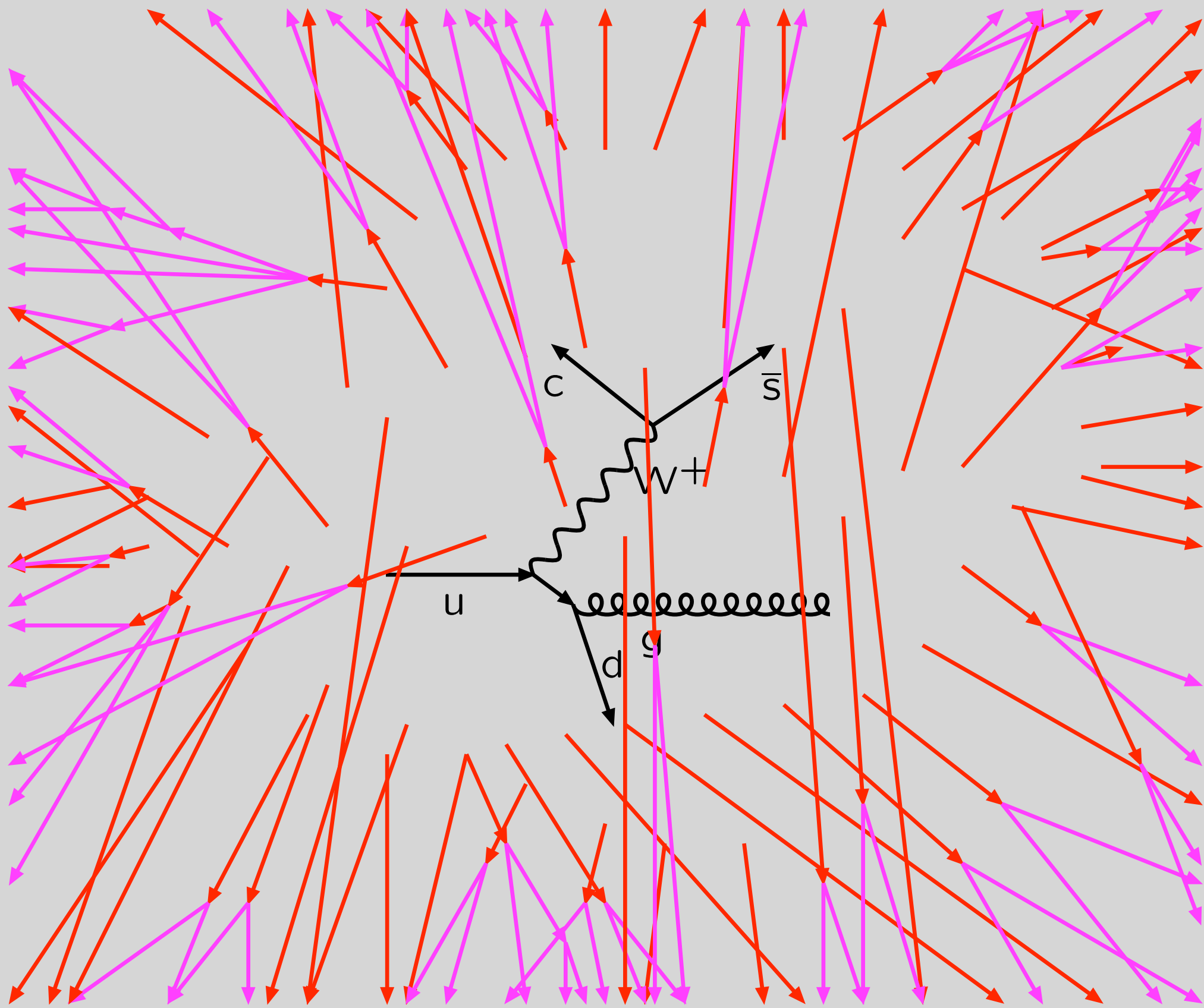
Color connection



Hadronization



many hadrons unstable and decay

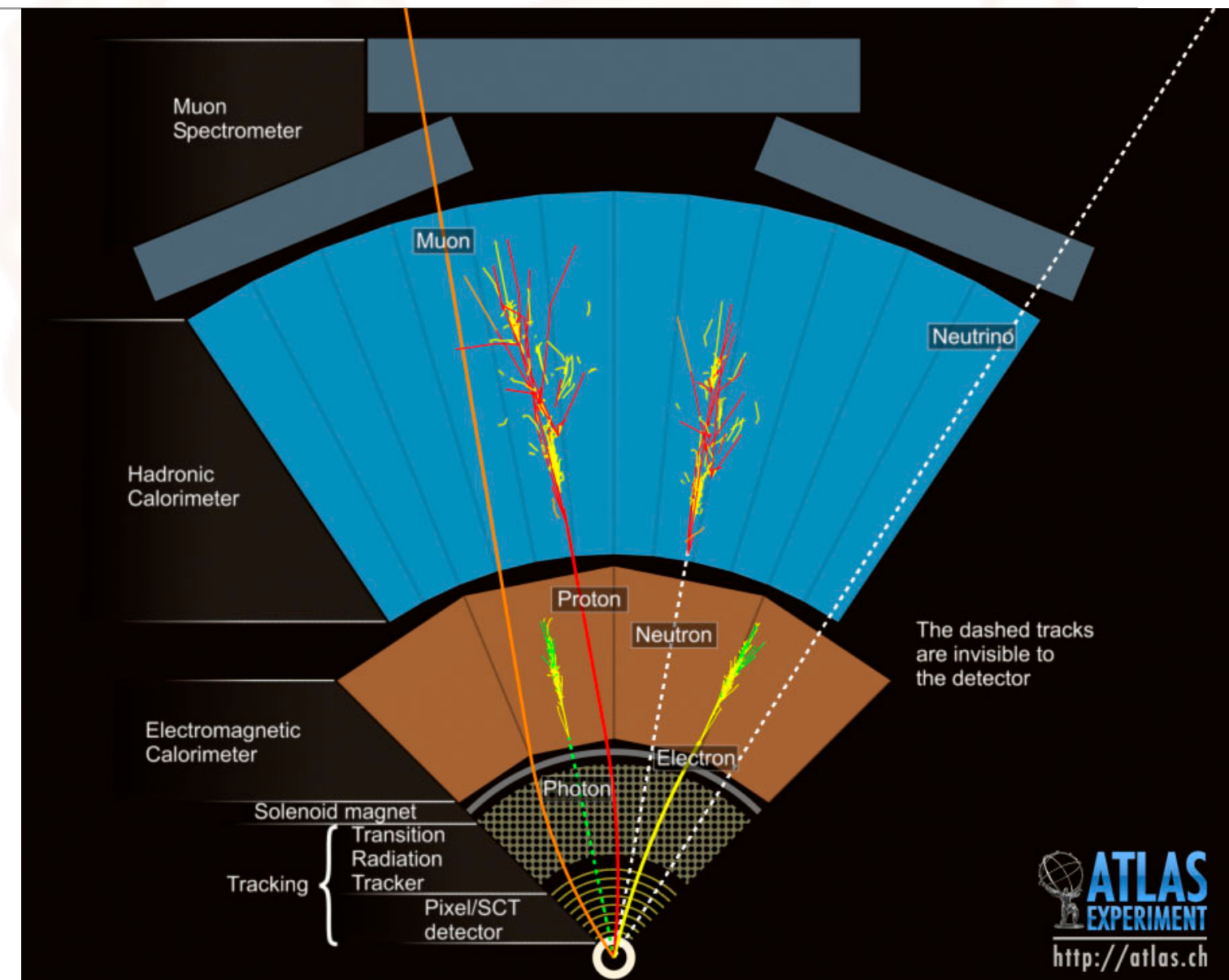


Underlying Event と Multiple Interactions

何故 Jet を測るのか

- もちろん、コライダーでは何でも測る
 - e/γ
 - ▶ EM calo, track 有/無
 - μ
 - ▶ tracker, chamber
 - T
 - ▶ decay に依存した測定
 - q (u, d, s, c, b), $g \rightarrow q\bar{q}$
 - ▶ 全部jetになる
 - ✓ Jet も測る

- 物理解析/測定
 - Jet 生成 (di-jet, multi-jet)
 - $W/Z \rightarrow q\bar{q}^{\ell}$
 - $t \rightarrow bW$
 - $H \rightarrow bb, WW, ZZ$
 - $\tilde{g} \rightarrow q\tilde{q} \rightarrow qq\tilde{\chi}$



✓ つまり一番最初の反応 ($2 \rightarrow 2$)から、
統計が増えて様々な解析を行う全ての段階で、
Jet の E , p_T を正確に測る事は非常に重要。

結局Jetとは何か

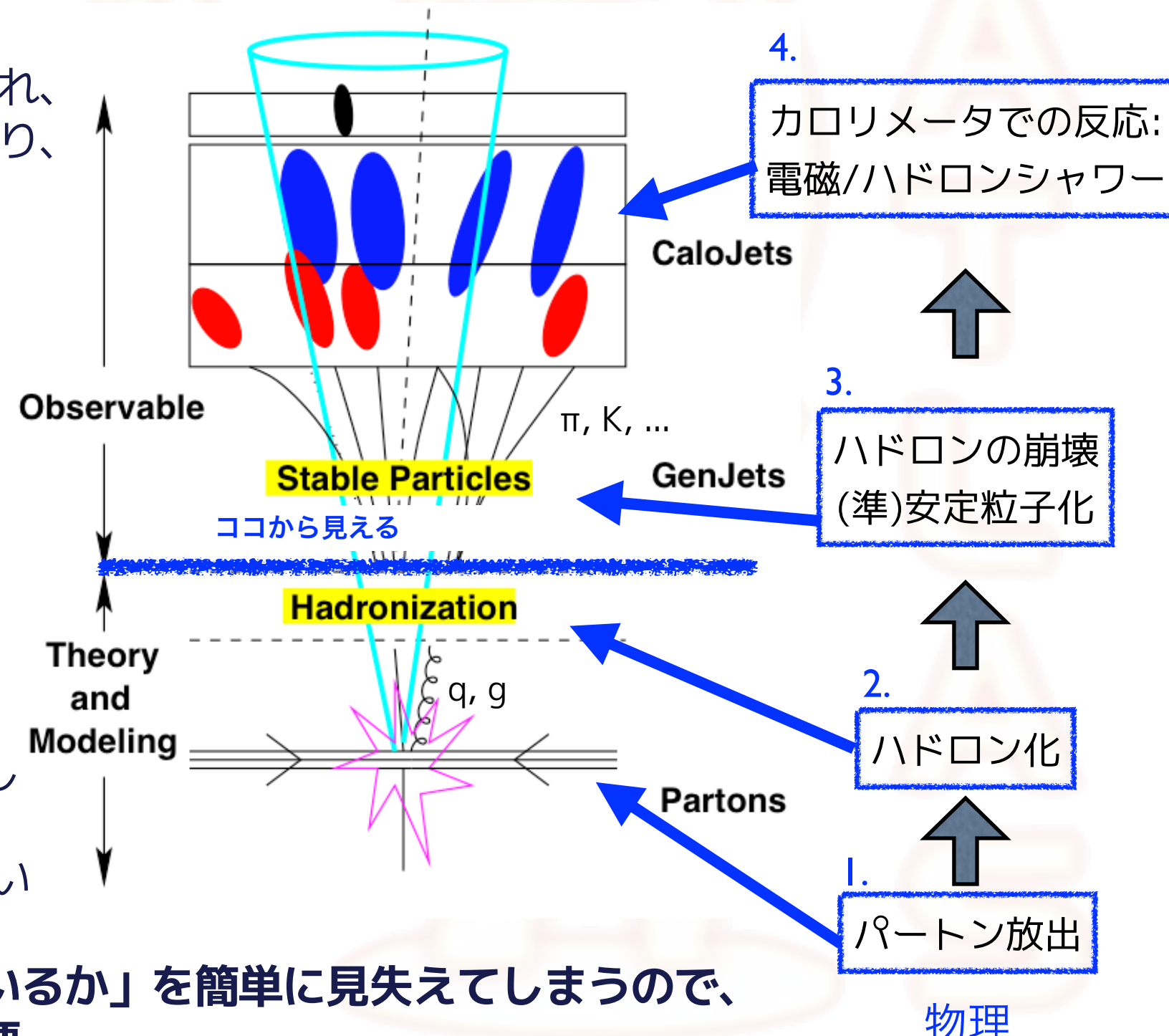
- Calorimeter jet

1. 高エネルギーパートンが放出され、
2. ハドロン化して複数の粒子になり、
3. 崩壊により準安定化
($\gamma, \pi^\pm, K, p, n, \text{etc.}$)し、
4. カロリメータと反応して
シャワーを作った、
5. そのひとたまりのこと

- Particle jet / track jet

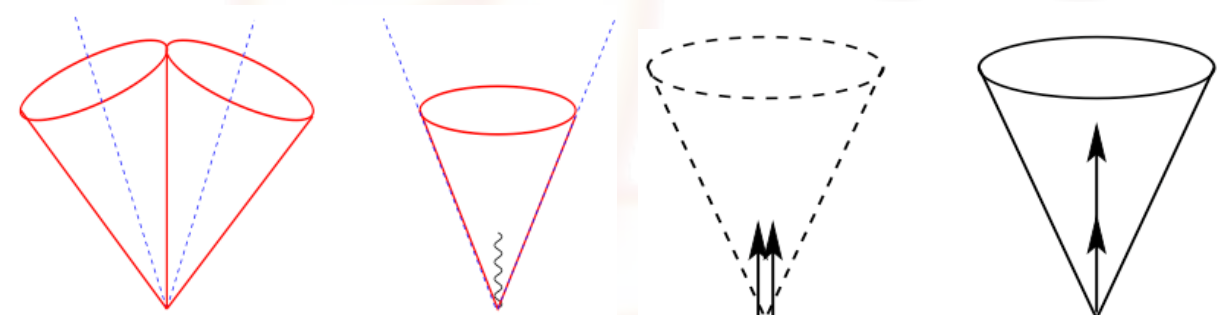
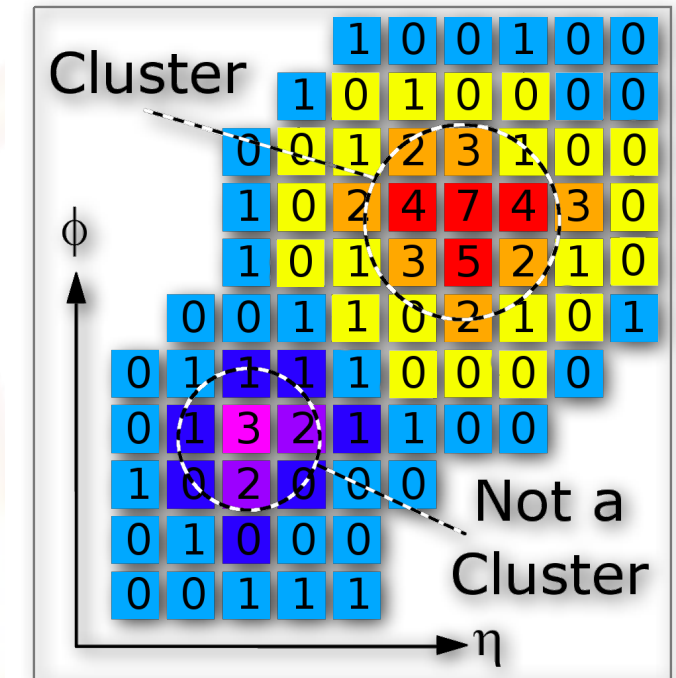
- 3.までの段階で
Jetを組んだもの
 - (MC truth) particle jet は
calibrationに使う
 - track jet は neutral particle なし
 - pile-up に強い
 - まだ精度は calo jet に勝てない

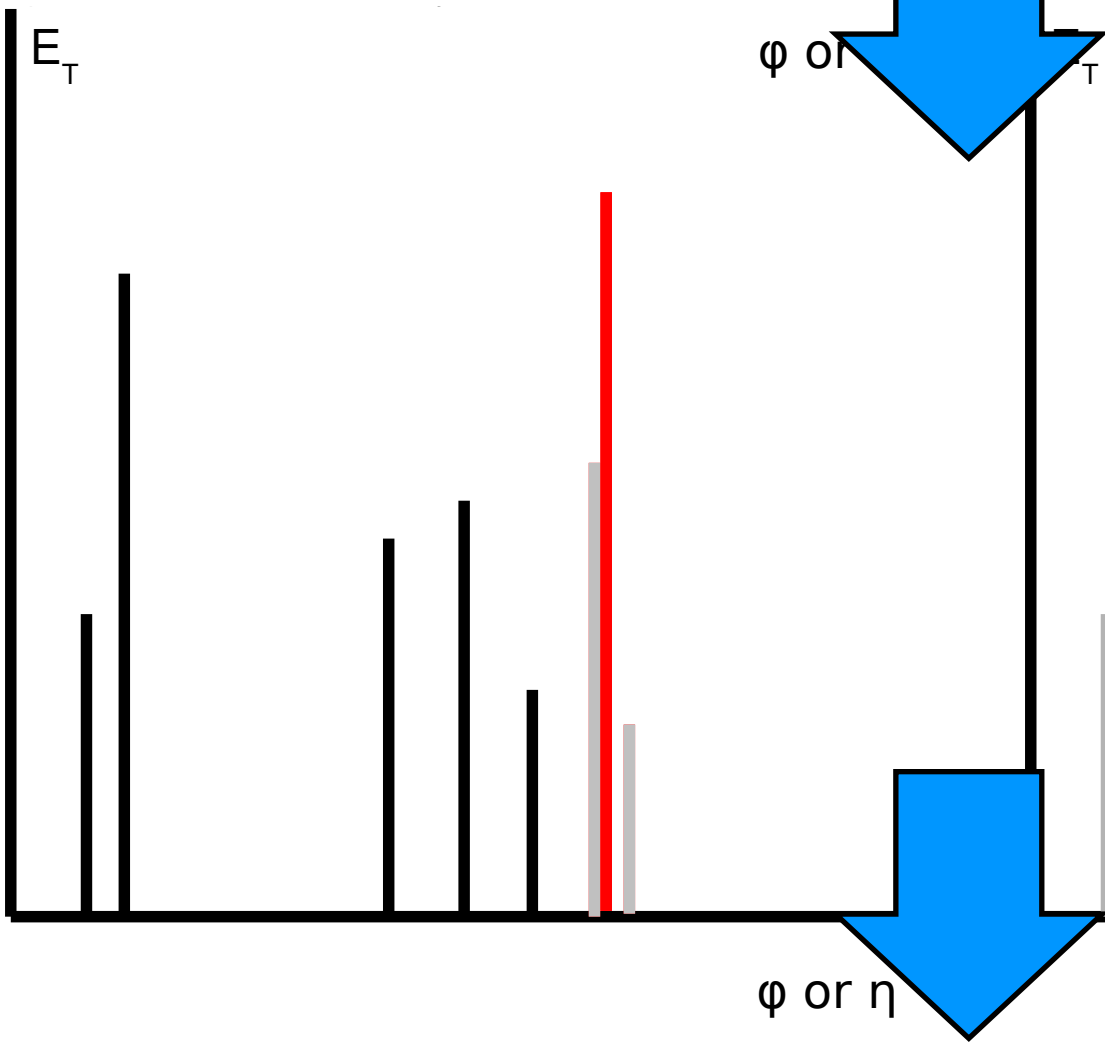
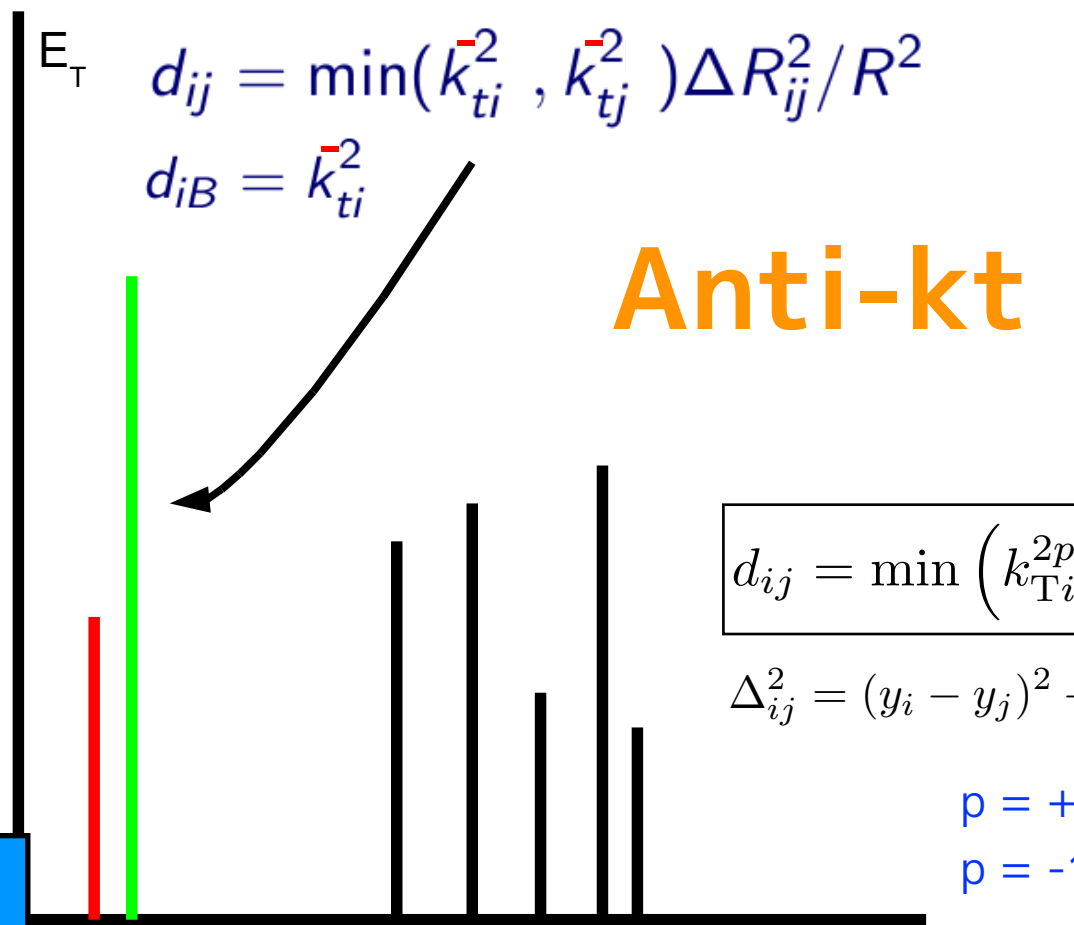
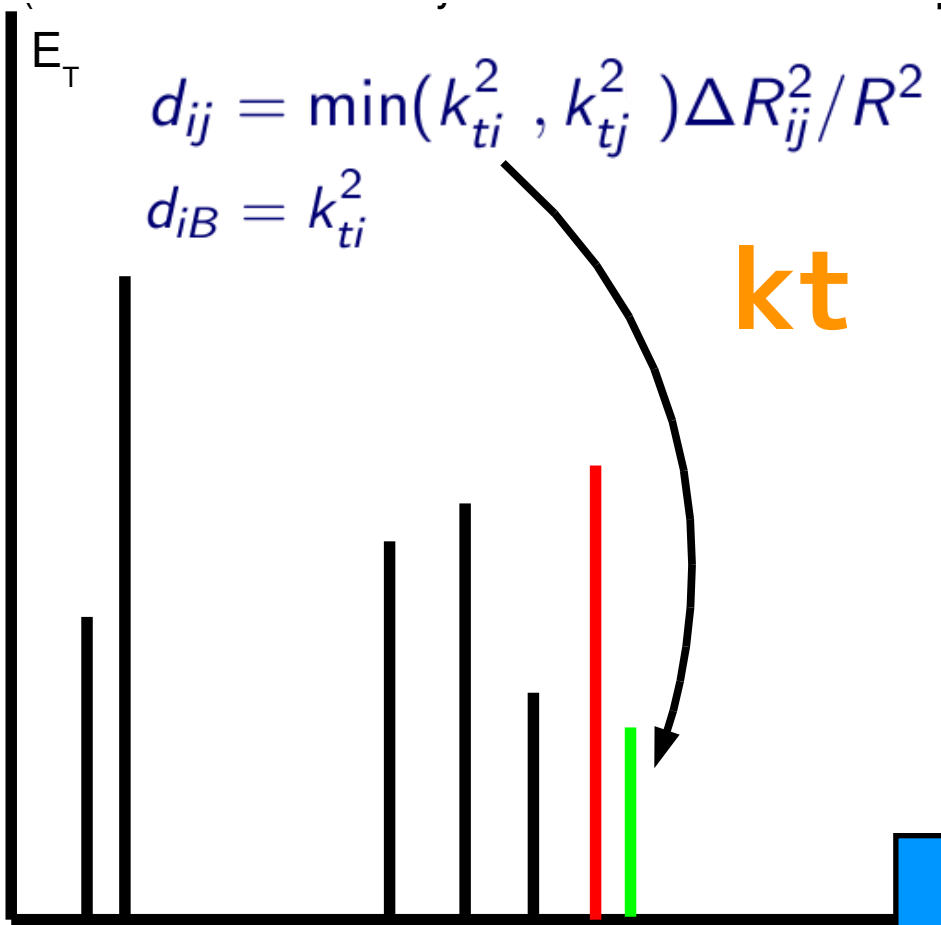
✓ そもそも、「何を測っているか」を簡単に見失ってしまうので、
とてもよく考える事が重要。



Jet reconstruction

- Jetを組む、とは
 - エネルギークラスター構築
 - ▶ EM/Hadron shower でできた calorimeter cell を一纏めにする
 - ▶ threshold は pedestal- σ の整数倍が基準
 - noise を抑える事が重要
 - typical な σ の値 : 40MeV
 - Clustering algorithm
 - ▶ “4-2-0 method”
 - $E > 4\sigma$ の cell を seed にして
 - その周りの $E > 2\sigma$ の cell、
 - さらにその周りの全て cell energy を加える
 - 3D (R, η, Φ) Topological Cluster (TopoCluster)
 - ✓ electric noise に強い
- この Topo-cluster を jet reconstruction algorithm への input とする
 - 昔: SIS-cone, ATLAS-cone, kt
 - default: “Anti-kt” アルゴリズム, w/ $R=0.4/0.6$
 - ▶ 2008年くらいに採用
 - ▶ Infrared-safe, collinear safe
 - 素性が良い

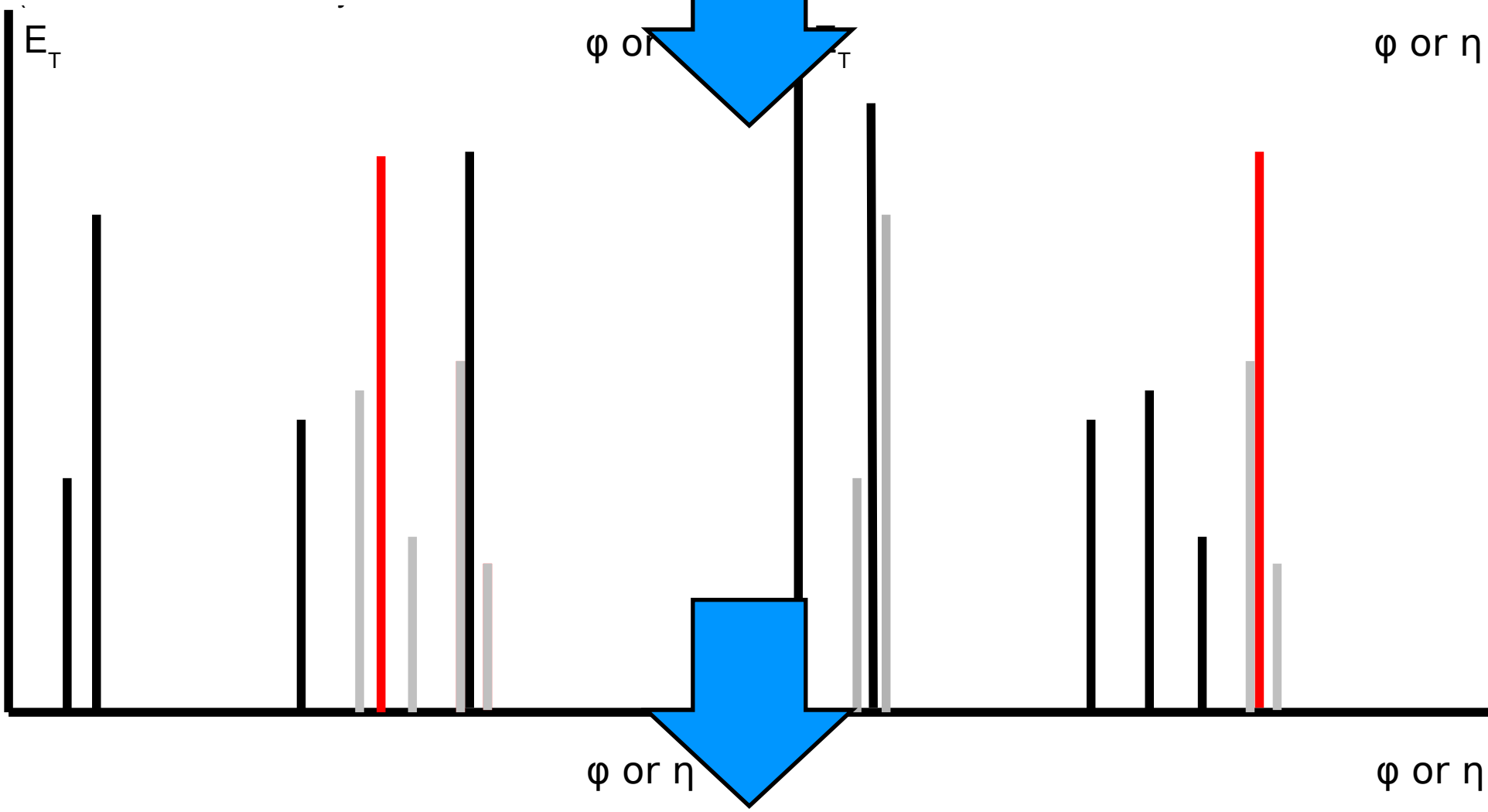
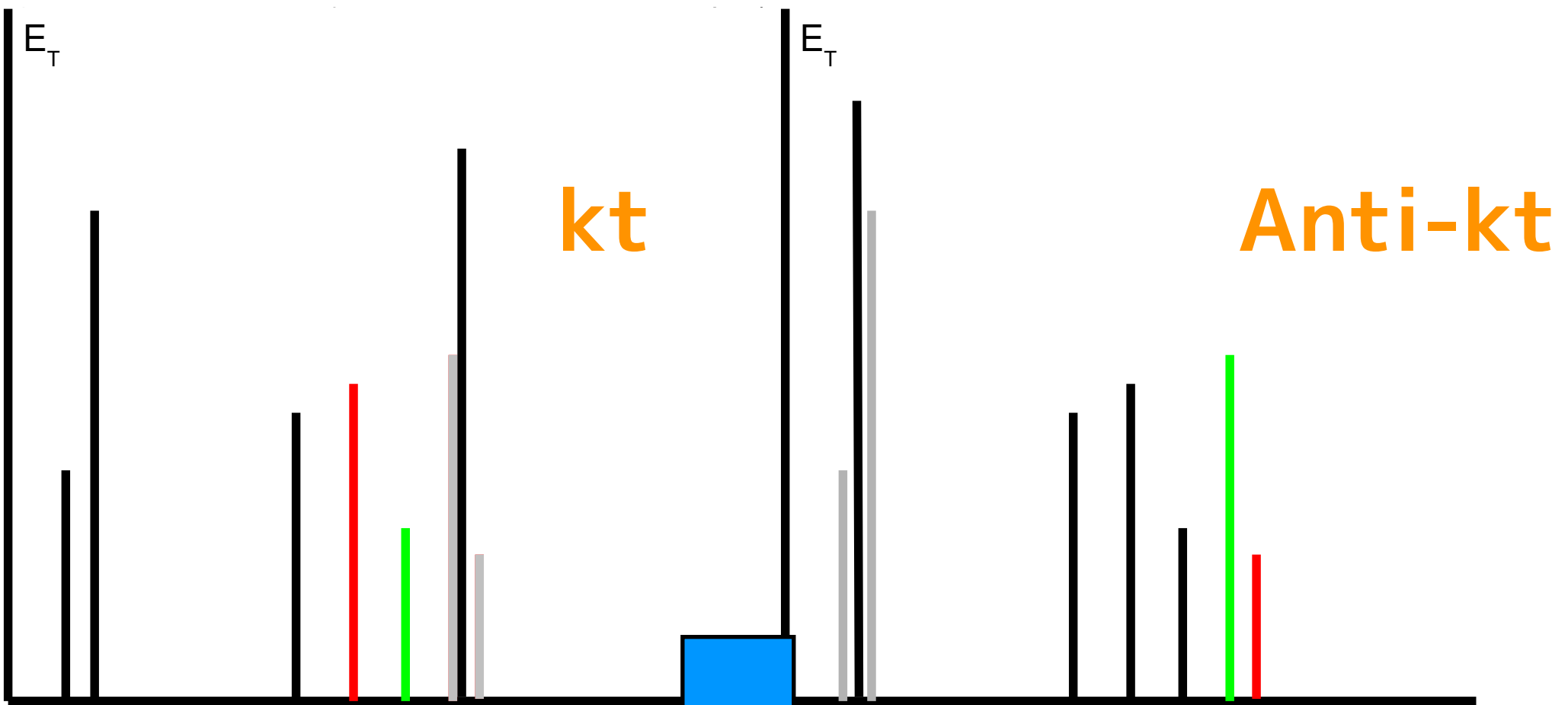


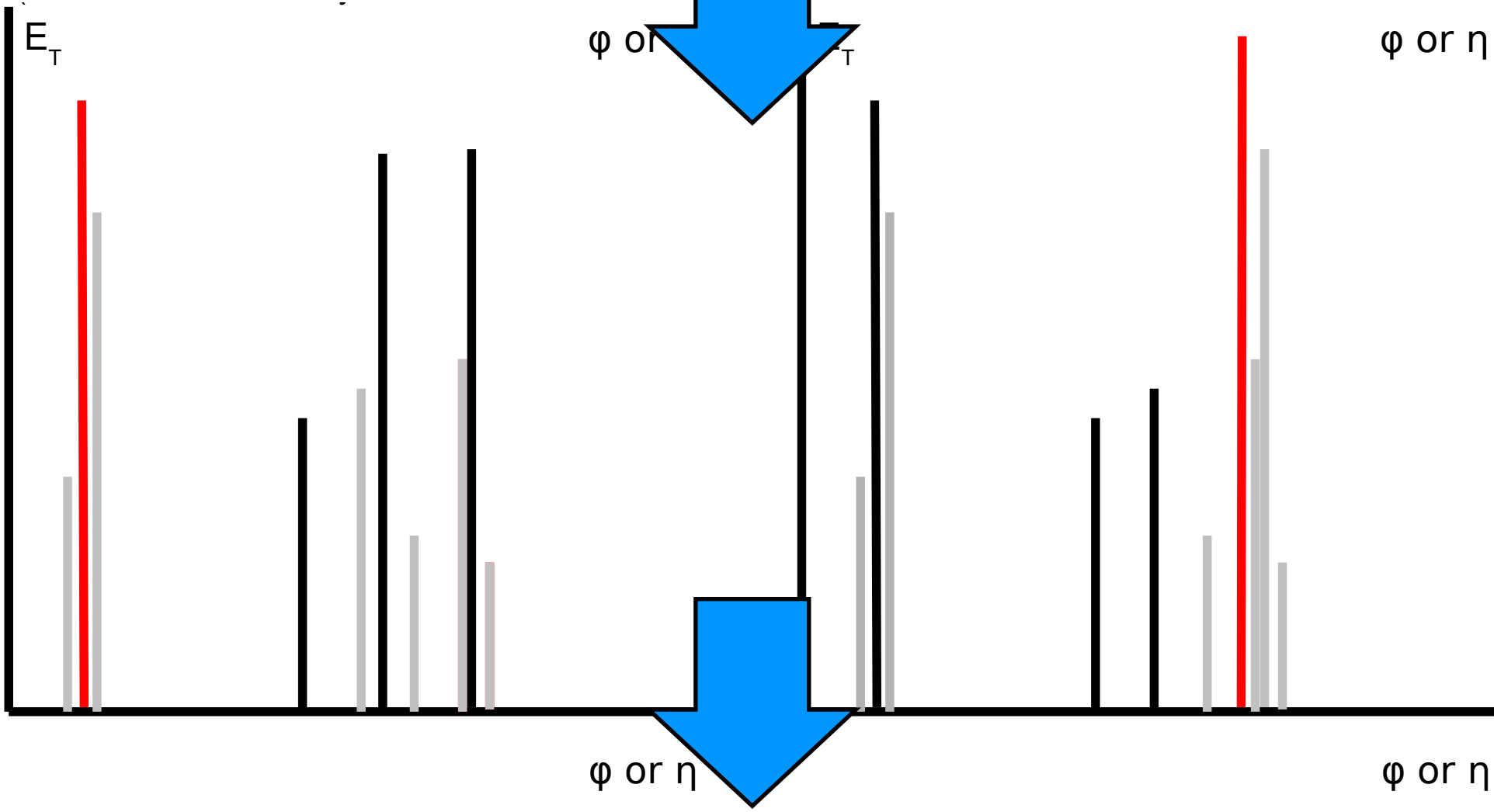
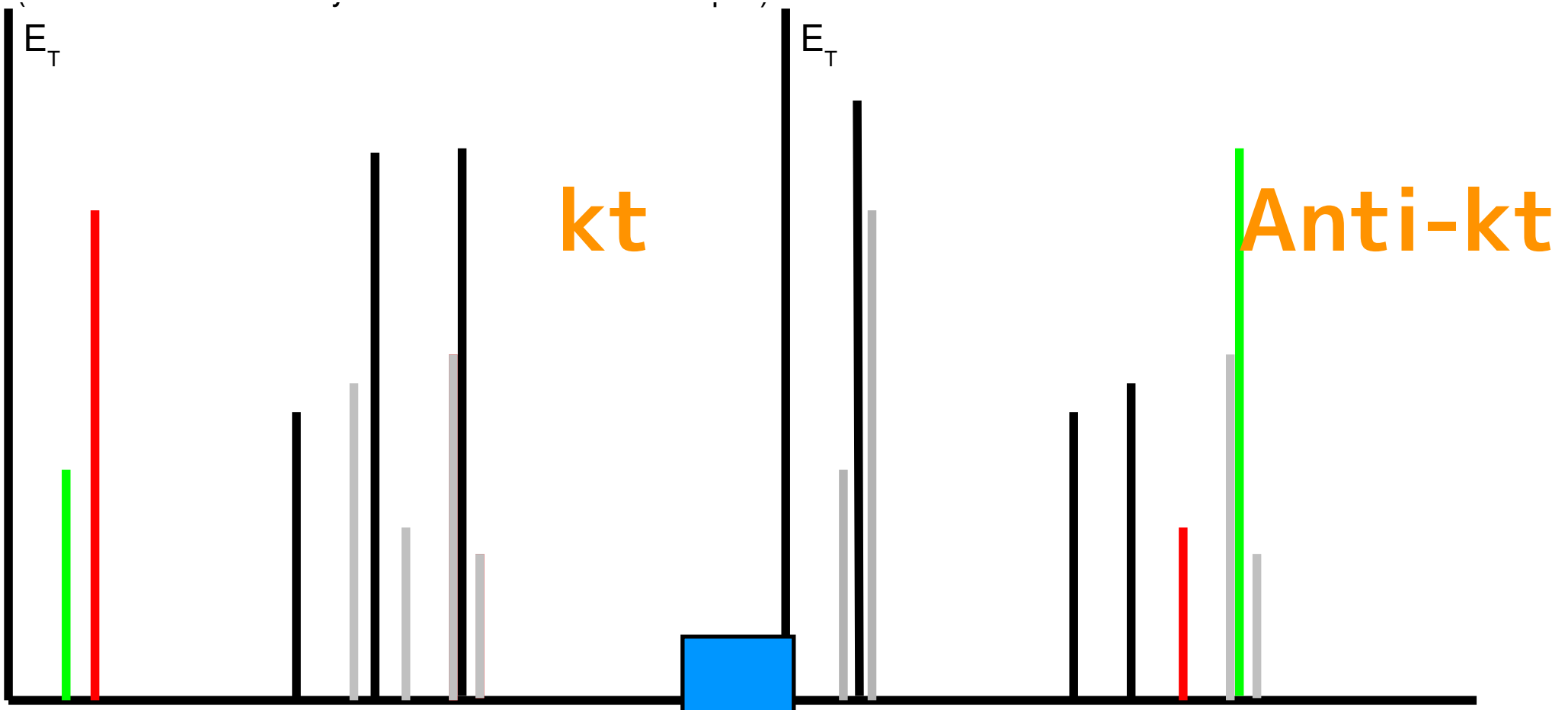


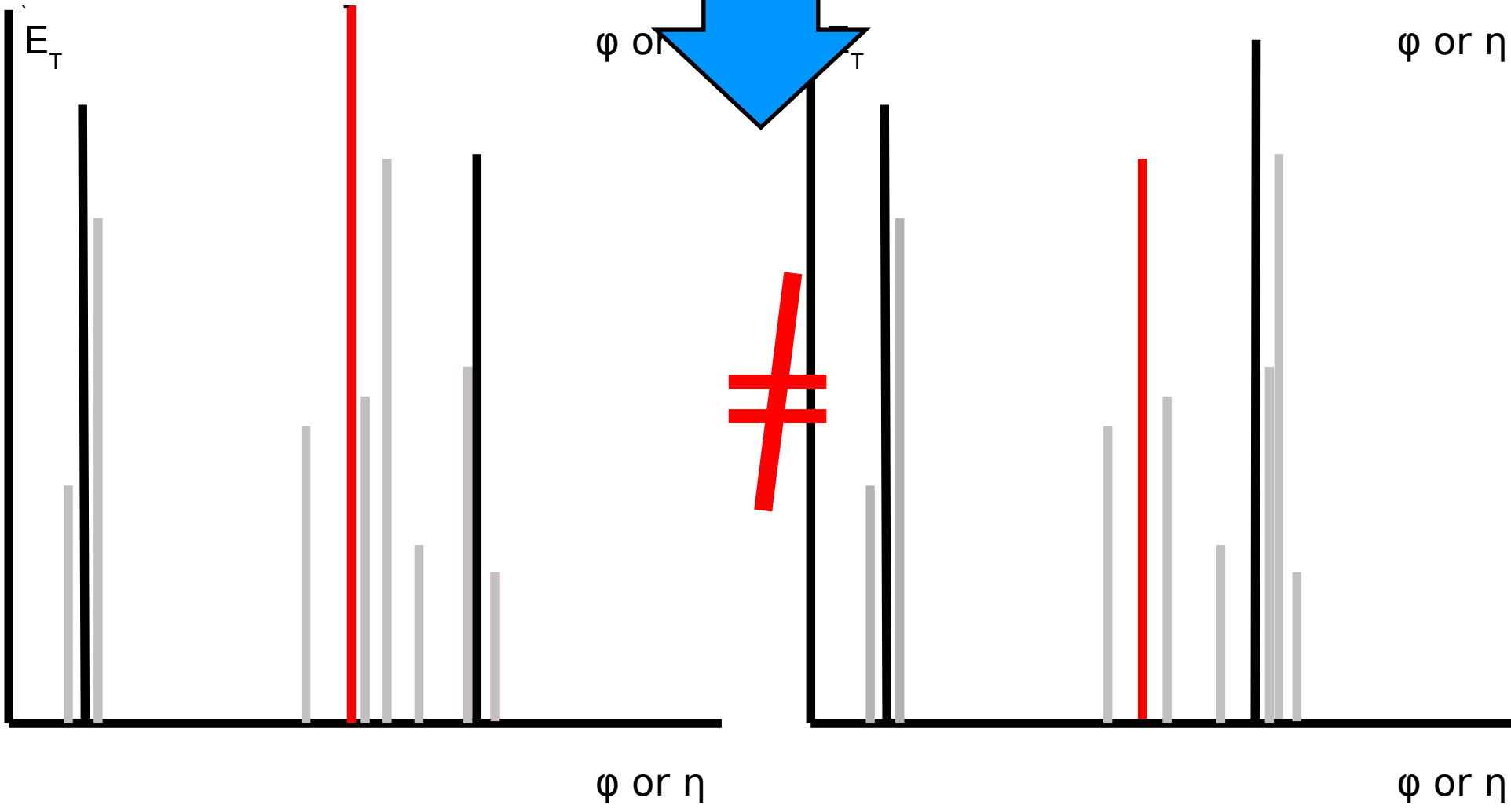
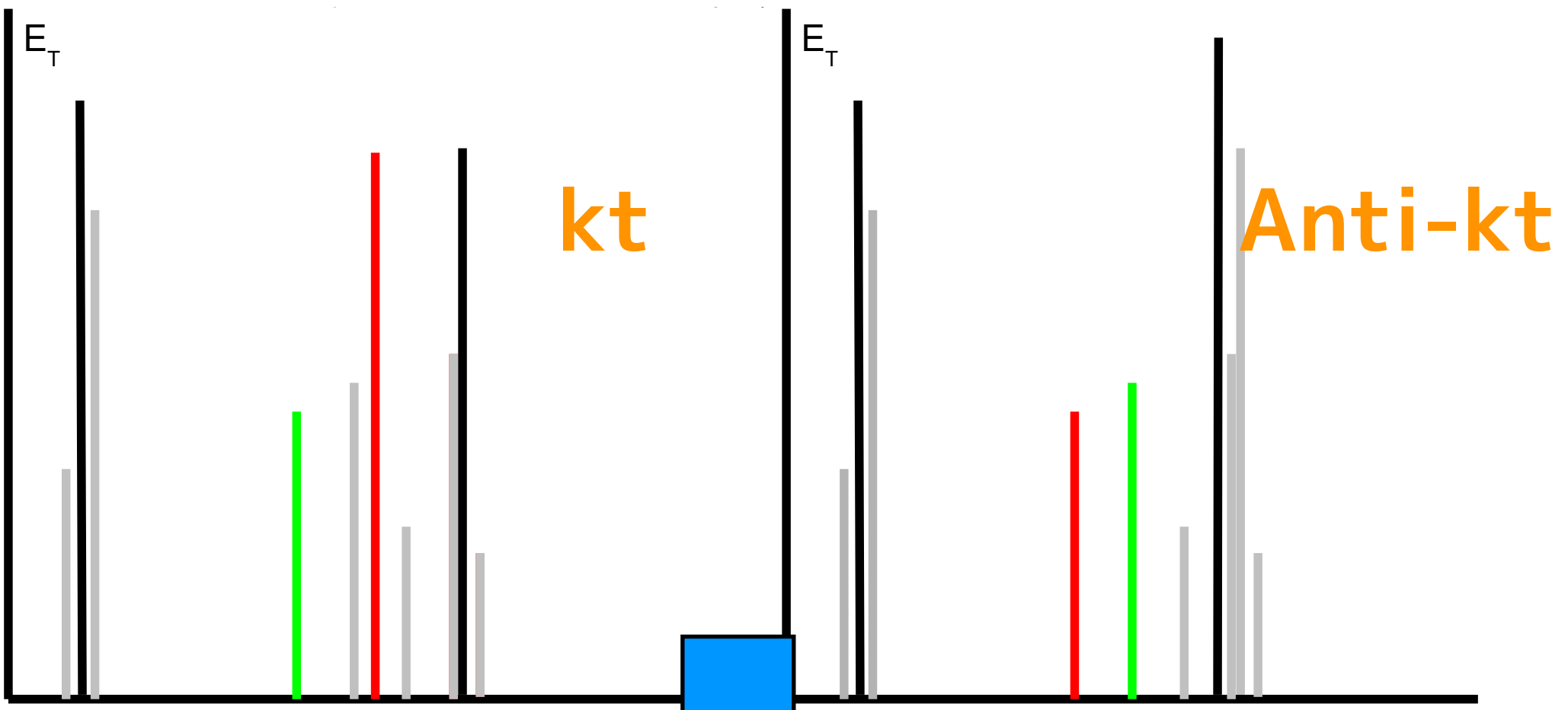
1. η - Φ 平面で全ての input について d_{ij} , d_{iB} を計算
2. 最小のものを選ぶ
 - 2-a. もし d_{ij} が最小なら、 i と j をくっつける
 - 2-b. もし d_{iB} が最小なら、 i は jet
3. 1-2 を繰り返す

ϕ or η

ϕ or η

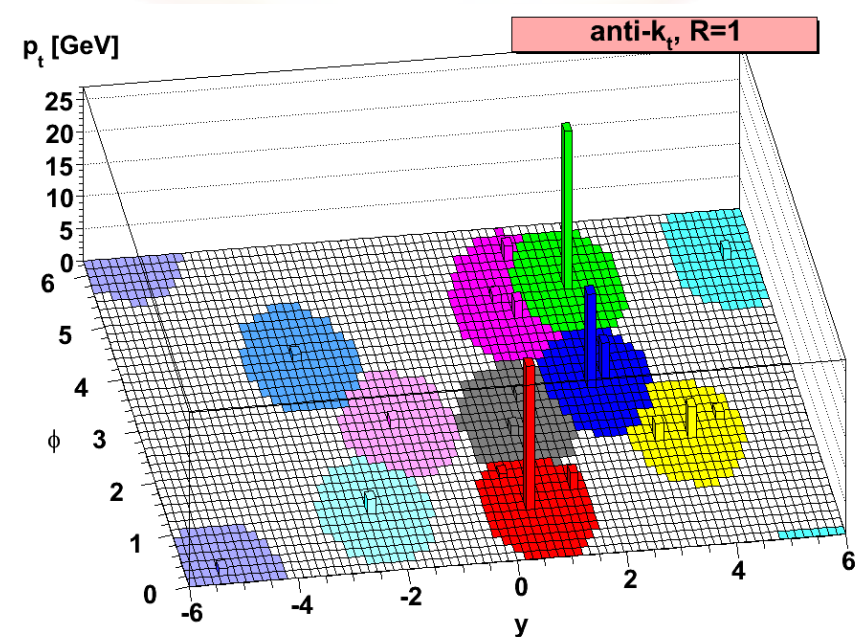
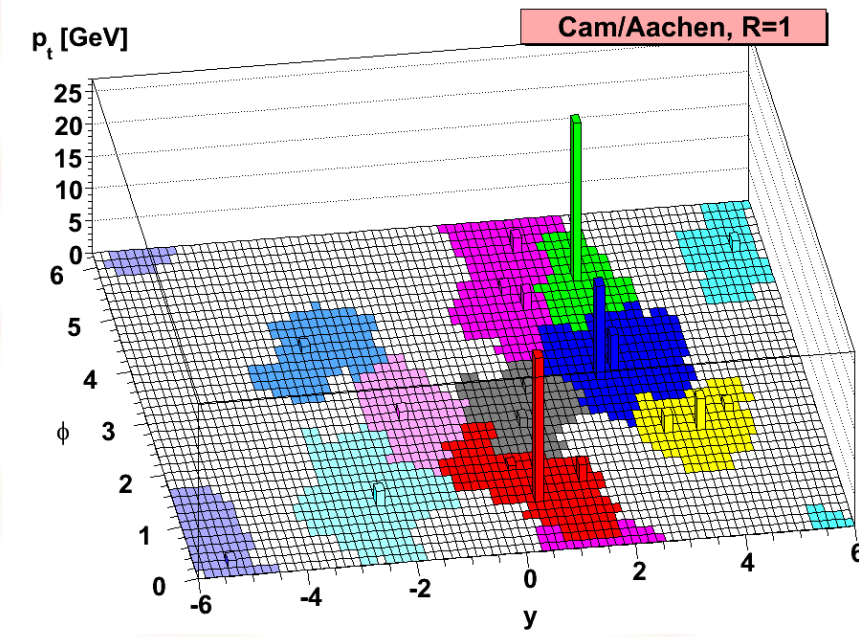
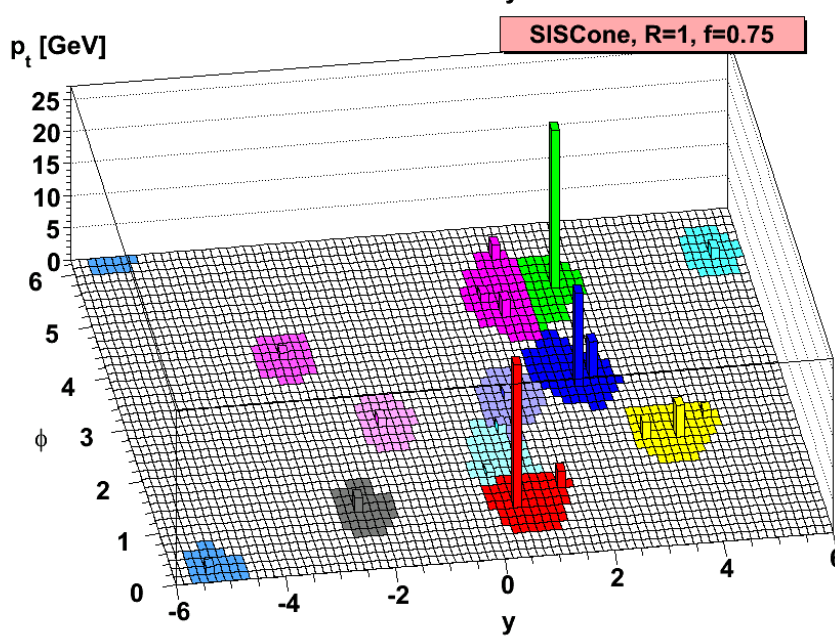
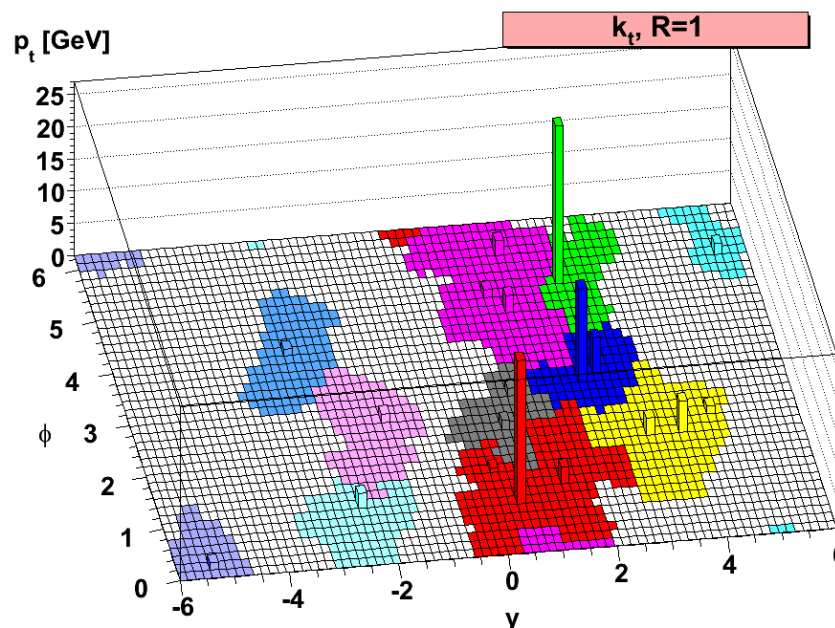






Jet reconstruction algorithms の比較

- Anti-Kt は綺麗な形の jet を作る



- ✓ Jet とは、恣意的な定義による object である。

Jetのキャリブレーション

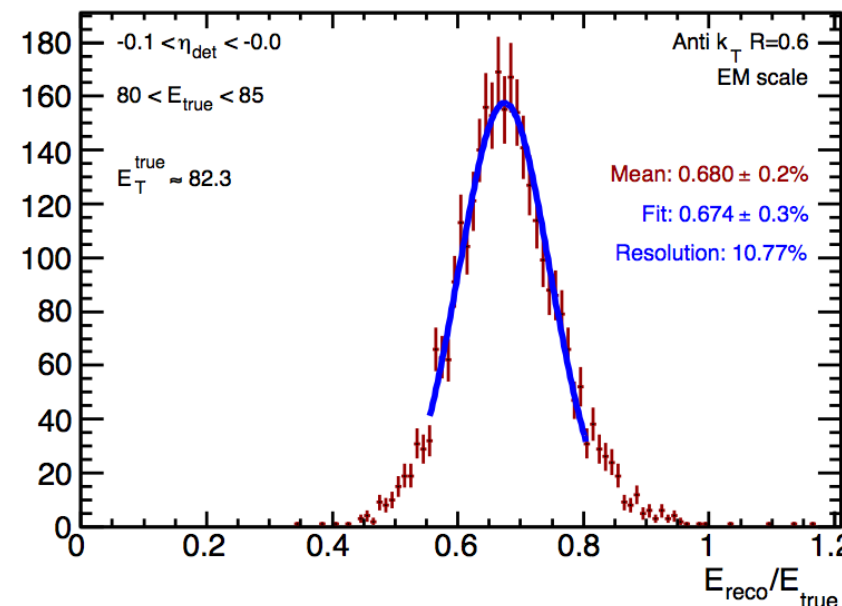
Jet absolute calibration

- Jet は組んだが、その組んだ jet のエネルギーはどうなっている？
 - 基本的に、カロリメータで測るのは “EM scale” energy:
 - LAr: ビームテストでの electron を使った calibration が base
 - Tile: ^{137}Cs を使った独自システムでの calibration が base
 - Jet の reconstruction も今のところ EM energy で行われている
- “本当の” Jet と比べると？
 - Truth jet: ハドロンレベルの情報を用いて
Anti- k_T アルゴリズムで Jet を再構成したもの
 - Reco jet: カロリメータから出発した jet
 - ハドロンは e/γ よりも落とすエネルギーが小さい ($e/h \sim 1.3$)
 - invisible energy (原子核の励起, slow neutron, etc.)
 - Dead material によるエネルギー損失
- ので、再構成された jet のエネルギーに対して、
補正 factor をかける必要がある
 - MC を使って、Truth jet を作る
 - $E(\text{reco})/E(\text{true})$: ある E, η の bin で plot すると、
右の図の様になるので基本的にこの中心値の “逆数” を
true energy に戻すための補正 factor として使う
 - “Numerical Inversion” と呼ぶ

$$\frac{e}{\pi} = \frac{1}{1 - (1 - h/e)(E/E_0)^{m-1}}$$

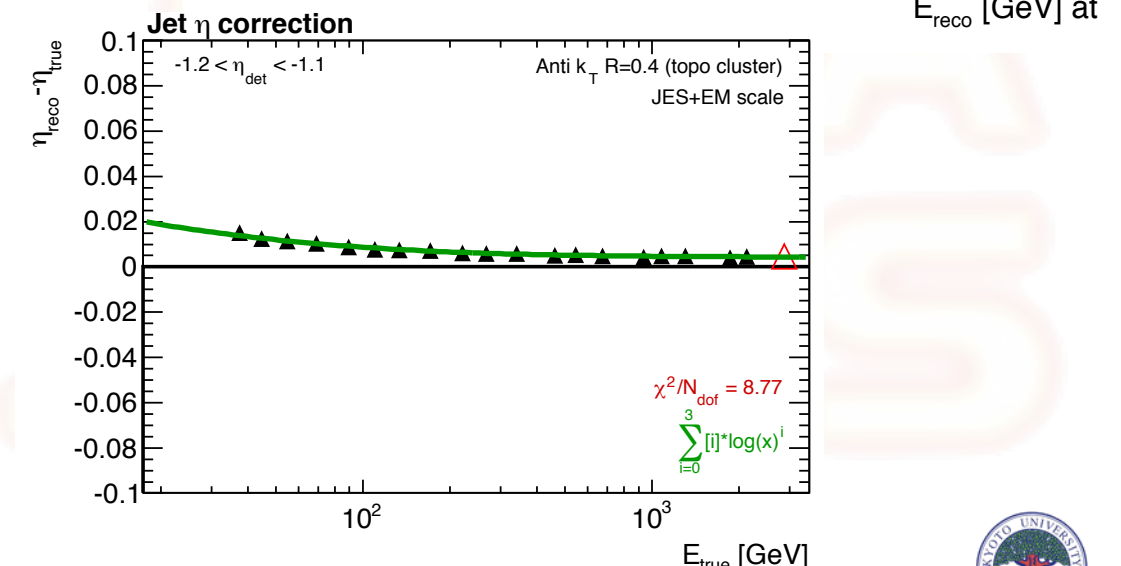
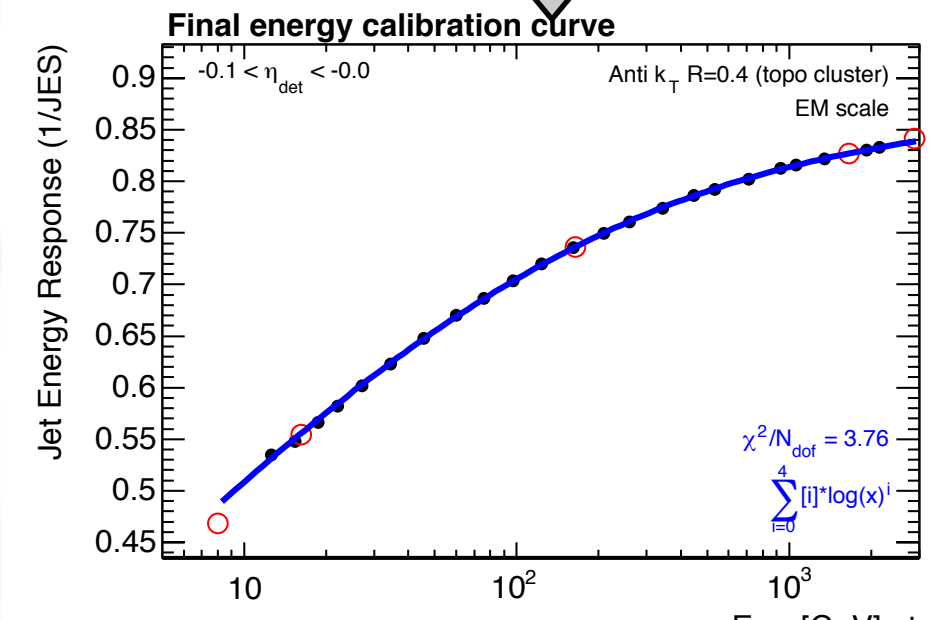
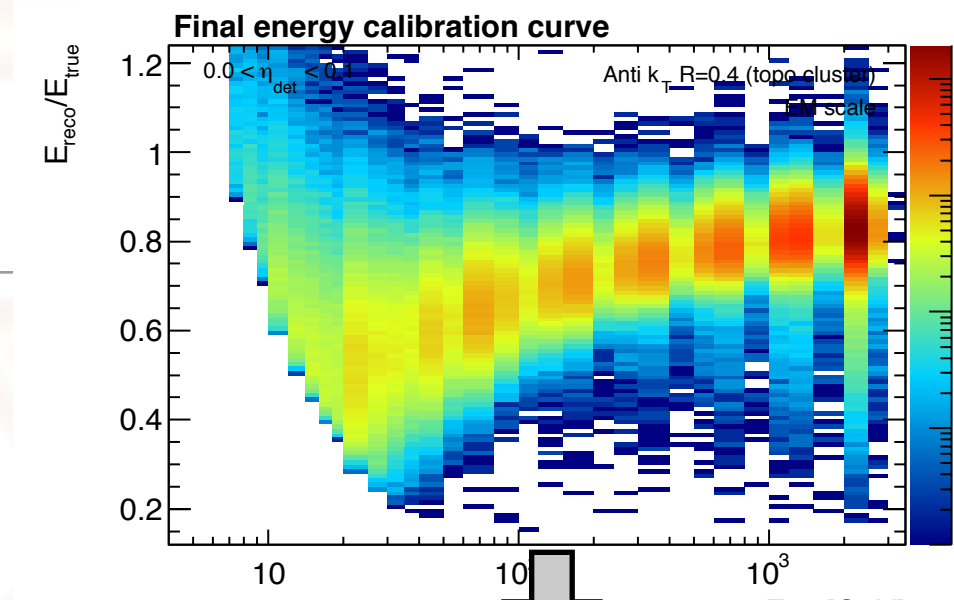
$0.80 \leq m \leq 0.85$

$$E_0 = \begin{cases} 1 \text{ GeV} & \pi^\pm \\ 2.6 \text{ GeV} & p \end{cases}$$



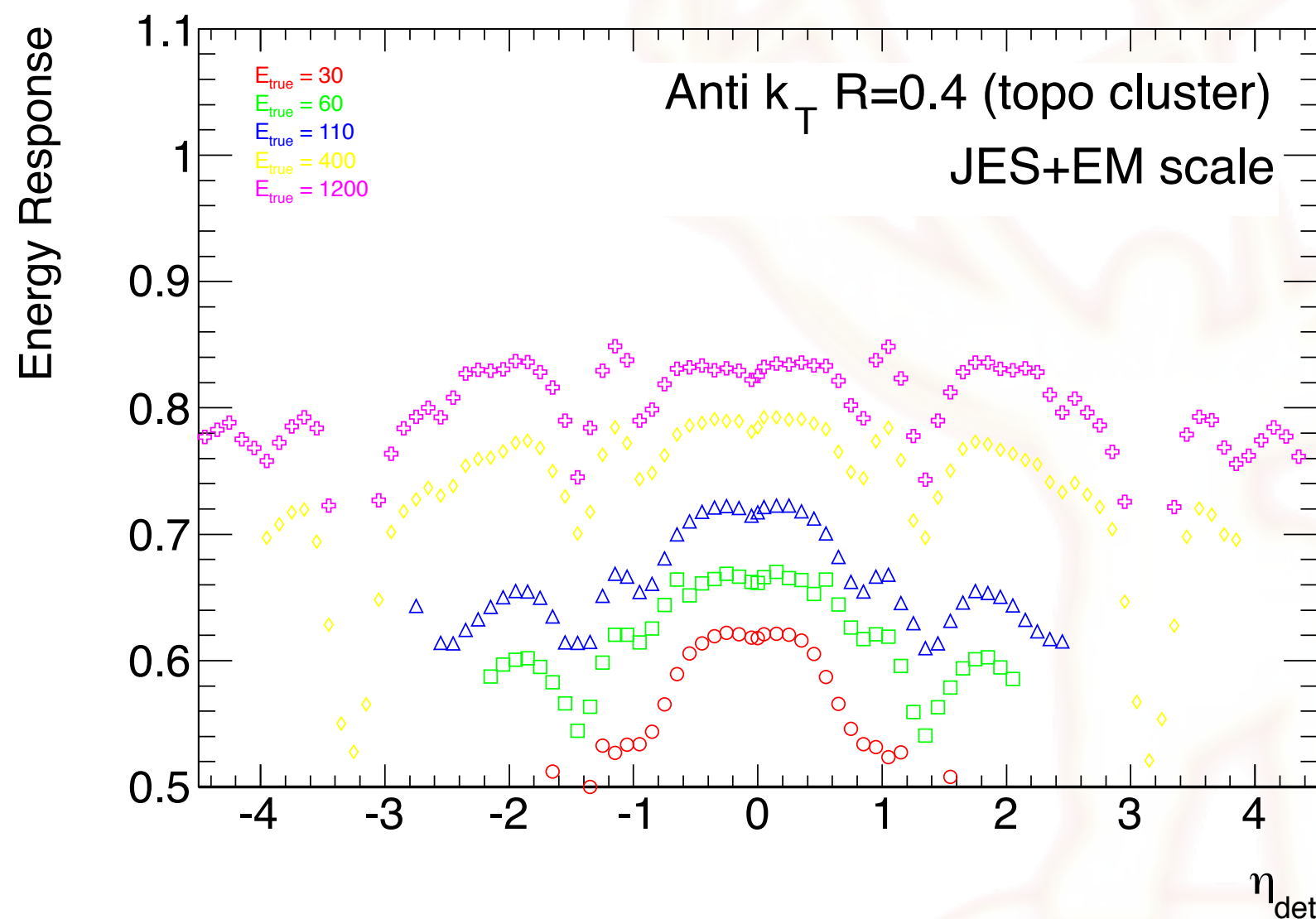
Jet calibration (2)

- さらに、各 E, η bin での inversion factor に対して、 $\log(E)$ の polynomial で fit する
 - この結果を parameter として database に持つ
 - この constants を “Jet Energy Scale” または “JES” という
 - EM scale に JES をかけて得られたエネルギーを “EM+JES” と呼ぶ
 - これが bottom line
- 重要な物理量である Jet の p_T (横方向運動量) は TopoCluster を massless と見做して、4-vector を組む
- その他
 - “LC”: Local Calibration
 - Topo-cluster の「ハドロンらしさ」を定義してそれに応じた factor をかける
 - origin correction
 - primary vertex の位置を使った p_T の補正
 - eta correction
 - truth と reco での eta の差を補正



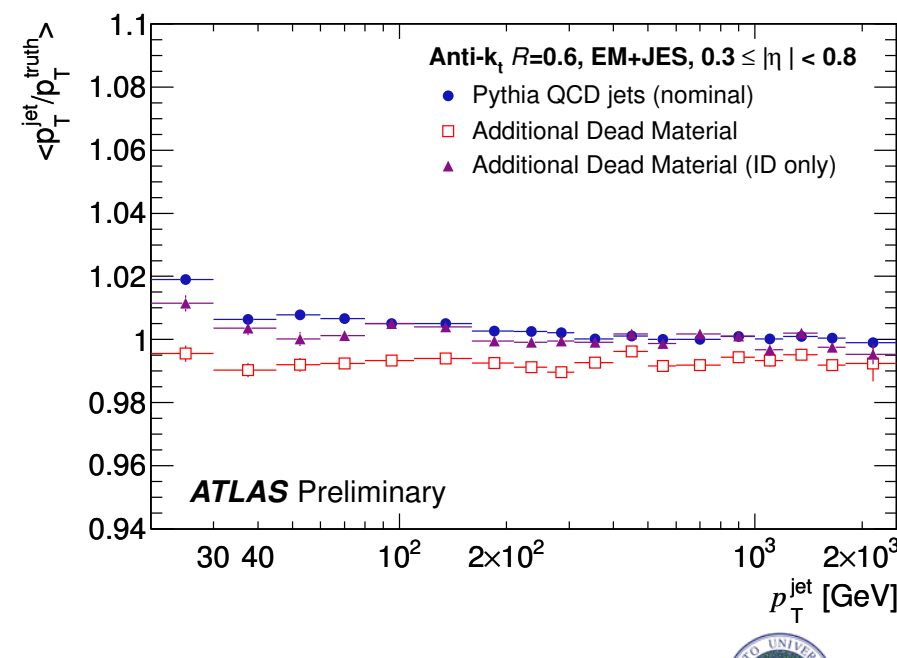
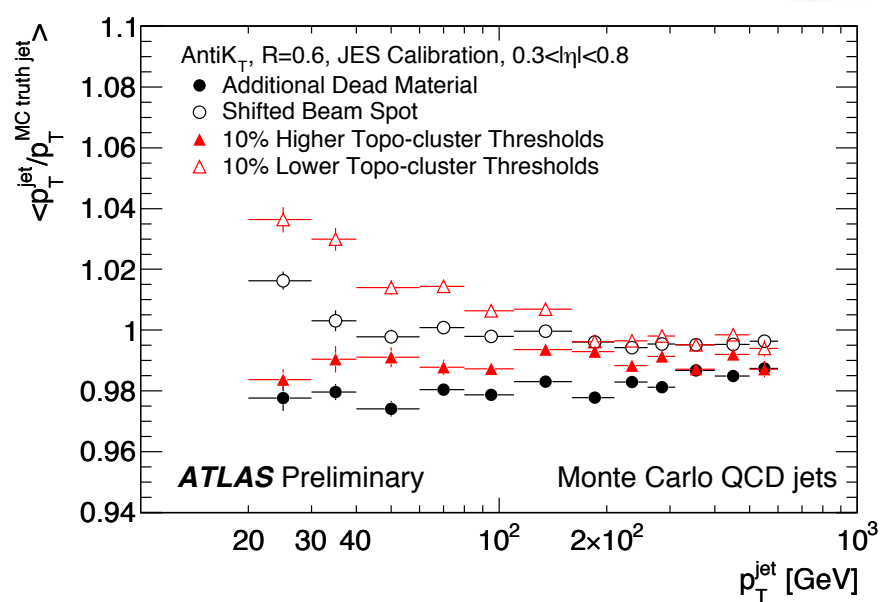
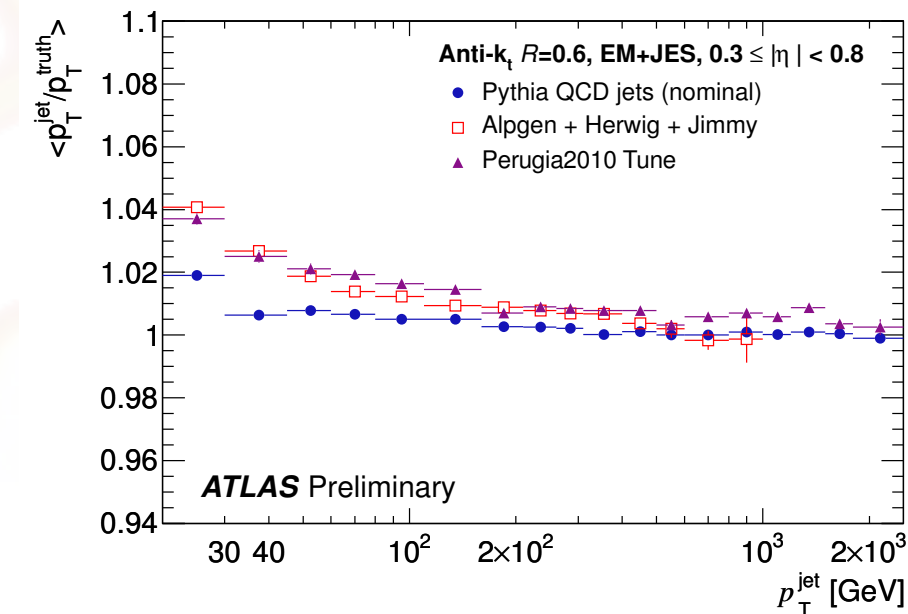
Jet calibration (3)

- eta-dependence of JES



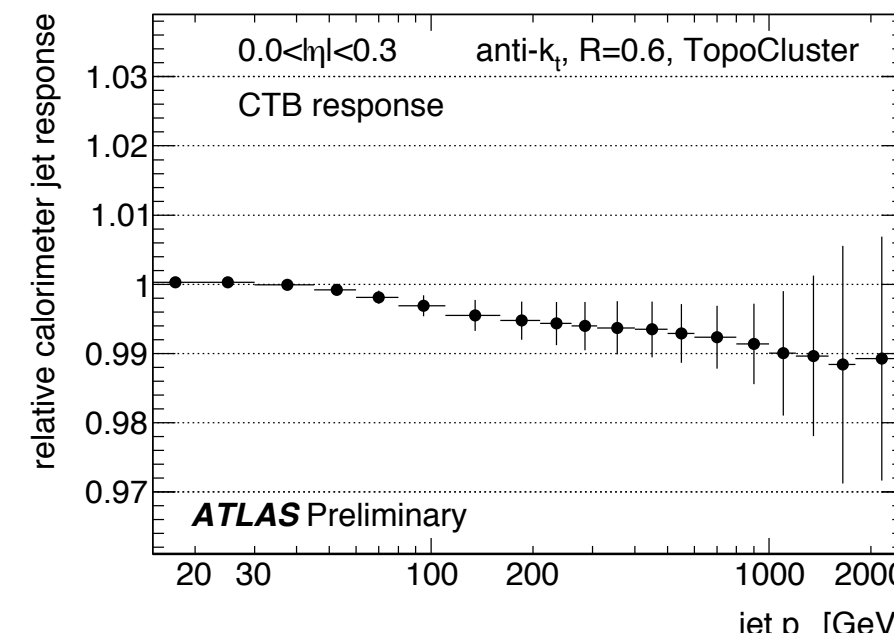
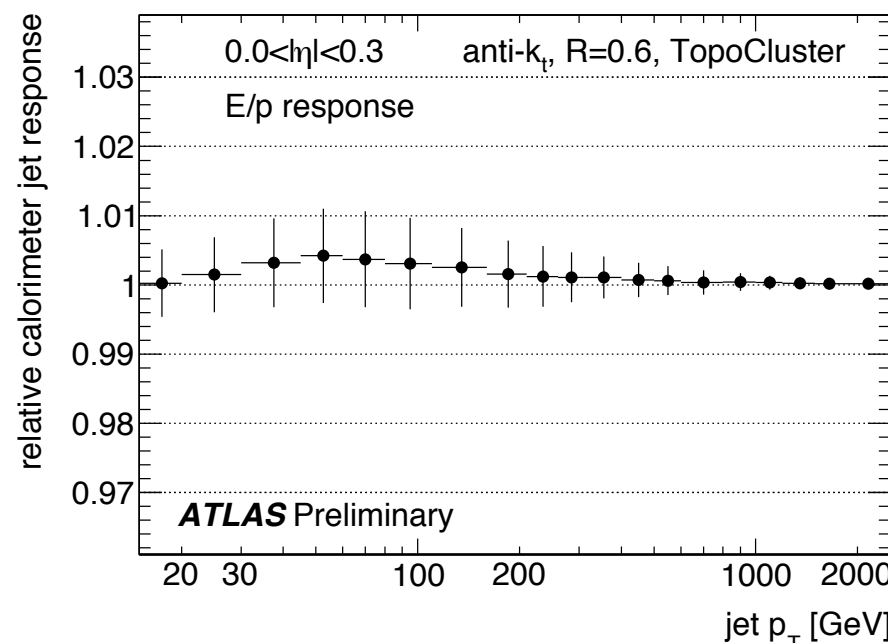
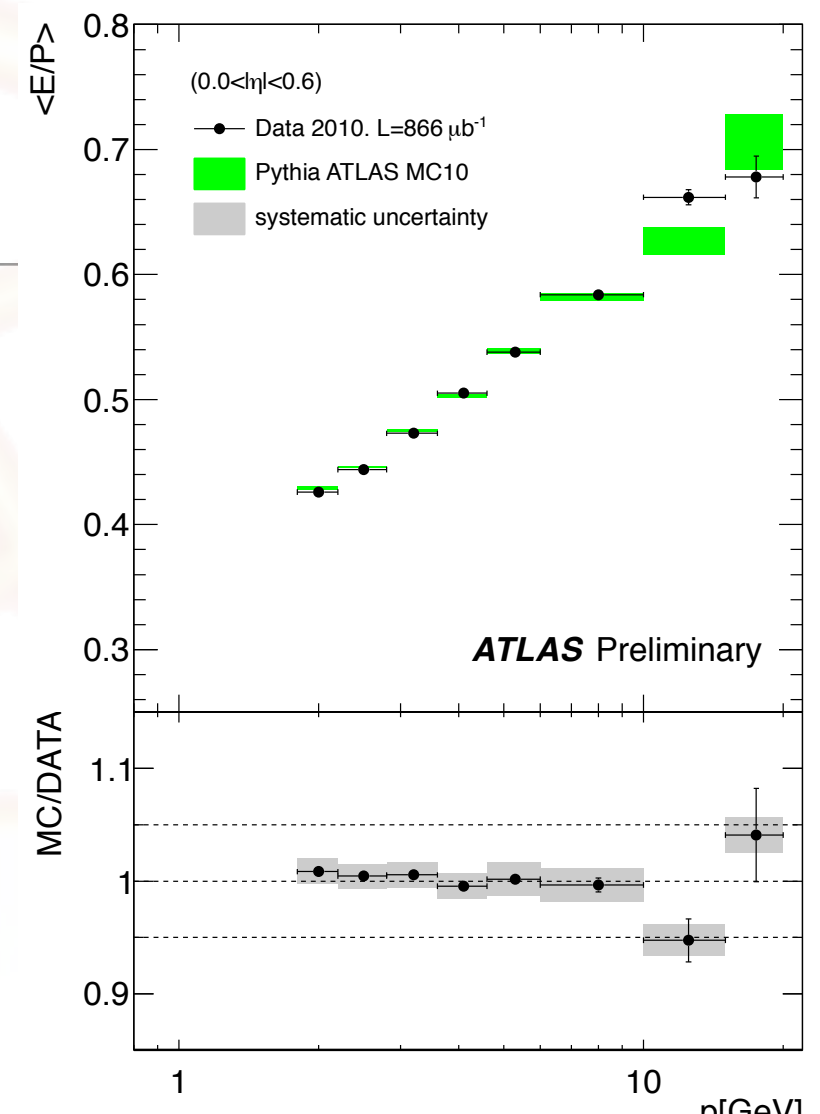
JES uncertainty (物理、他)

- どれだけ正確にJetをキャリブレーションできているか
 - “正確に”とは “精度良く” (resolution) ということではない。ある E, p_T binで、中心値をどう間違い得るか、の指標。
- JES uncertainty の source
 - 全部MCに頼ってのcalibrationなので、jet energy response は 物理モデル (パートン放出、ハドロン化、シャワー生成)に依る
 - ~3%



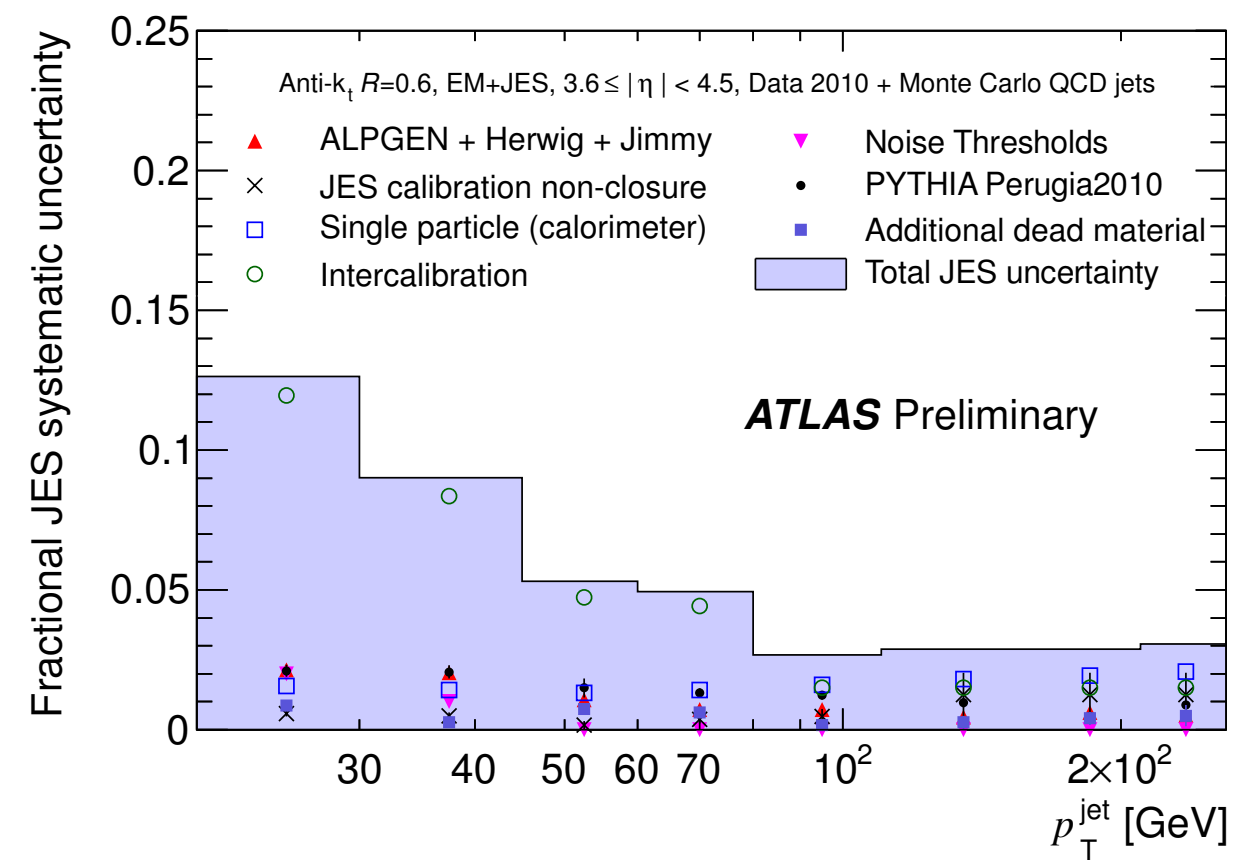
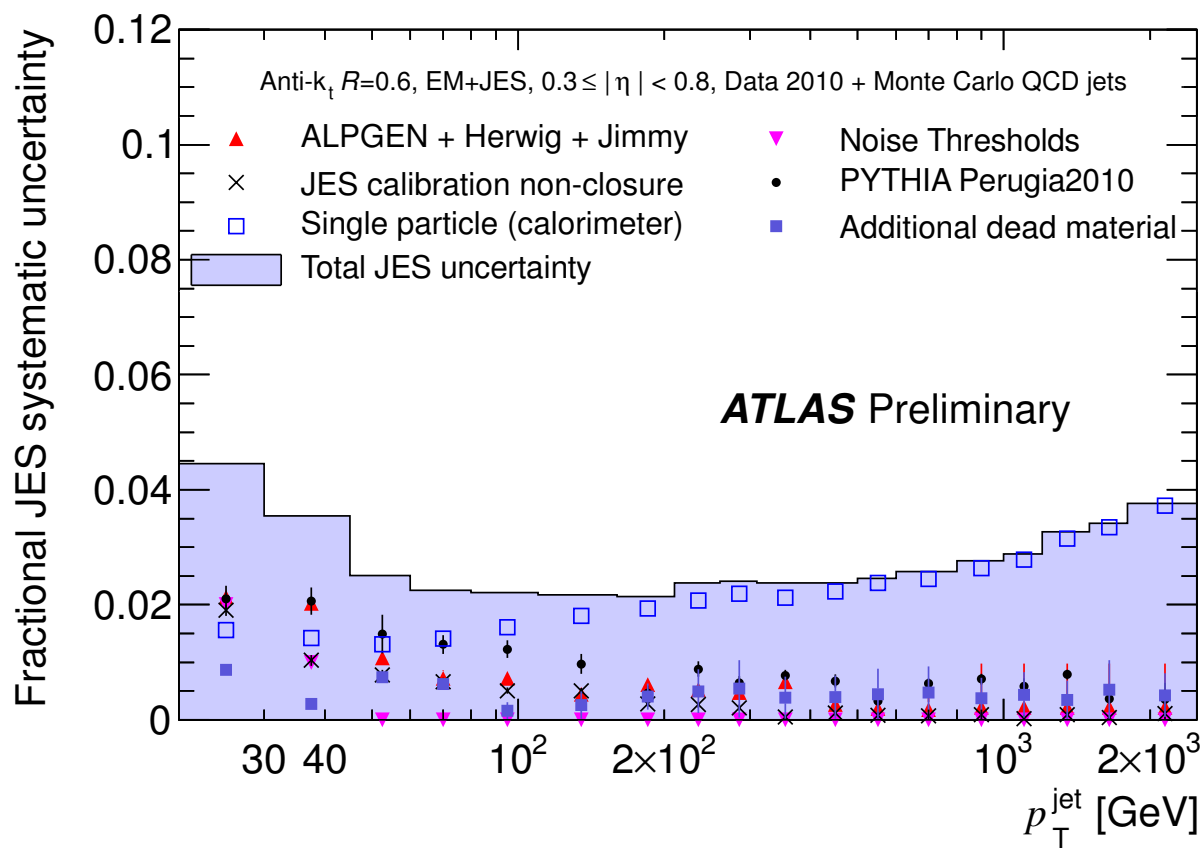
JES uncertainty (測定)

- 電磁スケールエネルギー測定
 - LAr: from [GeV] to [μA]: test beam
 - TileCal: ^{137}Cs
 - ▶ muon は EM calibration の performance を見るのに使う
 - これだけだと ~3%
- その他の source
 - Dead material description in MC: 2-3%
 - ノイズの大きさと threshold の関係: 1-2%
- single particle measurement
 - ▶ E/p 測定
 - ▶ Combined Test Beam
 - EM scale, ハドロンシャワー、
dead material の効果を一気に測る強力な手段
 - ▶ EM scale の補正に使う
 - ▶ systematics の評価にも使う
 - 3つまとめて2%



JES uncertainty (初期のまとめ)

- Result in 2010 data
 - 4% @ $p_T = 30\text{GeV}$, $0.3 < |\eta| < 0.8$
 - forward では ~10%



“In-situ” JES calibrations/validations

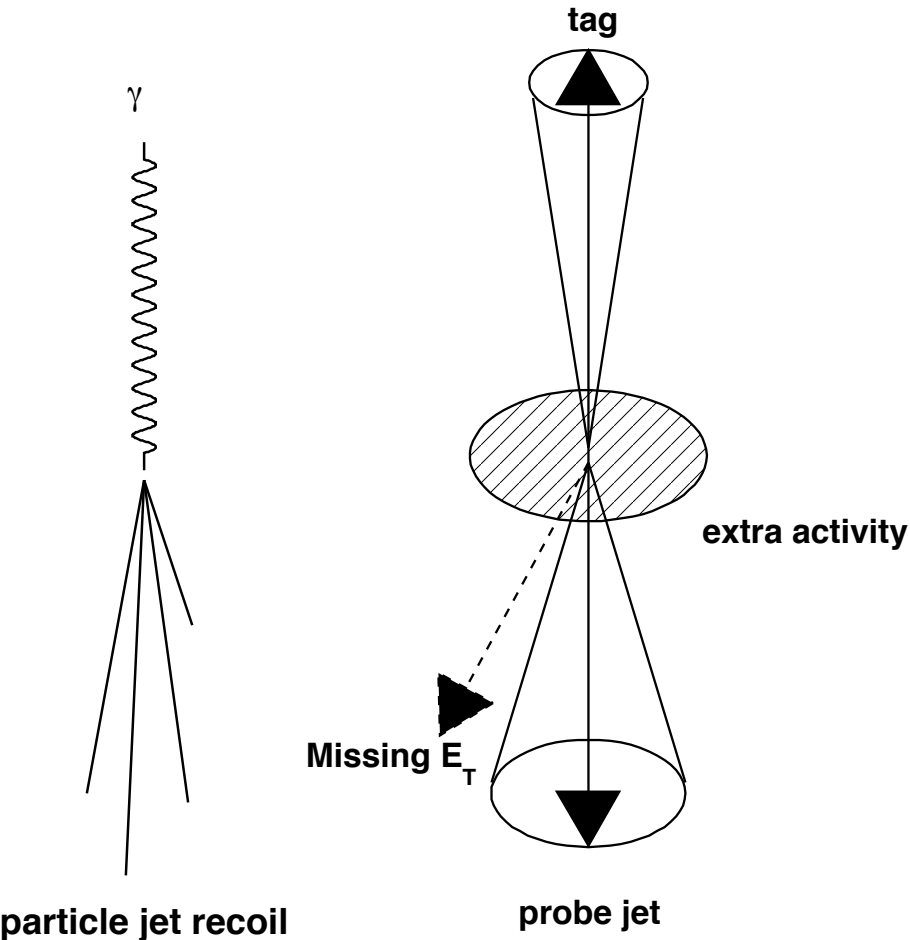
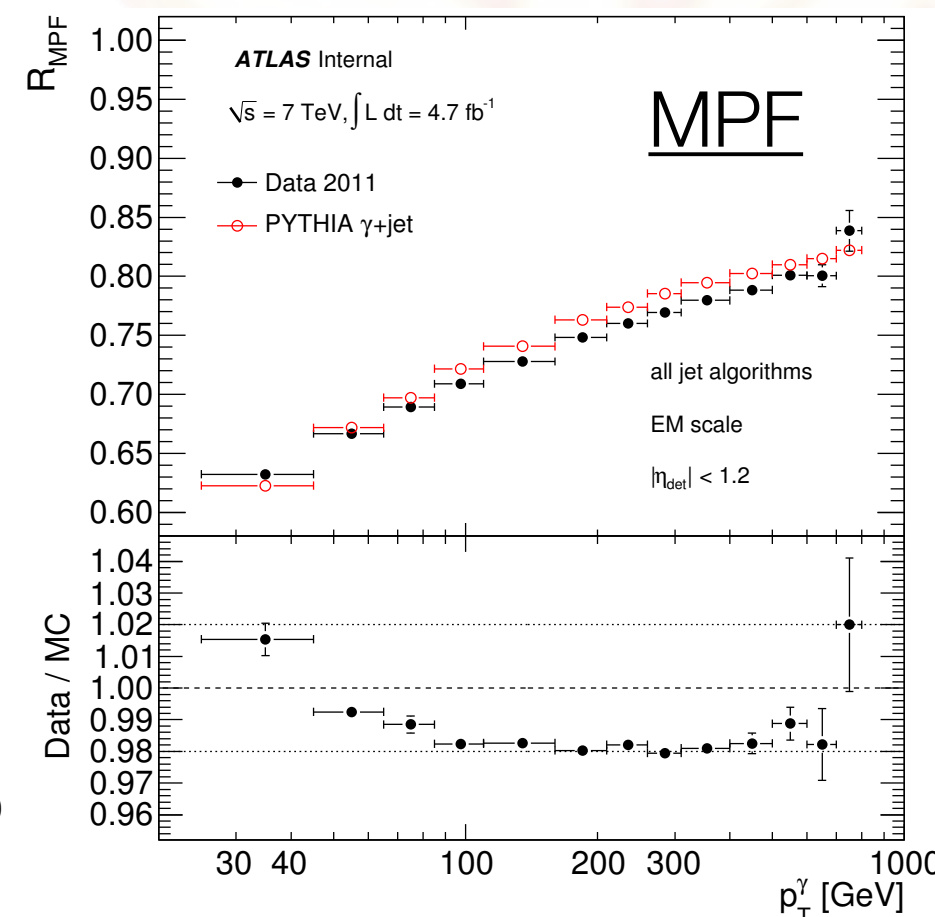
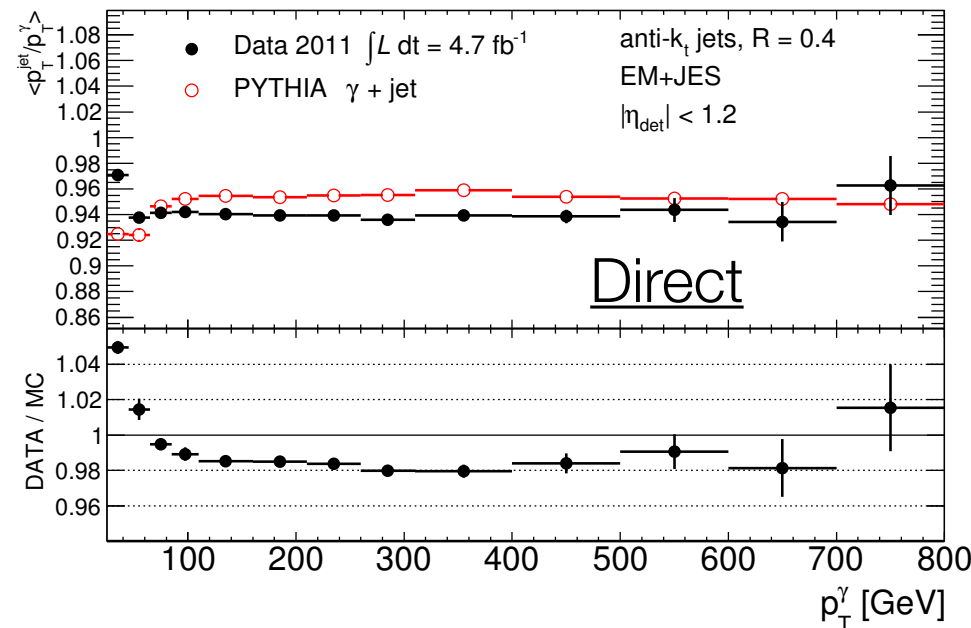
- データを使った “jetとしての”(single particle ではなく) calibration の確認をして、JES の不定性を評価したい
 - Gamma-jet balance method
 - Robust な EM scale の energy 測定と比較する
 - Z-jet balance
 - Zのmassが大きいので、low Pt jet のvalidation ができる
 - Multi-jet method
 - high- p_T Jet と low- p_T recoil jet system を比べる
 - 一番高い p_T までいける
 - (track-jet/calo-jet)
 - track だけで jet を組んで、それと比較
 - Di-jet inter-calibration
 - barrel と forward での responseを比べて、各 η 領域で systematics を propagate

Gamma-Jet balance

- Direct balance
 - $p_T(\text{jet})/p_T(\gamma)$
- Missing ET production fraction (MPF) method

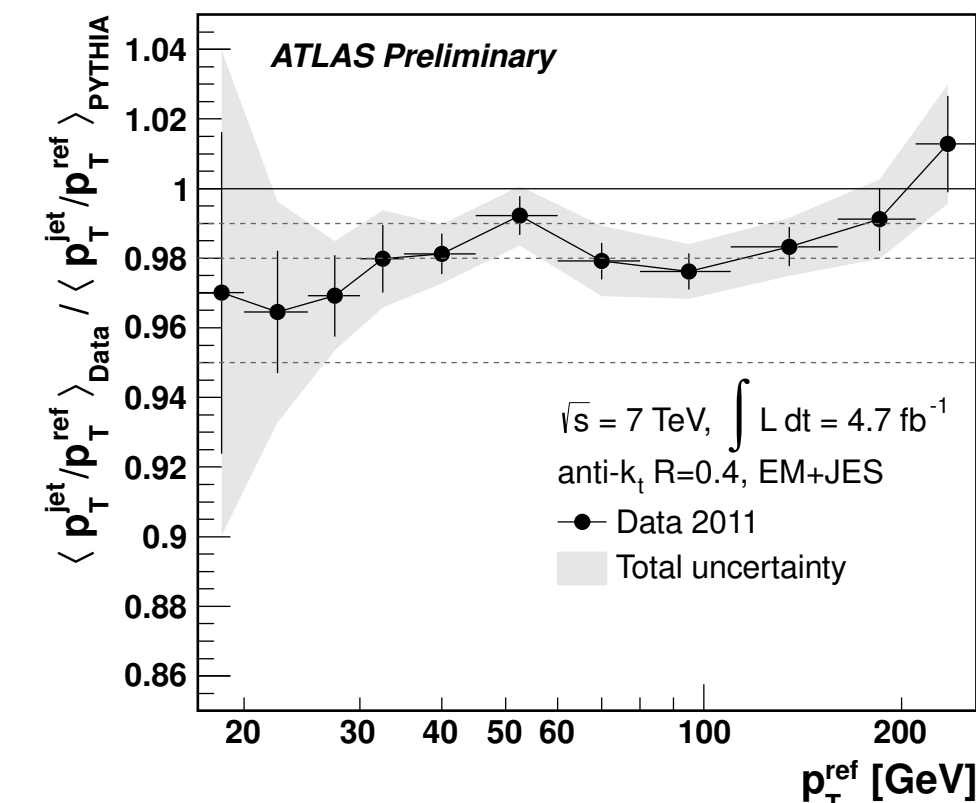
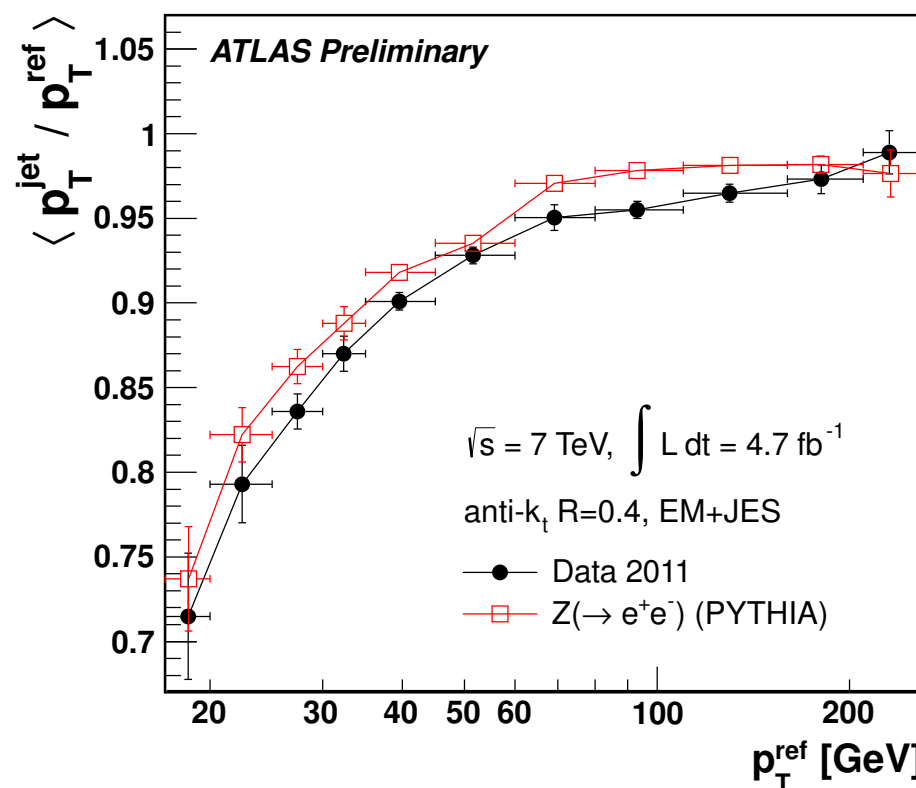
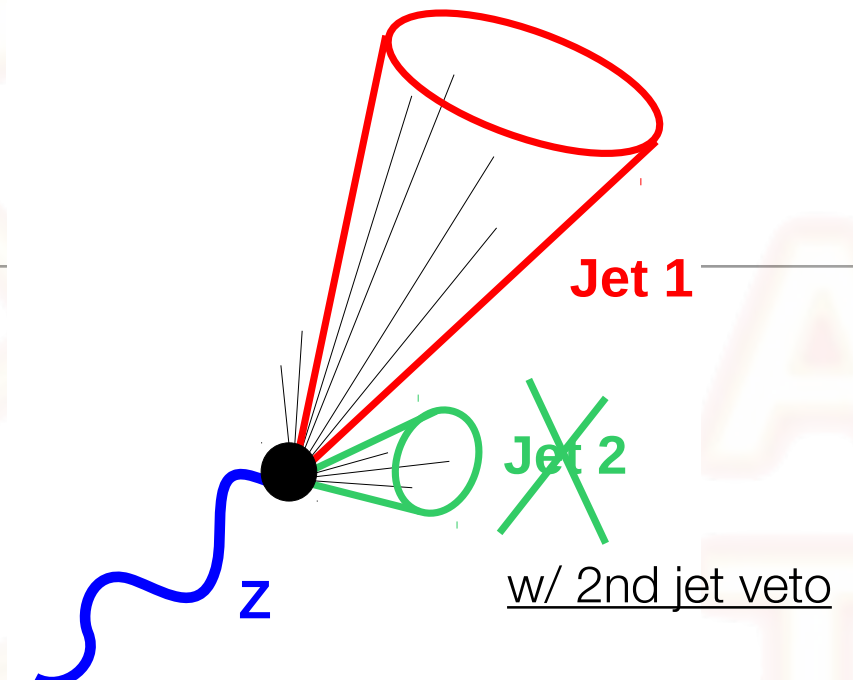
$$- \text{MPF} \equiv \frac{\vec{p}_T^\gamma \cdot \vec{E}_T}{[p_T^\gamma]^2}, \quad \mathcal{R}_{\text{MPF}} \equiv 1 + \text{MPF}$$

- Result in 2011 data
 - 1-2%で data と MC は合っている
 - ▶ 合わない分は correction へ



Z-jet balance

- $p_T(\text{jet})/p_T(\text{reference } Z \rightarrow ee)$
 - much less background than γ -jet
 - probes low- p_T jets
- Result in 2011 data
 - data/mc agreement within 3%

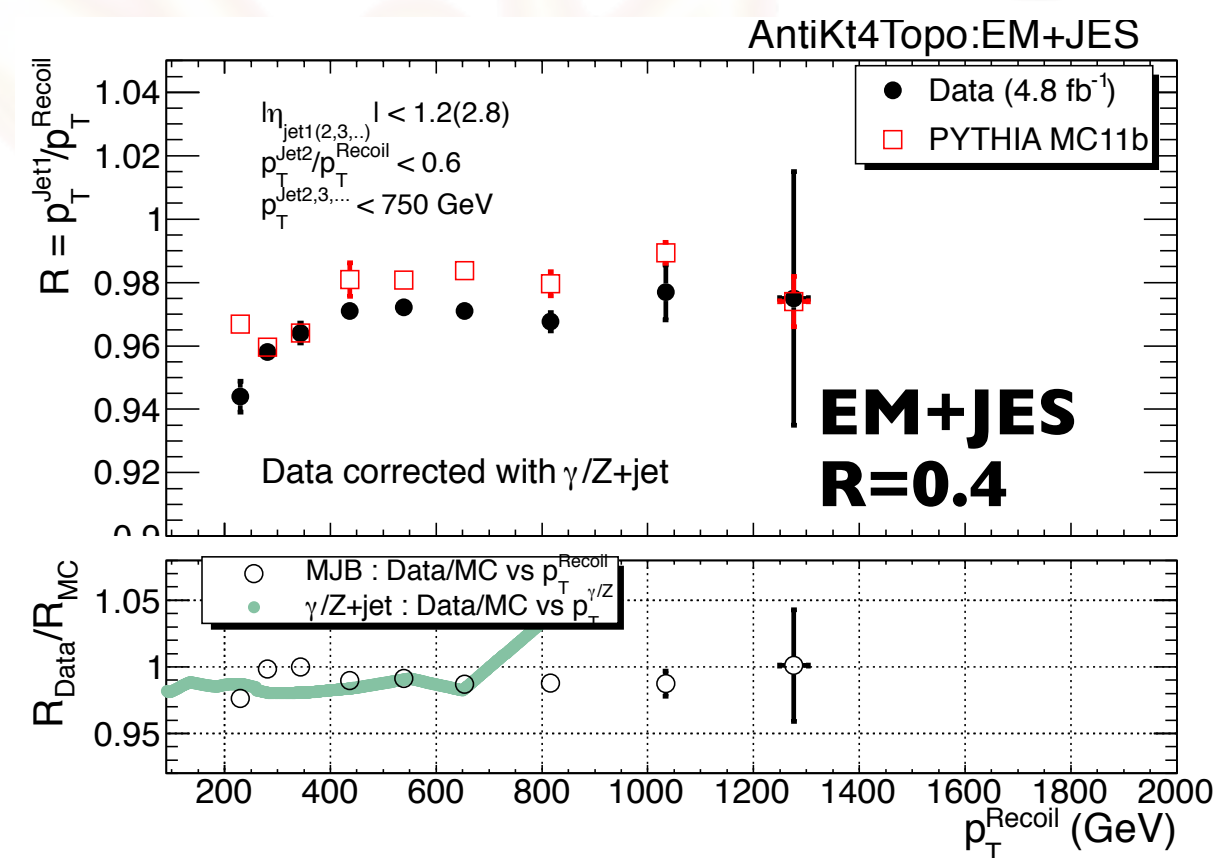
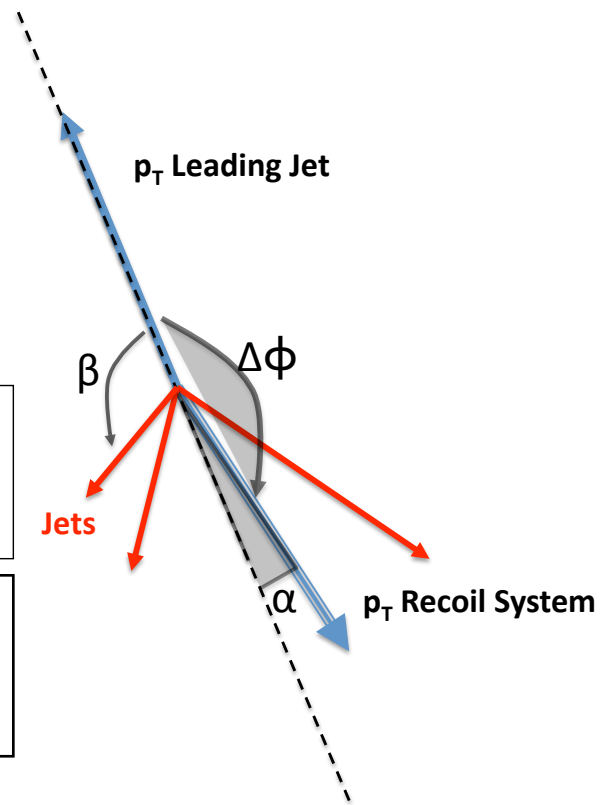


Multi-Jet balance

- MJB
 - powerful tool to reach higher p_T in JES
- Result in full data 2011
 - w/ corrections by gamma-jet/Z-jet
 - ▶ data/MC : ~1%
 - ▶ 2010/2011: similar performance
 - p_T reach extended
 - ▶ $0.8 \rightarrow 1.2$ TeV
 - Topic in 2011/12 : TeV jets !!

Employ p_T balance “ $p_T^{\text{jet1}}/p_T^{\text{Recoil}}$ ” to validate/calibrate in-situ the leading (high energy) jet response

LCW+JES/EM+JES topo-cluster jets for $R=0.6$ and 0.4
 ▶ $p_T > 20$ GeV, $|\eta| < 2.8$, $N_{\text{jet}} \geq 3$



Dijet balance

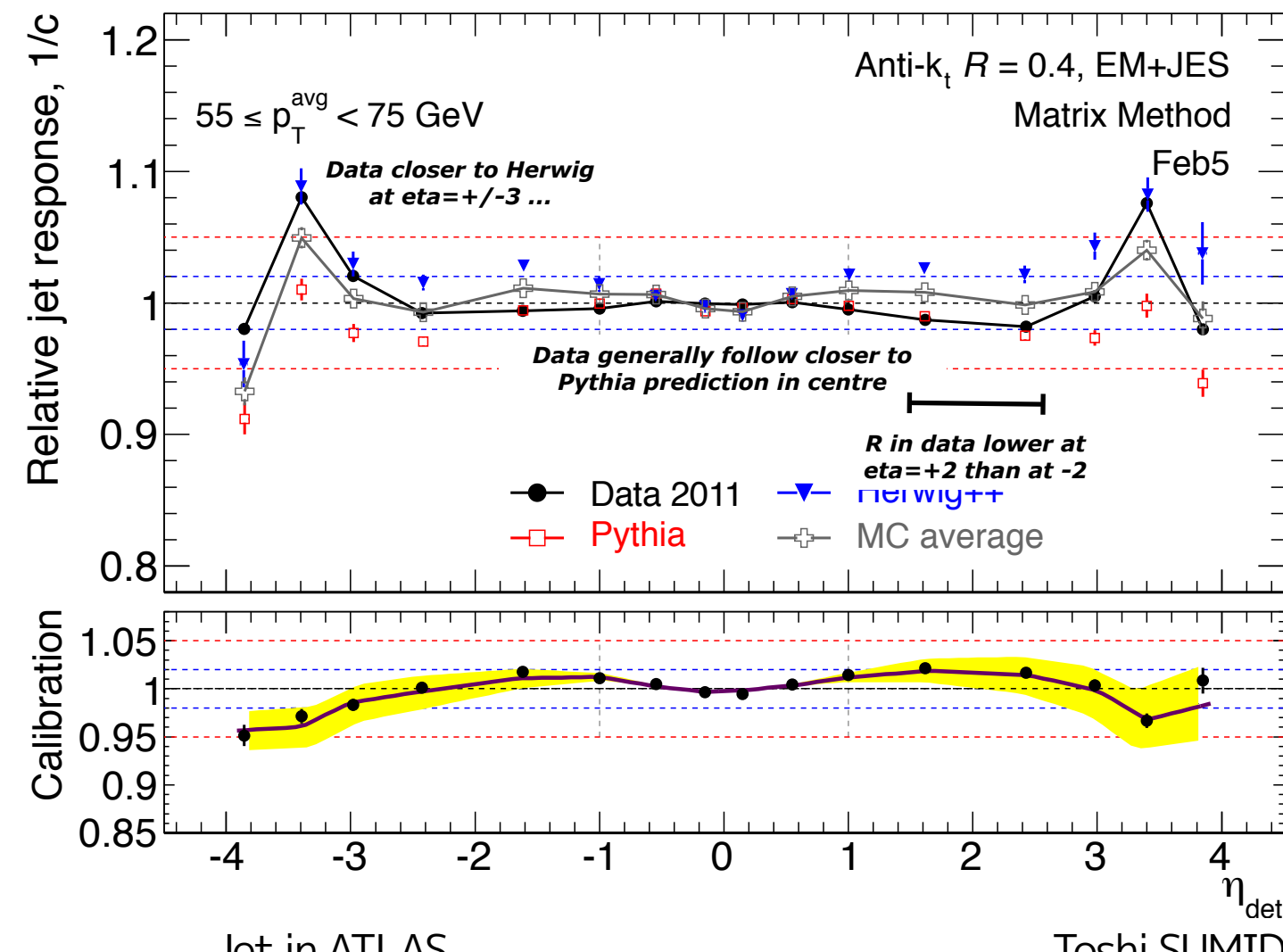
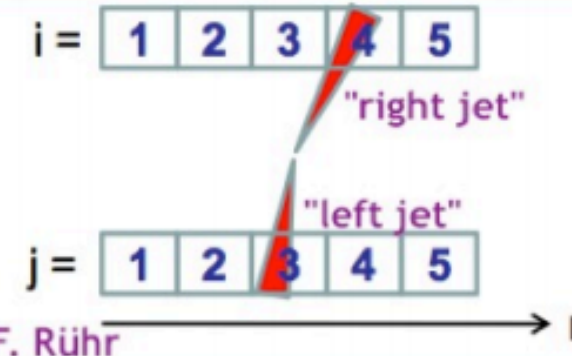
- Analysis methods
 - Standard Method
 - ▶ p_T (probe jet)/ p_T (ref. jet)
 - Matrix Method
 - ▶ not defining probe or reference jets
 - $|\eta_1| < |\eta_2|$
- Results in data 2011
 - ~10% difference between Pythia and Herwig
 - ▶ taken into systematics in the forward region

Matrix Method

$$\mathcal{A} = \frac{p_T^{\text{left}} - p_T^{\text{right}}}{p_T^{\text{avg}}}, \quad \eta^{\text{left}} < \eta^{\text{right}}$$

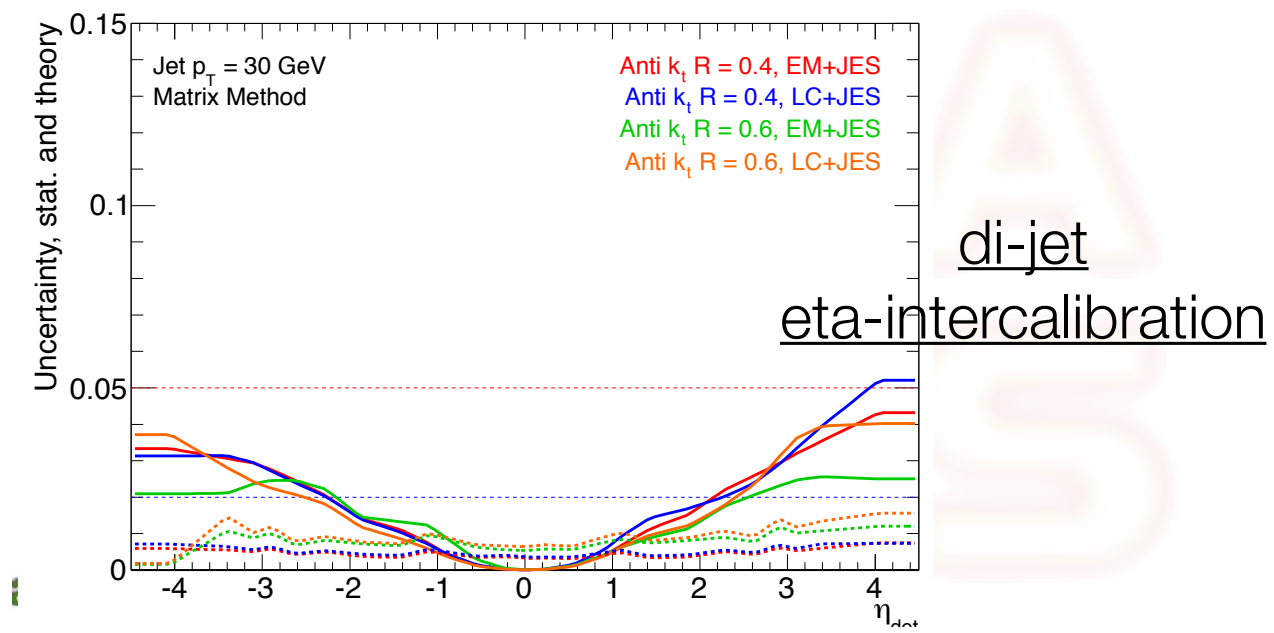
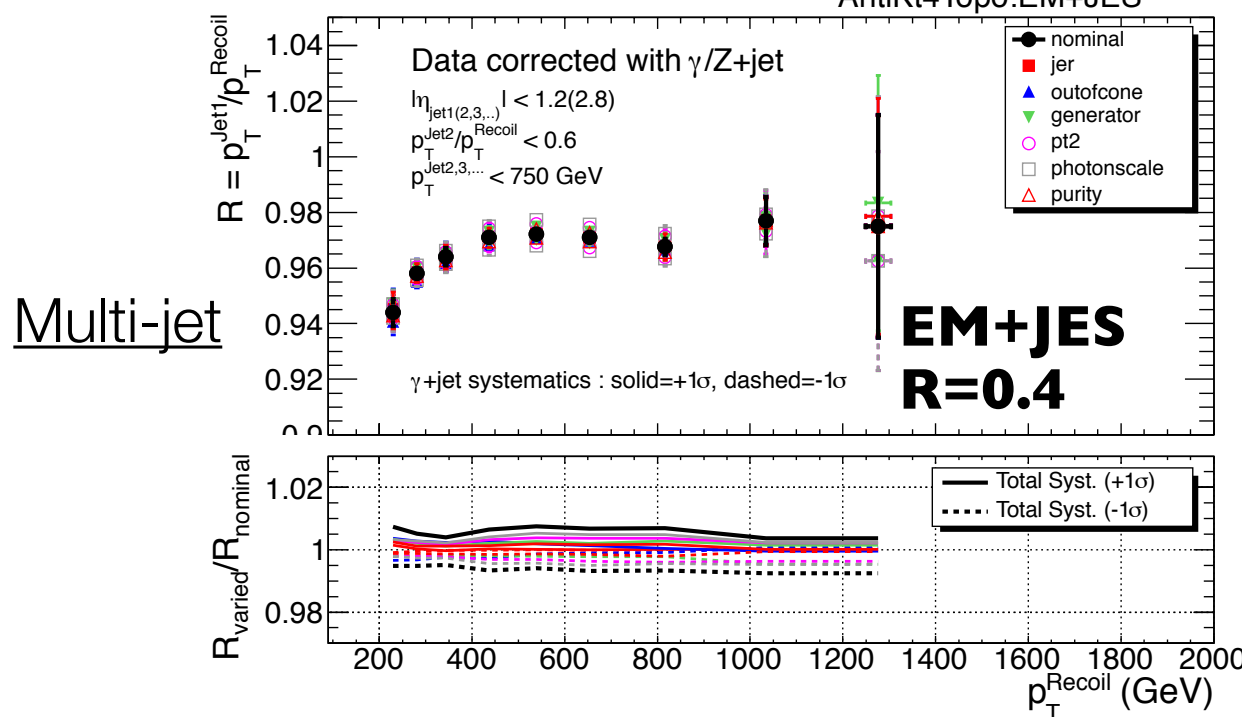
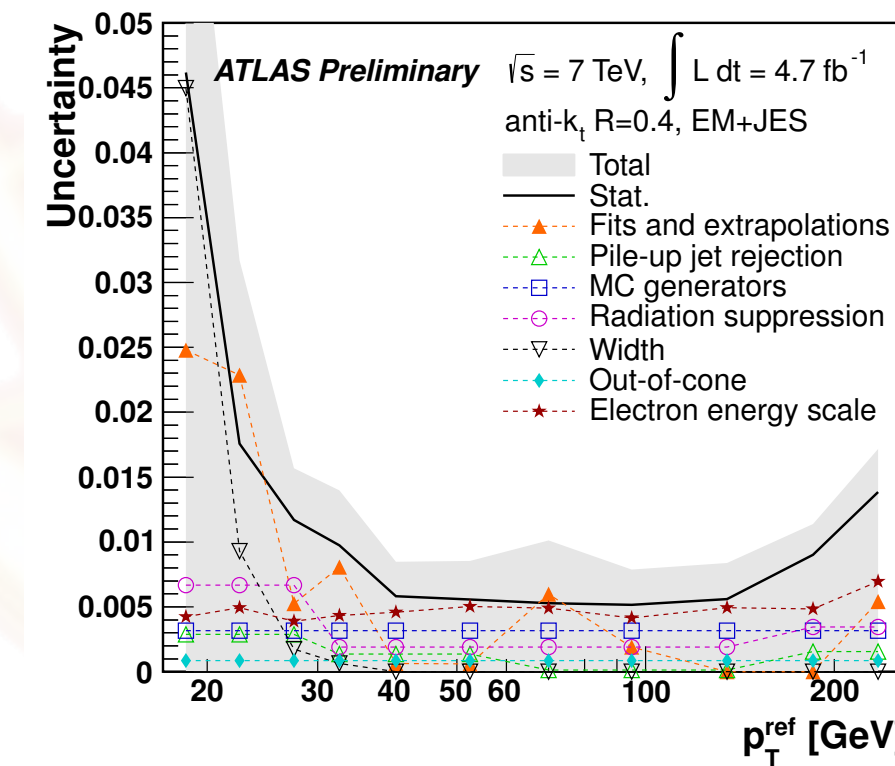
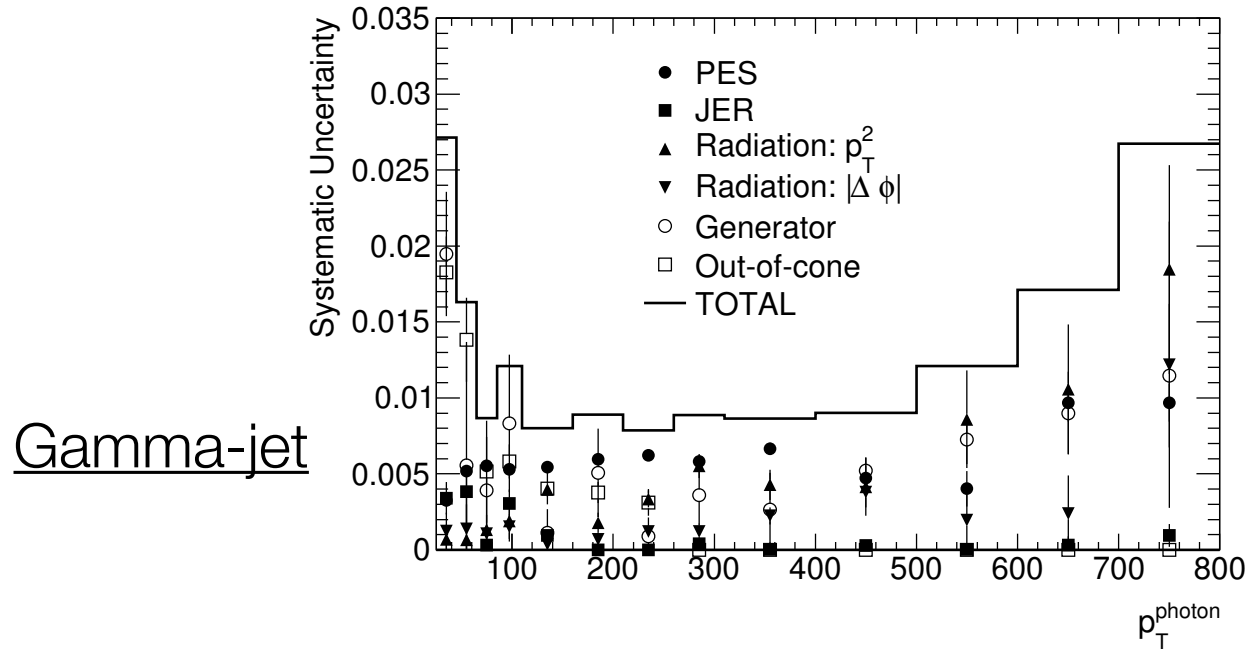
$$\mathcal{R} = \frac{p_T^{\text{left}}}{p_T^{\text{right}}} = \frac{c^{\text{right}}}{c^{\text{left}}} = \frac{2 + \langle \mathcal{A} \rangle}{2 - \langle \mathcal{A} \rangle}$$

Solve for all c_i using matrix of lin. eq.



Systematic uncertainties

- In in-situ measurements



ここまでまとめ

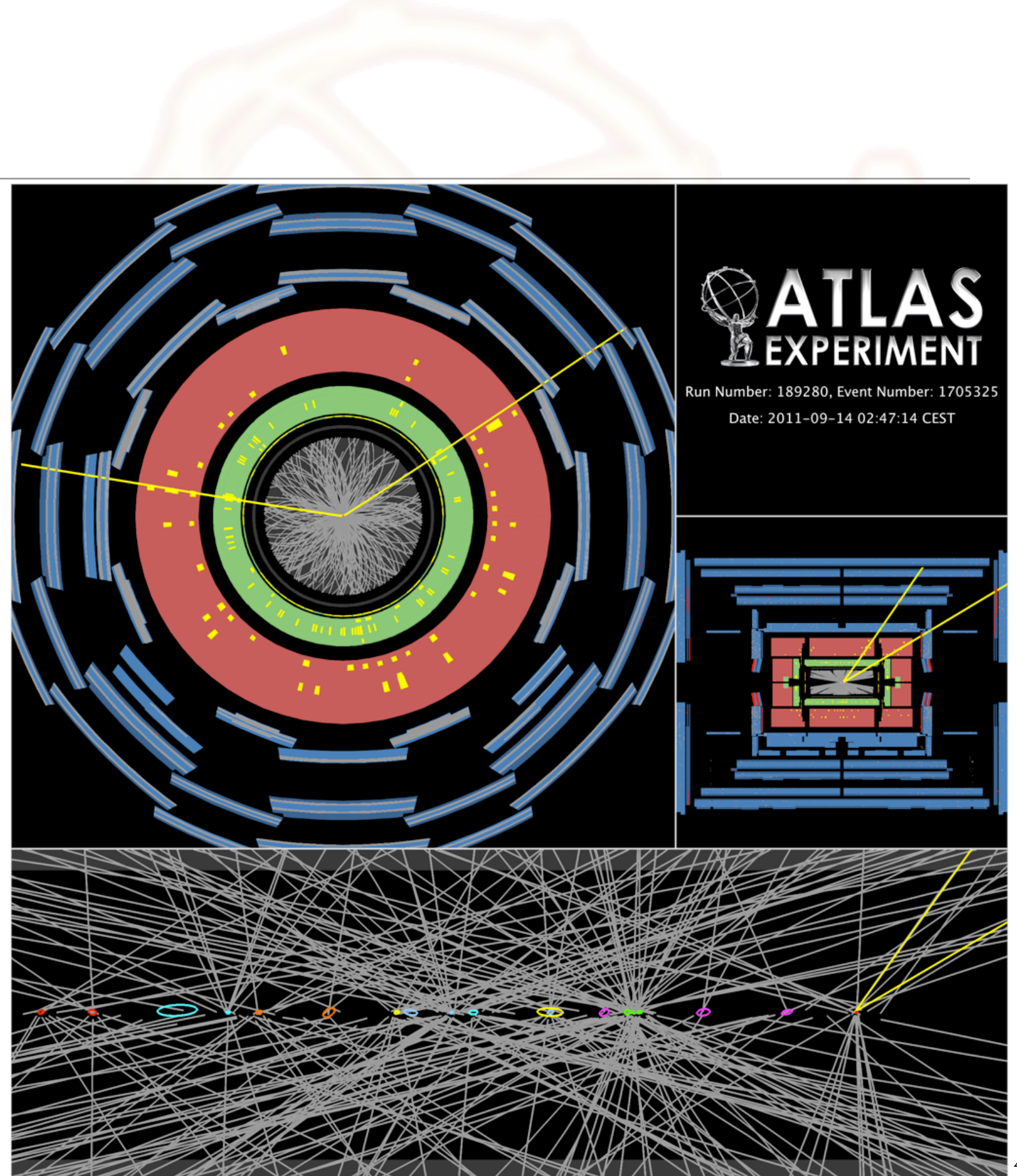
- Jet とは
 - 高エネルギーパートンを元とするハドロンの束
- Jet calibration
 - カロリメータの EM(or LC)-scale でのレスポンス
 - エネルギークラスターの構築
 - Jet の再構築
 - 行なって、MC で求めた JES をかける
- Calibration がどれくらい合っているか
 - JES uncertainty
 - 物理モデルや、検出器の反応、ノイズ、物質量等からくる jet energy response の不定性
 - 基本的に single particle measurement を使って評価
 - “In-situ” calibrations
 - データを使って JES を検証
 - (これからは JES の補正、uncertainty の評価に使う)



Pile-up in 2011

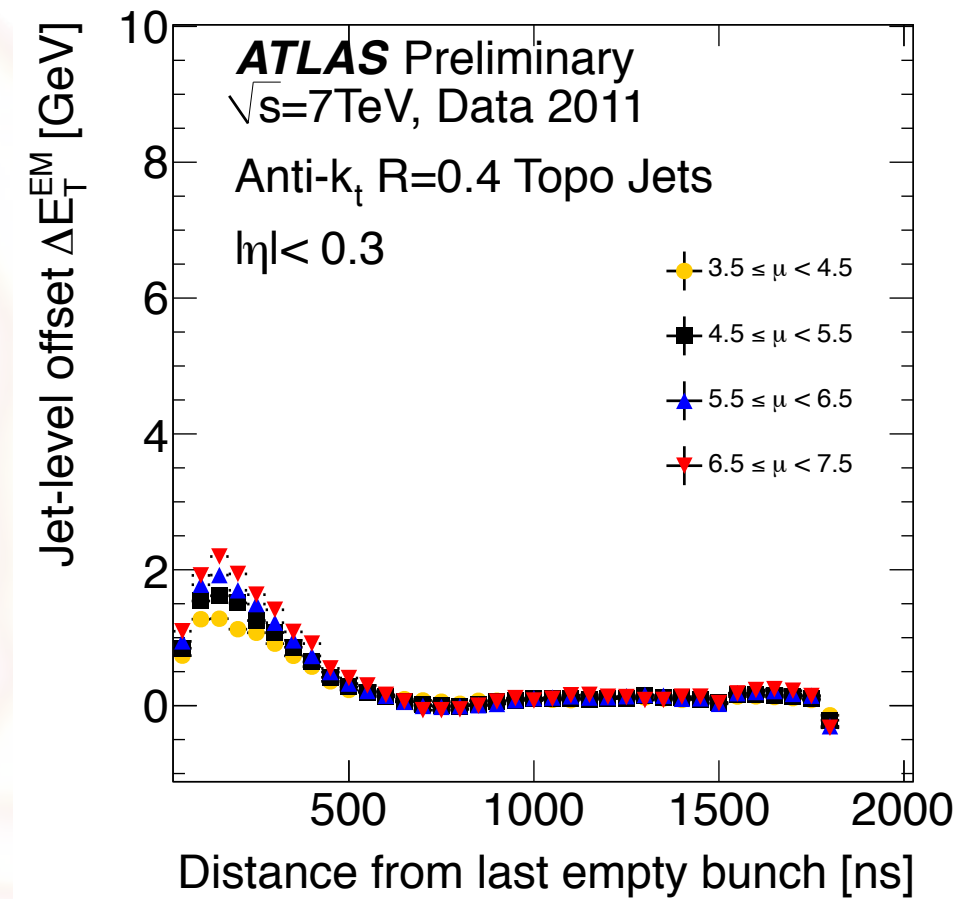
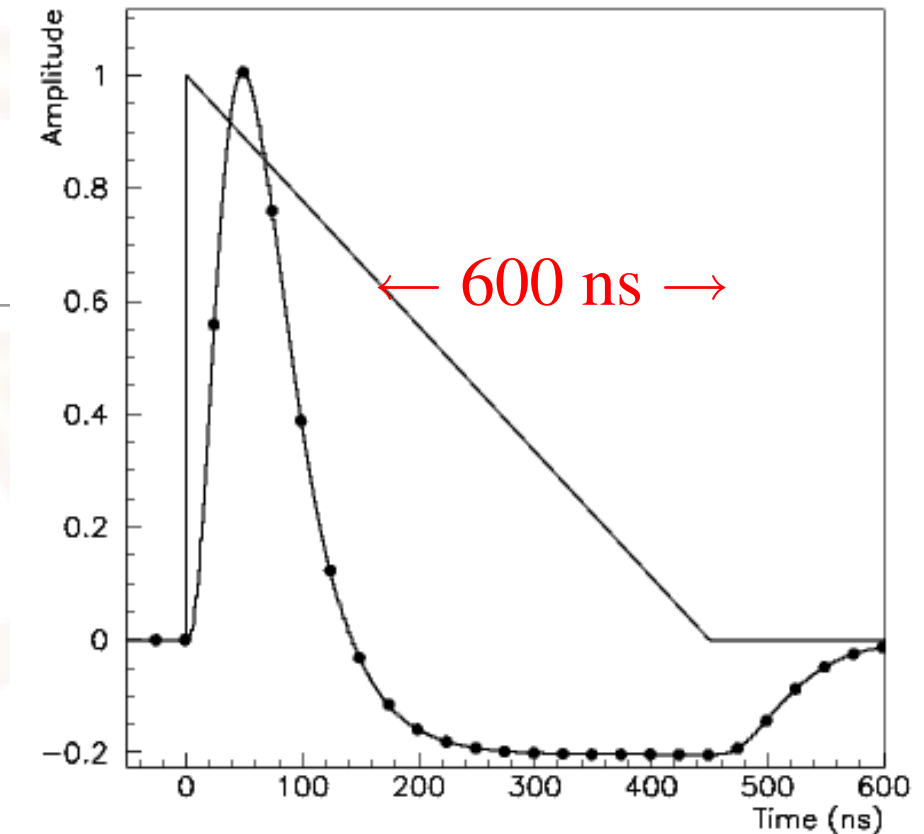
Pile-up

- $Z \rightarrow \mu^+ \mu^-$ のイベントディスプレイ
 - with **20** vertices
 - $p_T > 400 \text{ MeV}$ のトラックのみを表示
 - 楕円の大きさは primary vertex 再構成の不定性を 20 倍にして表している
- カロリメータ(特にハドロン)でのエネルギー測定や、横方向消失運動量(missing E_T)の測定に大きく影響する



Energies from Pile-up

- Jet (広範囲での energy 測定)に影響するもの
 - In-time pileup
 - ▶ 同時に起こった複数の衝突からの寄与
 - ✓ energy を足し上げてしまう
 - ▶ dependent on
 - その bunch x-ing での同時衝突数: Number of Primary Vertex (NPV)
 - ✓ tracking で数える
 - Out-of-time pileup
 - ▶ bi-polar pulse shape in the calorimeters
 - total charge は 0 (noise-tolerant)
 - 長い negative charge 部分が energy deposition のあとに続く
 - ✓ これが、energy をさっ引いてしまう
 - ▶ dependent on
 - その bunch x-ing の前の部分の 平均衝突数: "μ" (<mu>)
 - ✓ total cross section measurement

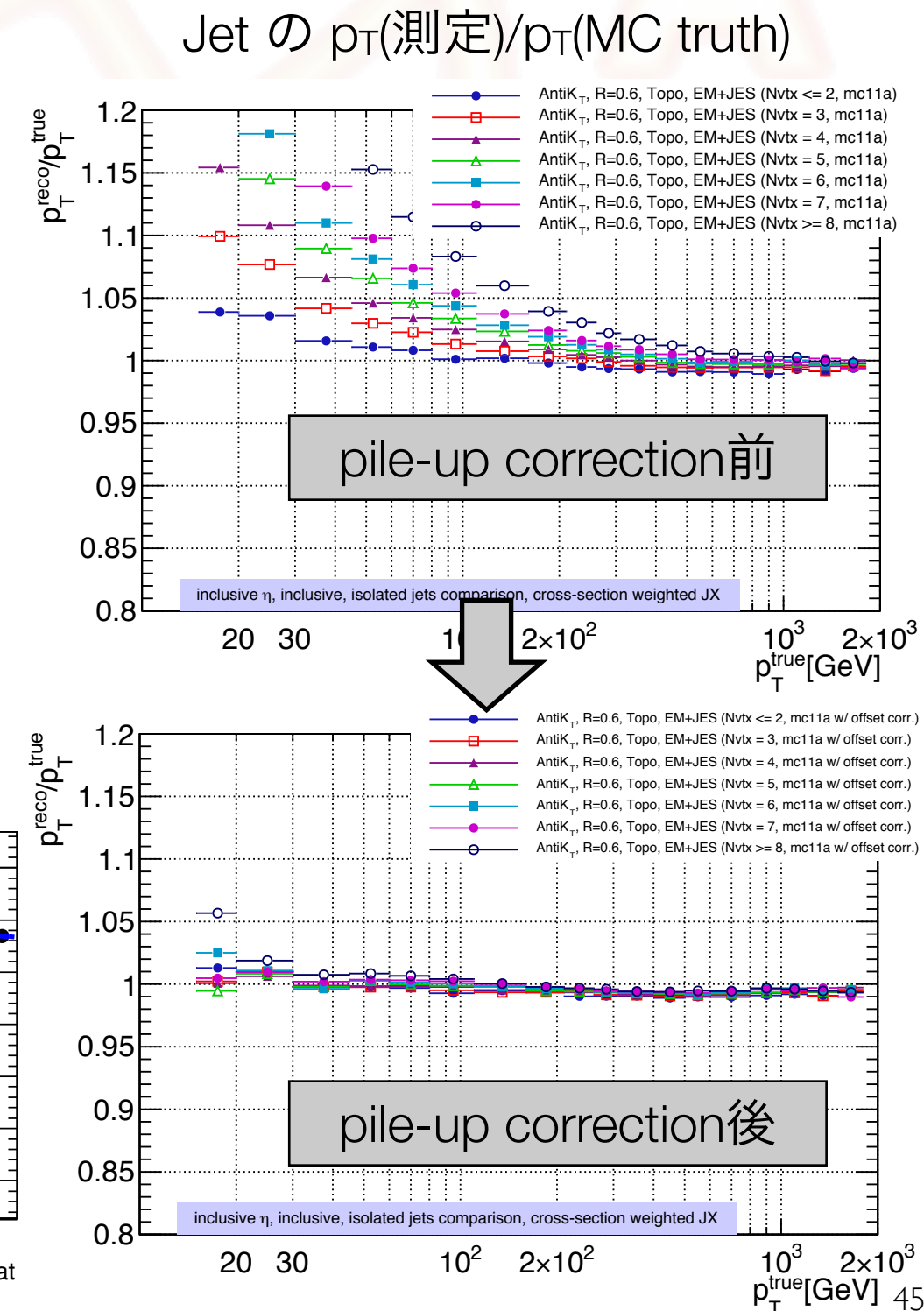
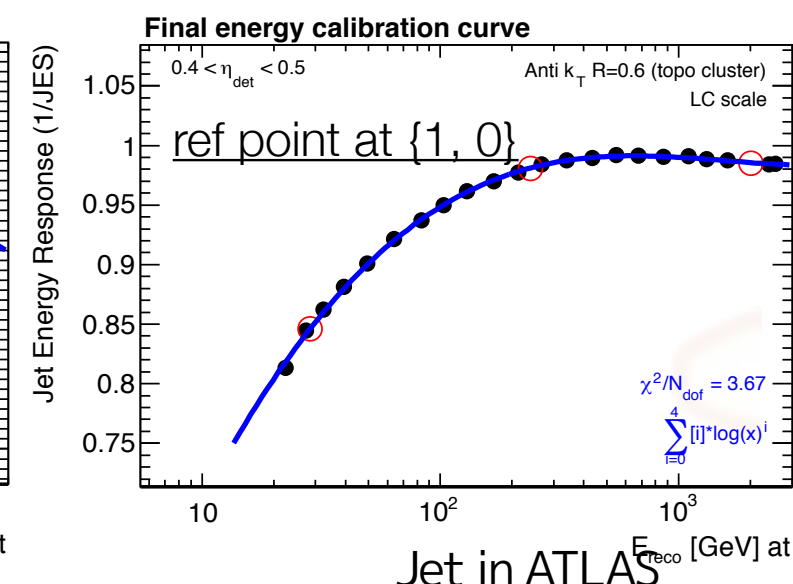
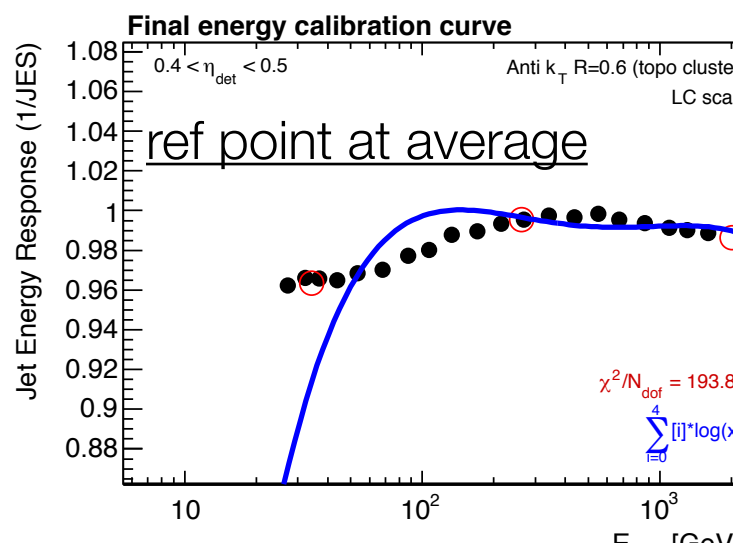


Pileup corrections

- Calorimeter で測る energy を足したり引いたりされると jet の p_T を間違えるので、これに対して補正をしたい
 - Offset (pile-up) correction
- Correction methods
 - Tower/cluster-based method
 - ▶ eta-dependent に、 NPV or μ 每に energy in calo-towers/clusters の table を作って、それで補正
 - ▶ topo-cluster の noise-suppression が MC で完璧に記述できないため、あまり上手くいかなかった
 - Truth- p_T based method
 - ▶ MC truth jet information を使って、ある η , NPV, μ での EM/LC scale jet p_T と比較。これを table に持つ
 - $E(\text{offset}) = A^*(\text{NPV} - \langle \text{NPV} \rangle_{\text{ref}}) + B^*(\mu - \langle \mu \rangle_{\text{ref}})$
 - ✓ $[\langle \text{NPV} \rangle_{\text{ref}}, \langle \mu \rangle_{\text{ref}}]$: offset が 0 になる点 (reference point)
 - ✓ 現在の default
 - Others
 - ▶ Jet area method, Ntrack, JVF, etc....

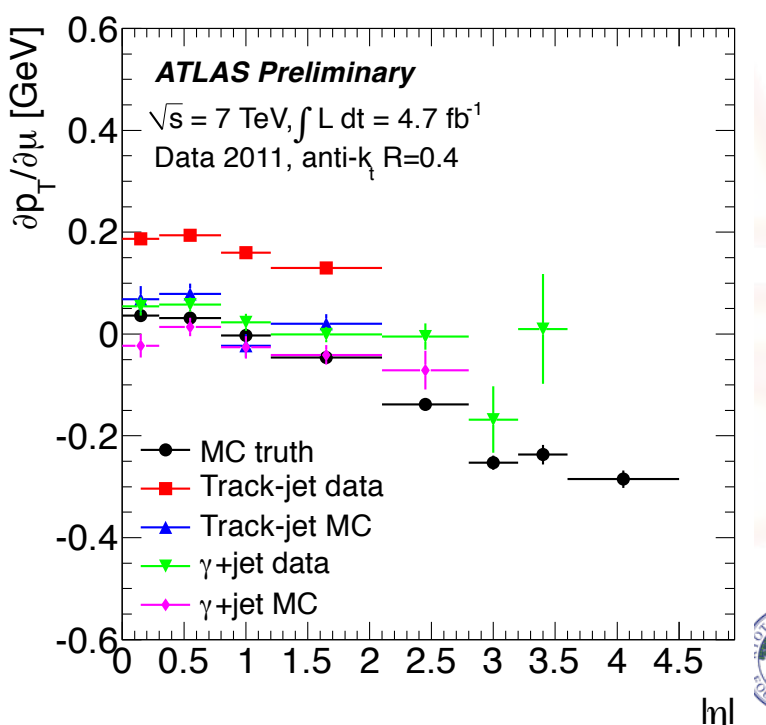
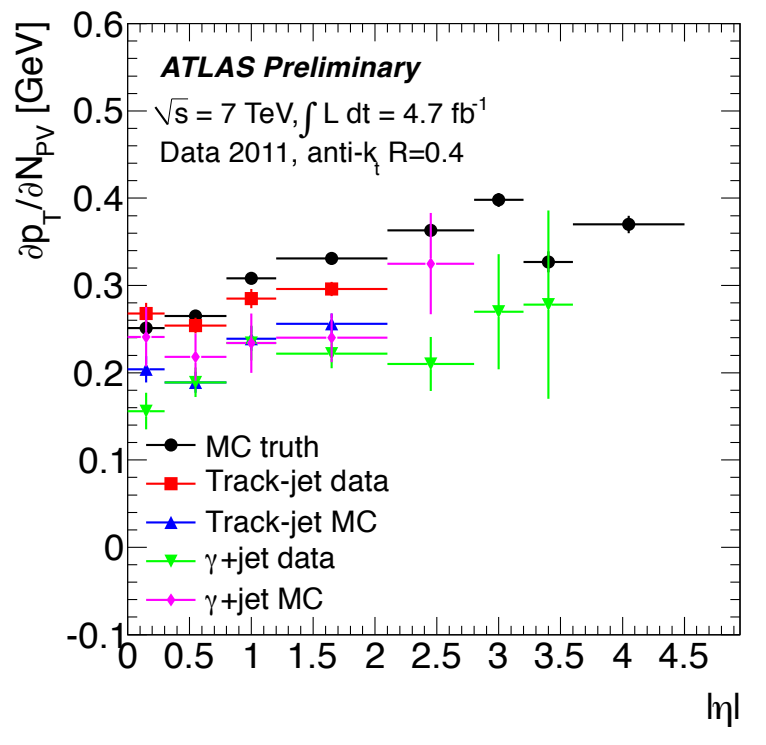
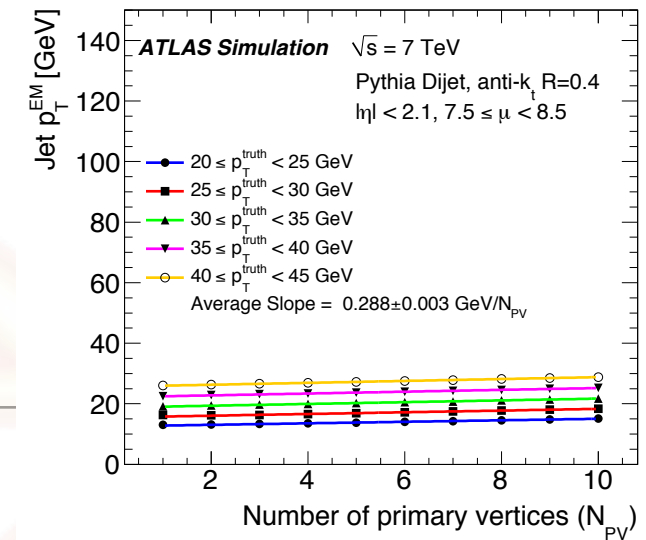
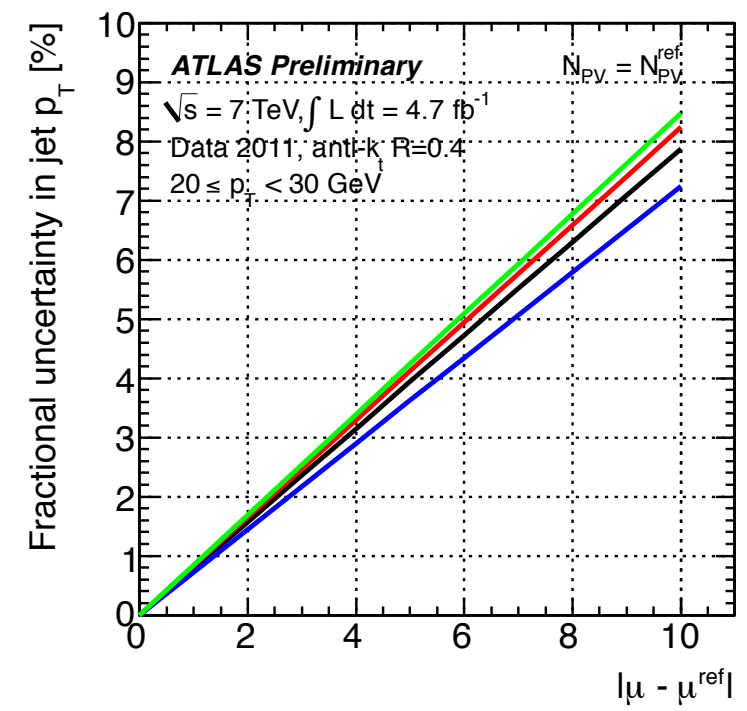
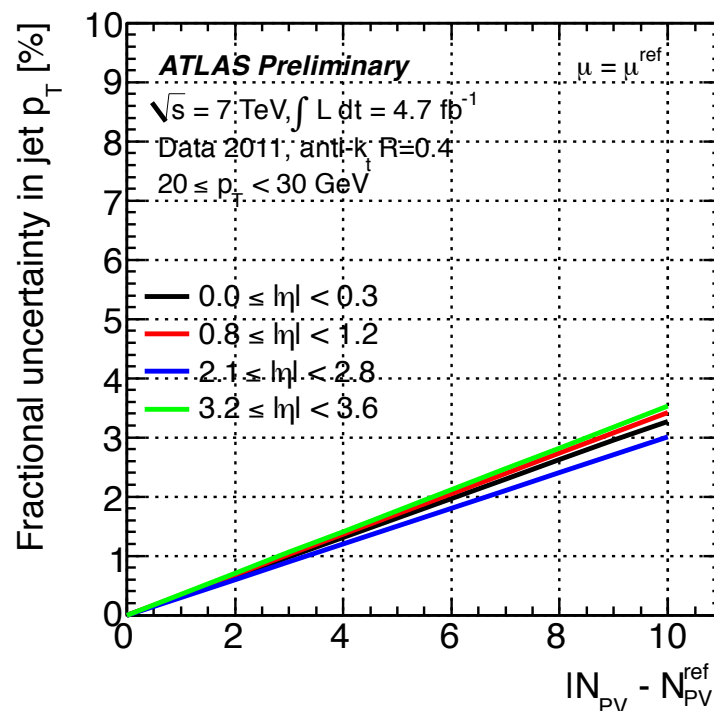
Jet calibration with offset correction

- reference pointについて
 - JES が、offset correctionなしで求められたのであれば、その MC サンプルの平均
 - しかし、mc11a ($\mu \sim 7$) 以降、特に LC-scale jet については平均 response が大きすぎるために jet energy response に対する polynomial での fit が絶望的
→ 一旦 $[<\text{NPV} >_{\text{ref}}, <\mu>_{\text{ref}}] = [1, 0]$ として offset を引いたのちに JES を計算する。
 - jet energy response の形が回復
 - NPV 間での pT response の spread がちゃんと修正されている



Systematics in offset correction

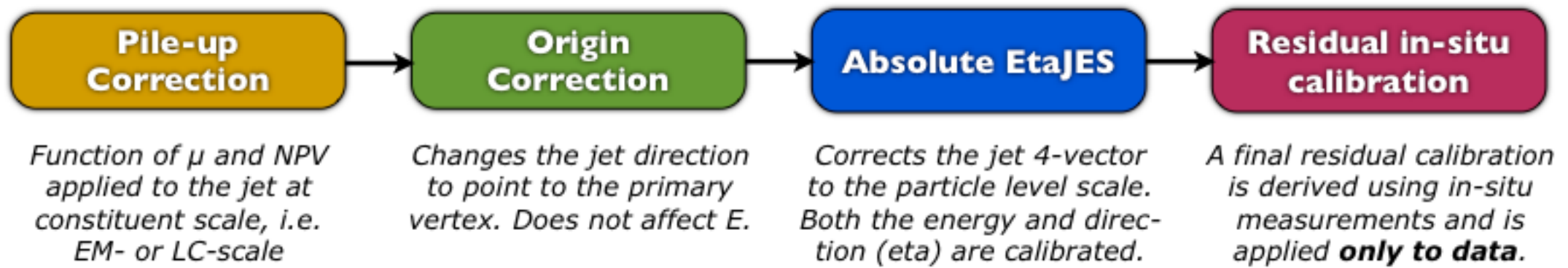
- Procedure
 - MC で jet pT の NPV/ μ dependence から それぞれの slope を求める
 - 各 in-situ measurement での reference を用いて検証
 - ▶ 各 measurement 間の差を systematics として定義



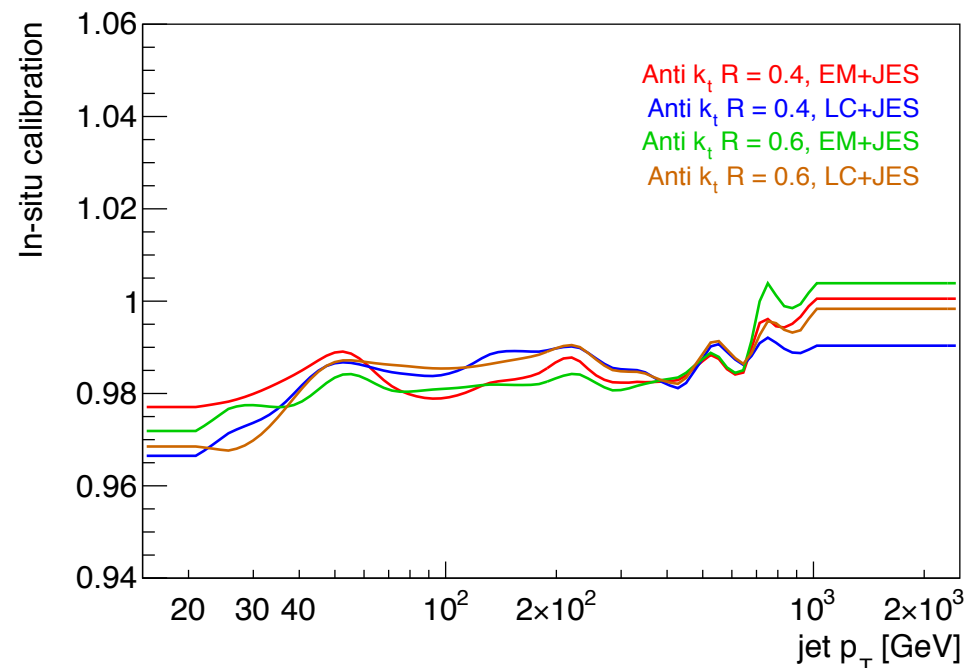
現在の状況

New JES in 2012

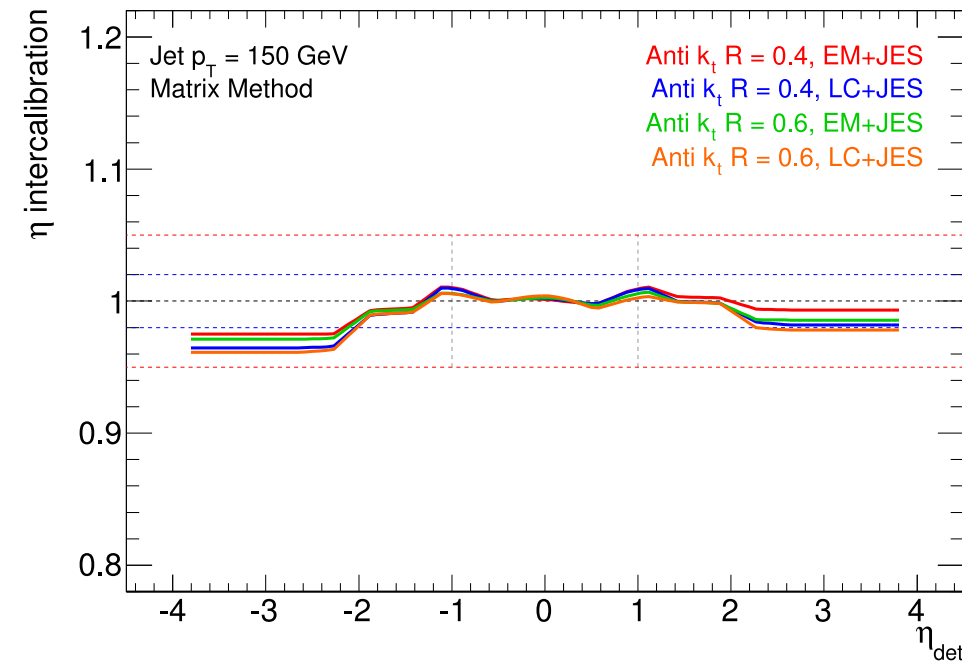
- In-situ calibrations の absolute JES への取り込み
 - 現在の calibration scheme



- Correction from the in-situ measurements



(a) Absolute in-situ calibration ($|\eta| < 1.2$)



(b) Relative calibration

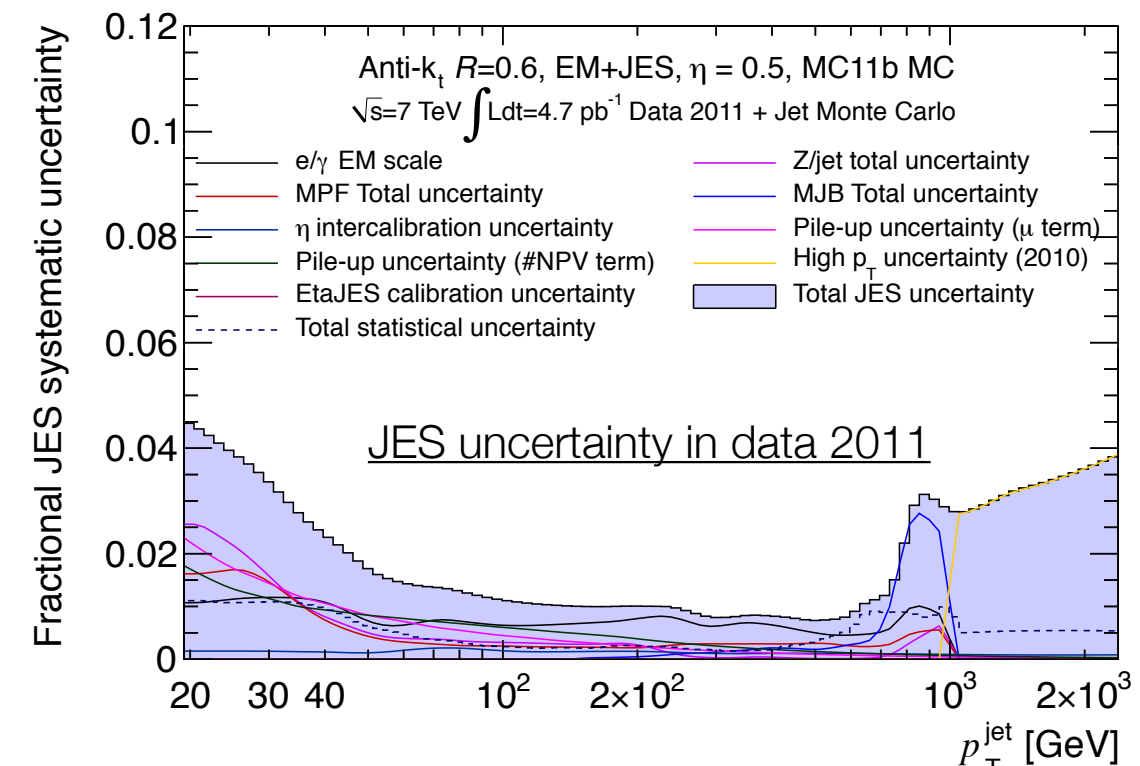
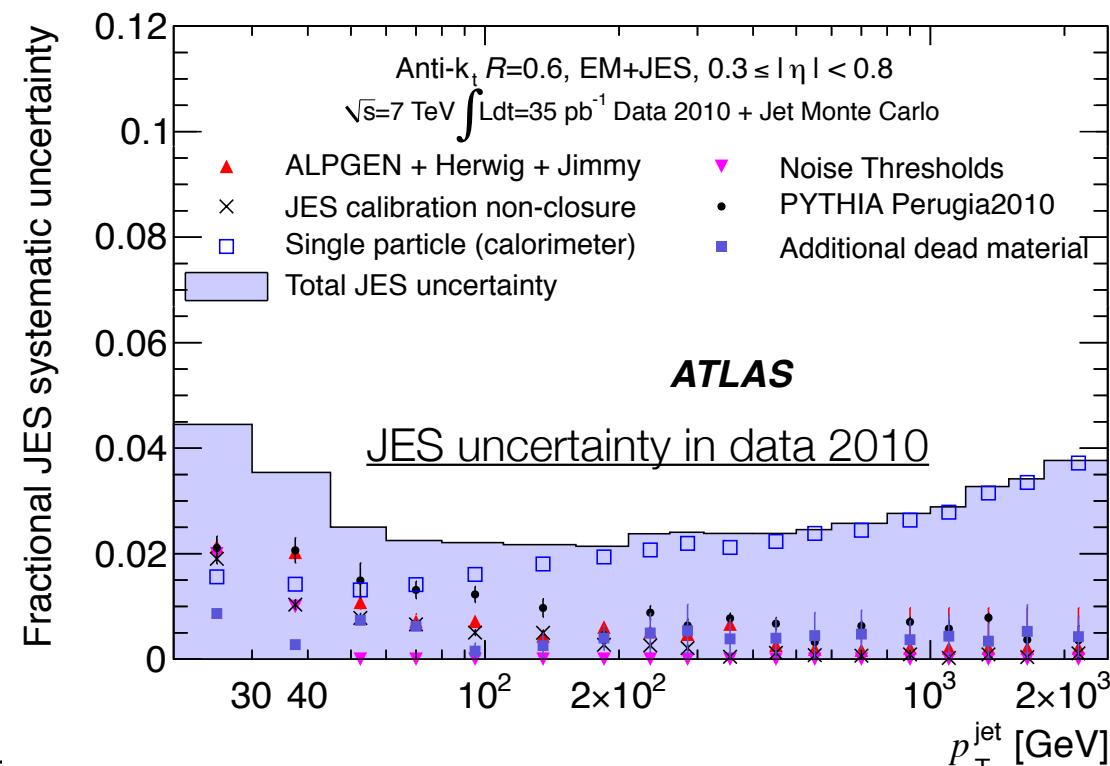
Total JES uncertainty

- JES uncertaintyへの寄与

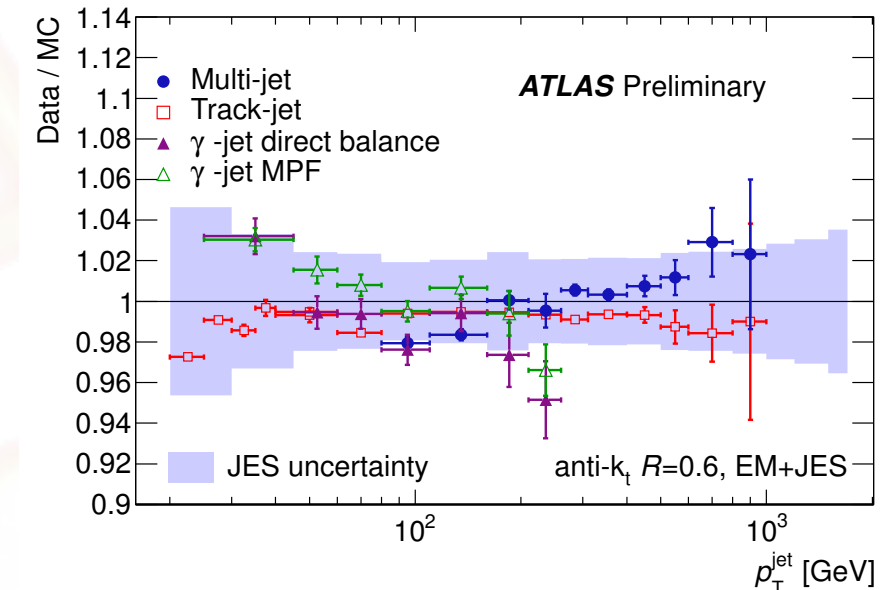
- Absolute JES calibration method
- Data/Pythia
- Relative calibration for jets with $\eta > 0.8$
- High pT uncertainty for jets with $pT > 1\text{TeV}$
- Pile-up
 - ▶ total で 1% @100-500GeV を達成
 - Calibration tool, JES uncertainty provider も一応できた。

- 最新情報

- Twiki: <https://twiki.cern.ch/twiki/bin/viewauth/AtlasProtected/JetsWithPileup2011>
<https://twiki.cern.ch/twiki/bin/viewauth/AtlasProtected/JetCalibrationToolsWinter2011>
- Jet calib tool in svn: <https://svnweb.cern.ch/trac/atlasgrp/browser/CombPerf/JetETMiss/JetCalibrationTools>



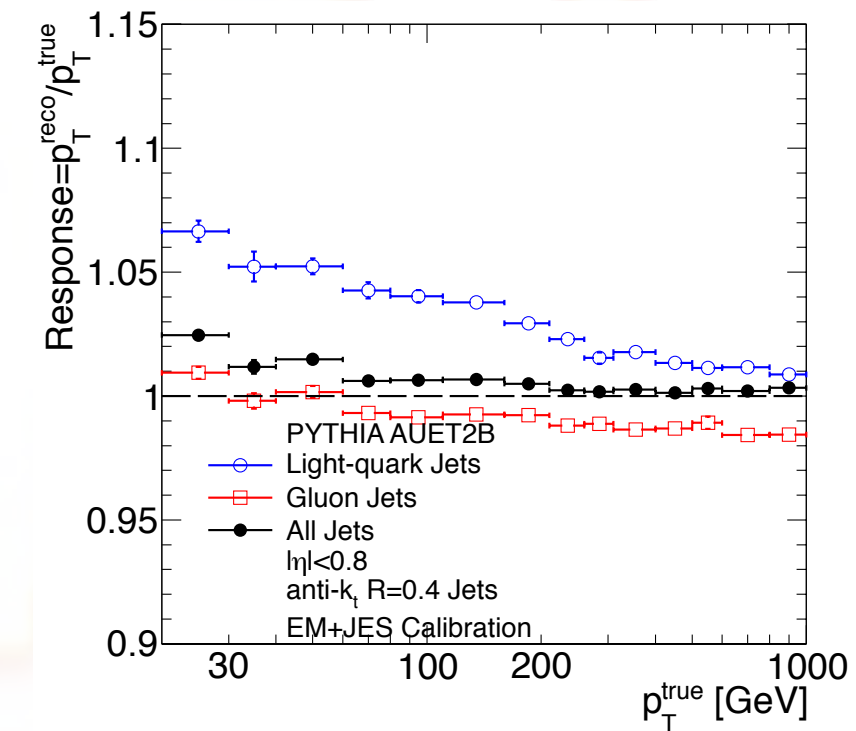
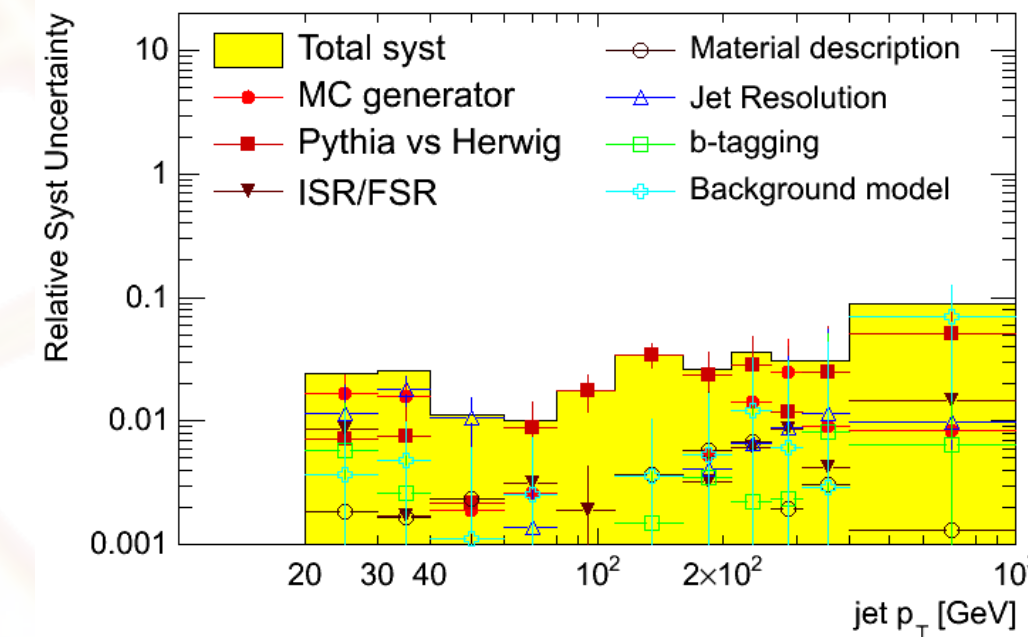
Uncertainty in in-situ measurements in 2011



その他/今後

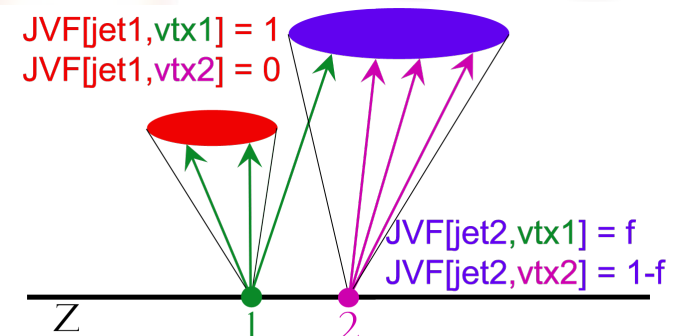
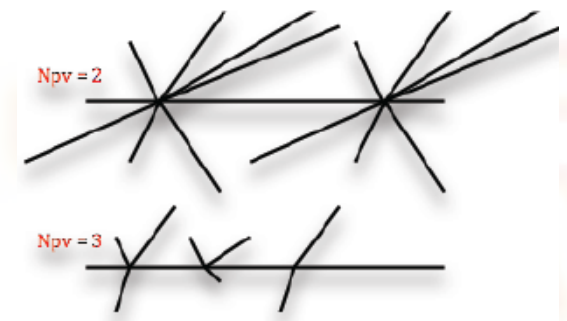
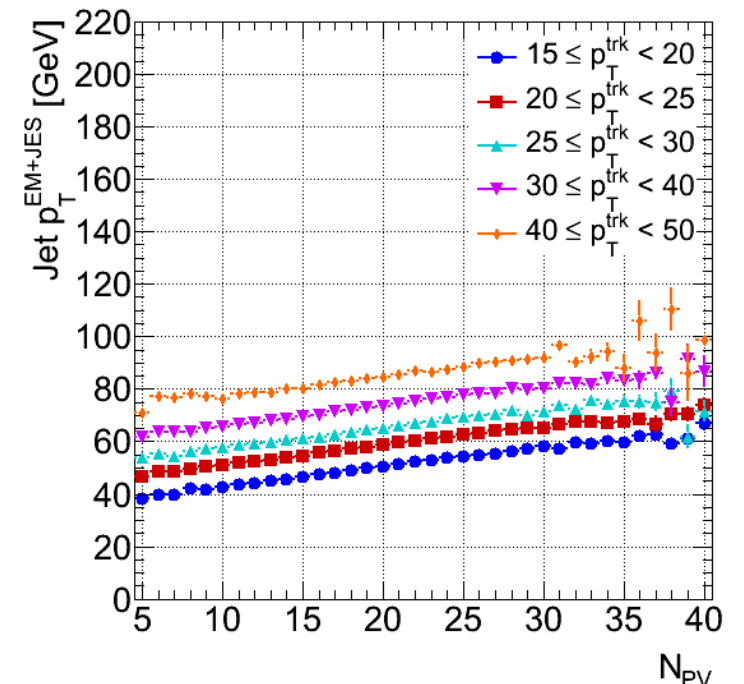
Physics/Flavor dependent JES

- b-jet
 - generation, decay における MC の uncertainty, muon response 等の systematic の source がある
 - ✓ now in finalization
- quark/gluon separation
 - 実は、(light)quark と gluon 起源の jet の response は結構違う
 - ▶ more tracks in gluon jets → lower response
 - 対処
 - ▶ analysis dependent な JES の補正
 - in top, W+jets, etc...
 - ▶ quark/gluon ID likelihood
 - それぞれの parton の種類らしさ、に応じた JES を提供
 - ✓ work in progress



Pile-up correction in 2012

- より高い pile-up rateへの対策
 - ✓ $\mu \sim 35 @ 6 \times 10^{33}$
- Linearity on NPV は ~40までOK
 - とりあえず、今の correction は動く
- Pile-up uncertainty の評価
 - ref. point は [1,0]のままでいいか？
 - slope の syst. err. を最小にする study
- Event-by-event, jet-by-jet corrections
 - 今の correction は NPV と μ だけで決まっているので、jet resolution を改善しない。
 - Jet Vertex Fraction (JVF) を correction に使う？
 - N_{track} を使う？
 - 色々と study が進行中

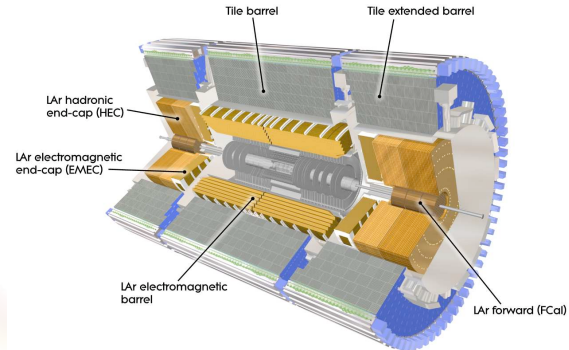


まとめ

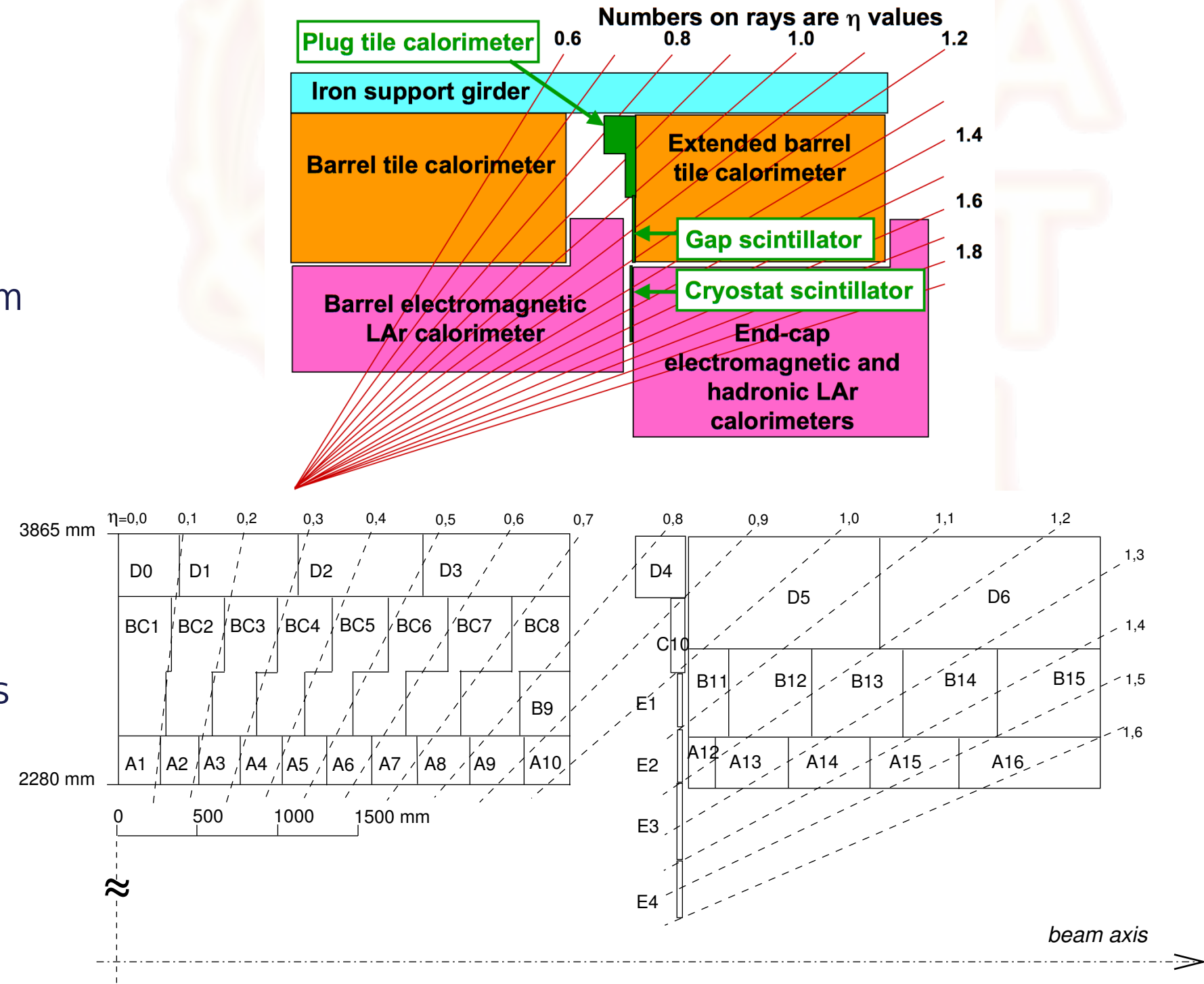
- Jet calibration
 - Offset (Pile-up) correction
 - ▶ In- and Out-of time pile-up
 - ▶ Truth-based pT method
 - MC-based absolute calibration
 - ▶ pT (reco) / pT (truth)
 - Residual correction with in-situ measurements
- JES uncertainty
 - In-situ measurements による補正を入れた事で、100-500 GeV で 1% を達成
- Todo
 - Luminosity の増加に合わせた pile-up correction の改良が必要
 - ▶ event-by-event, jet-by-jet に
 - Physics dependent な jet calibration の提供

Backup slides

TileCal

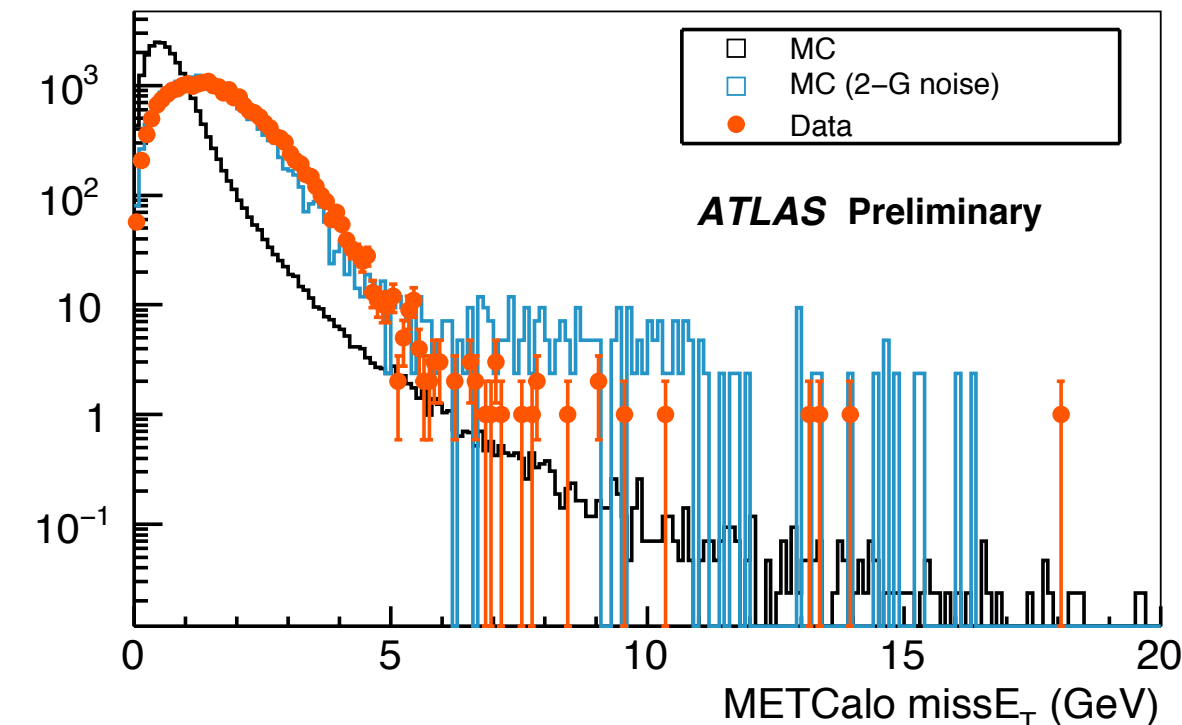
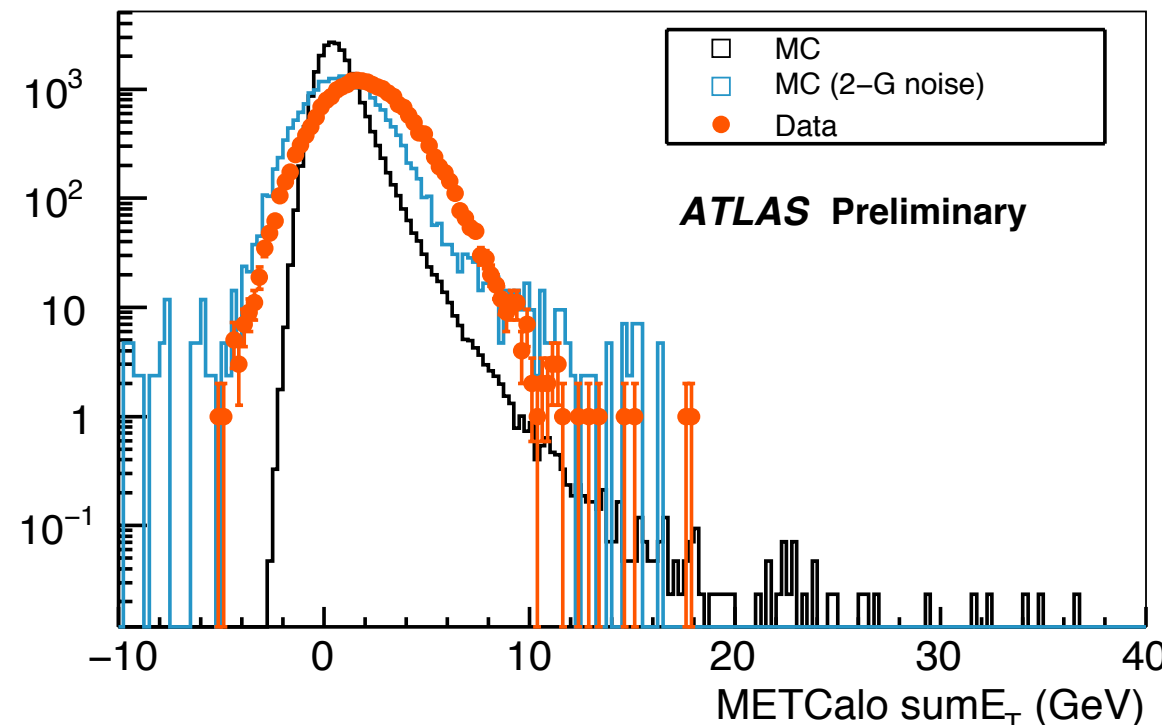
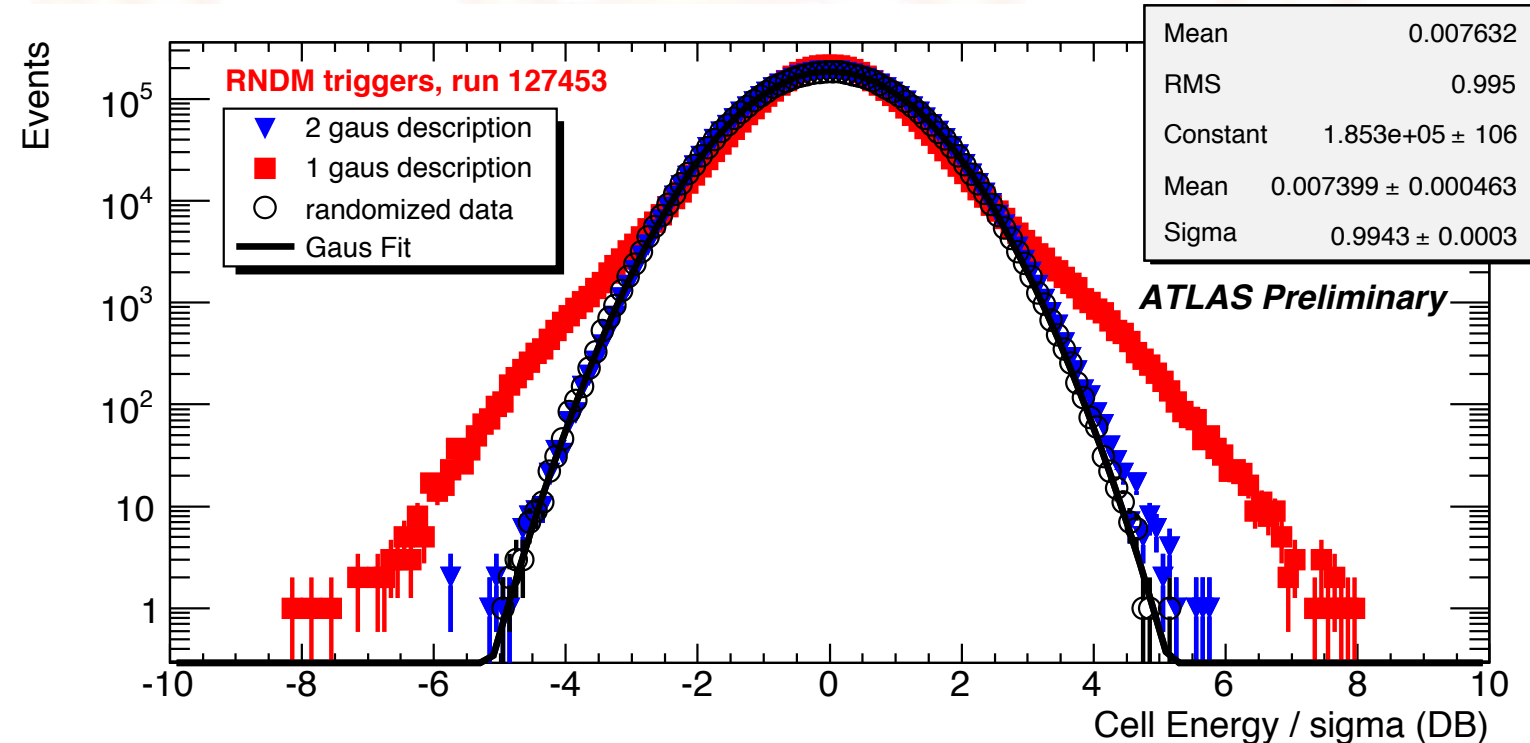


- **Geometry**
 - Length
 - LB: 5.8m, EB: 2.6m
 - Radius
 - Inner: 2.28m, Outer: 4.25m
 - ✓ 7.4λ
- **Granularity**
 - 64 modules in each barrel
 - $\Delta\phi \sim 0.1$ rad
 - 3 layers
 - A, BC, D: "Cells"
 - "Tower"
 - $\Delta\eta = 0.1$ for A and BC cells
 - 0.2 for D cells
 - ~5000 cells



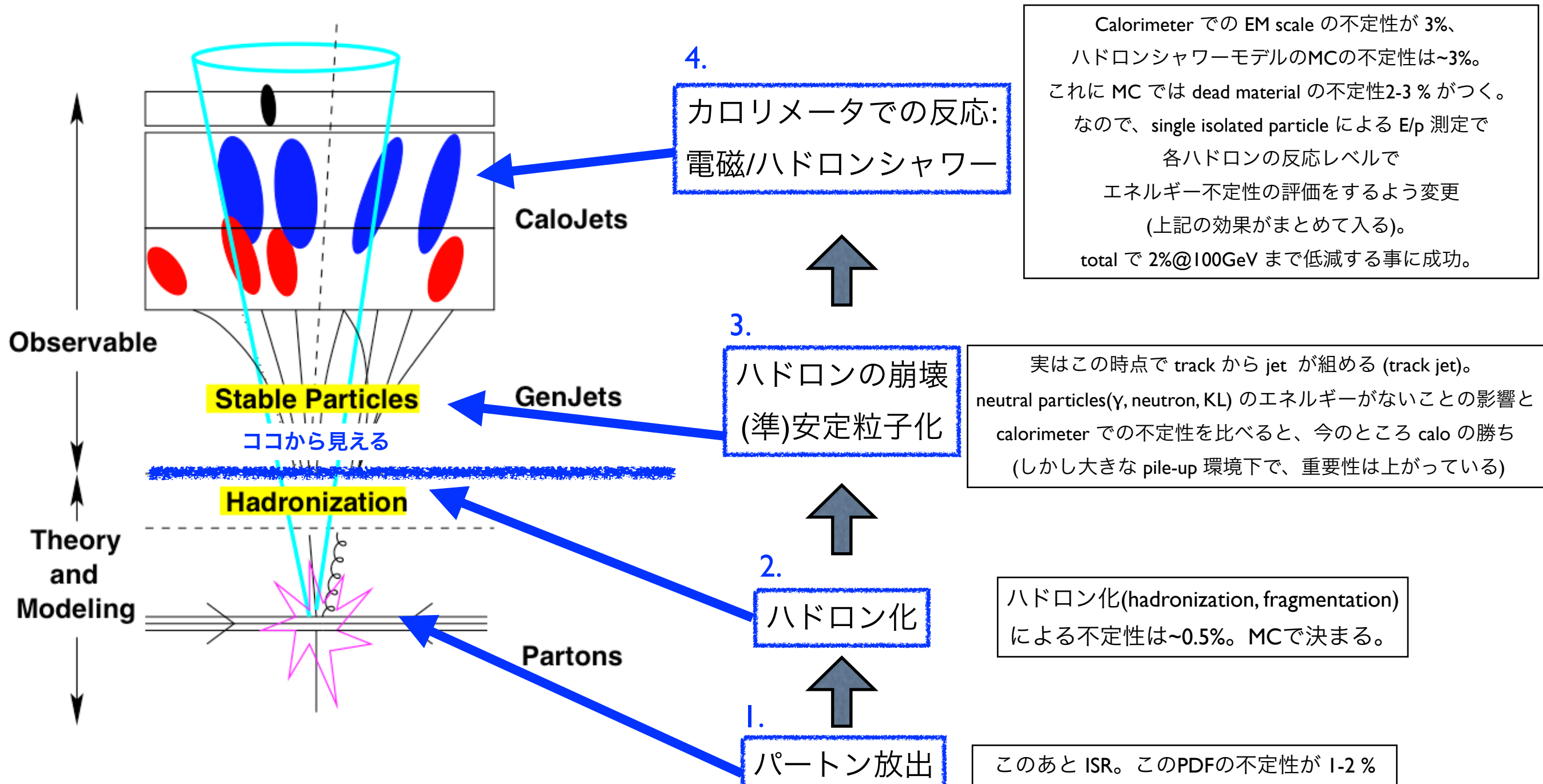
Double Gaussian Noise

- Fitting with 5 parameters
 - $C, \mu, \sigma_1, \sigma_2, R$
 - R : relative normalization
 - Double gaussian describes data very well
- New MC
 - Implementation of double gauss. noise
 - Missing E_T in Tile



Jetができるまで (1)

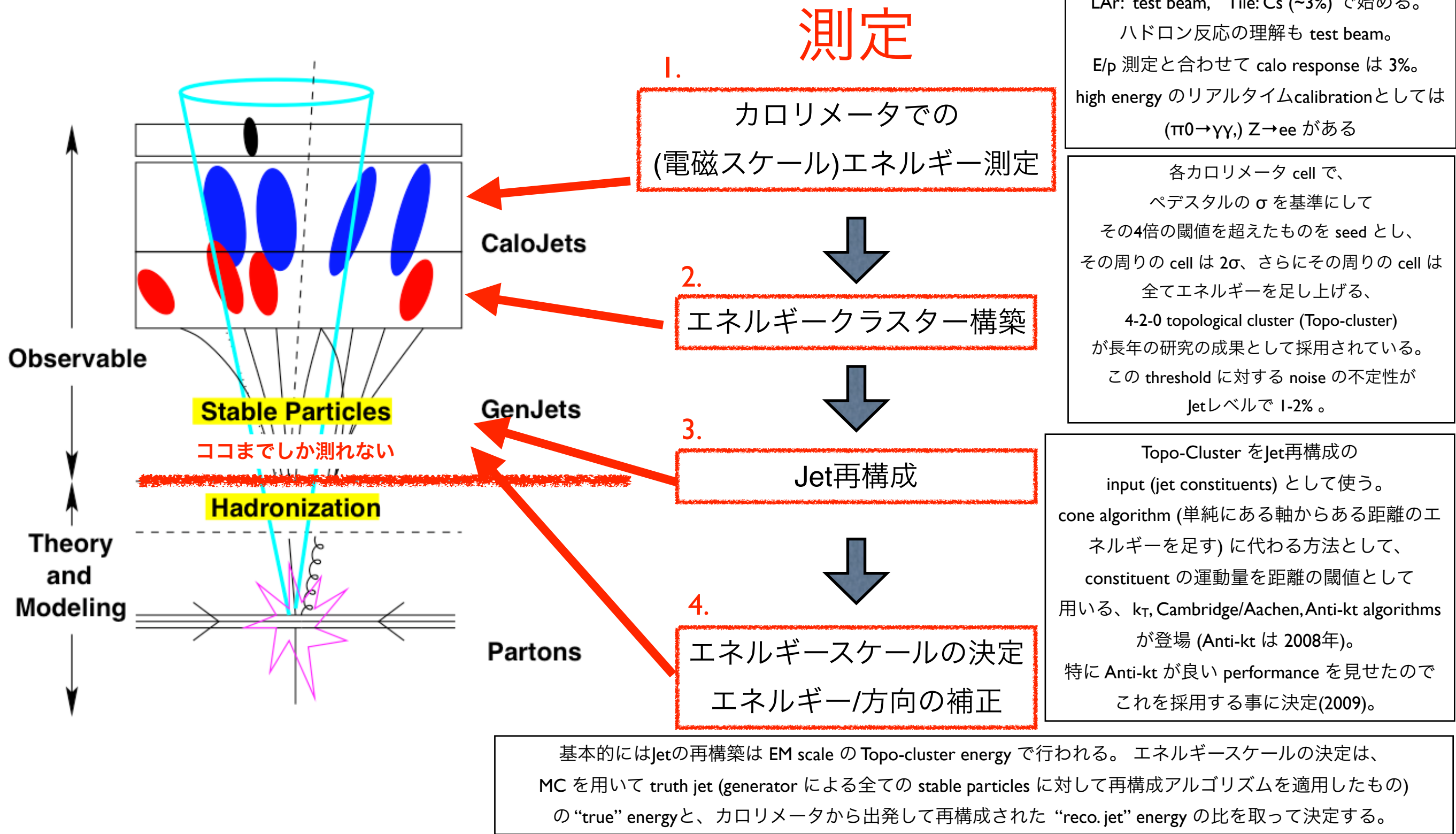
- 高エネルギーパートン生成後



物理

Jetができるまで (2)

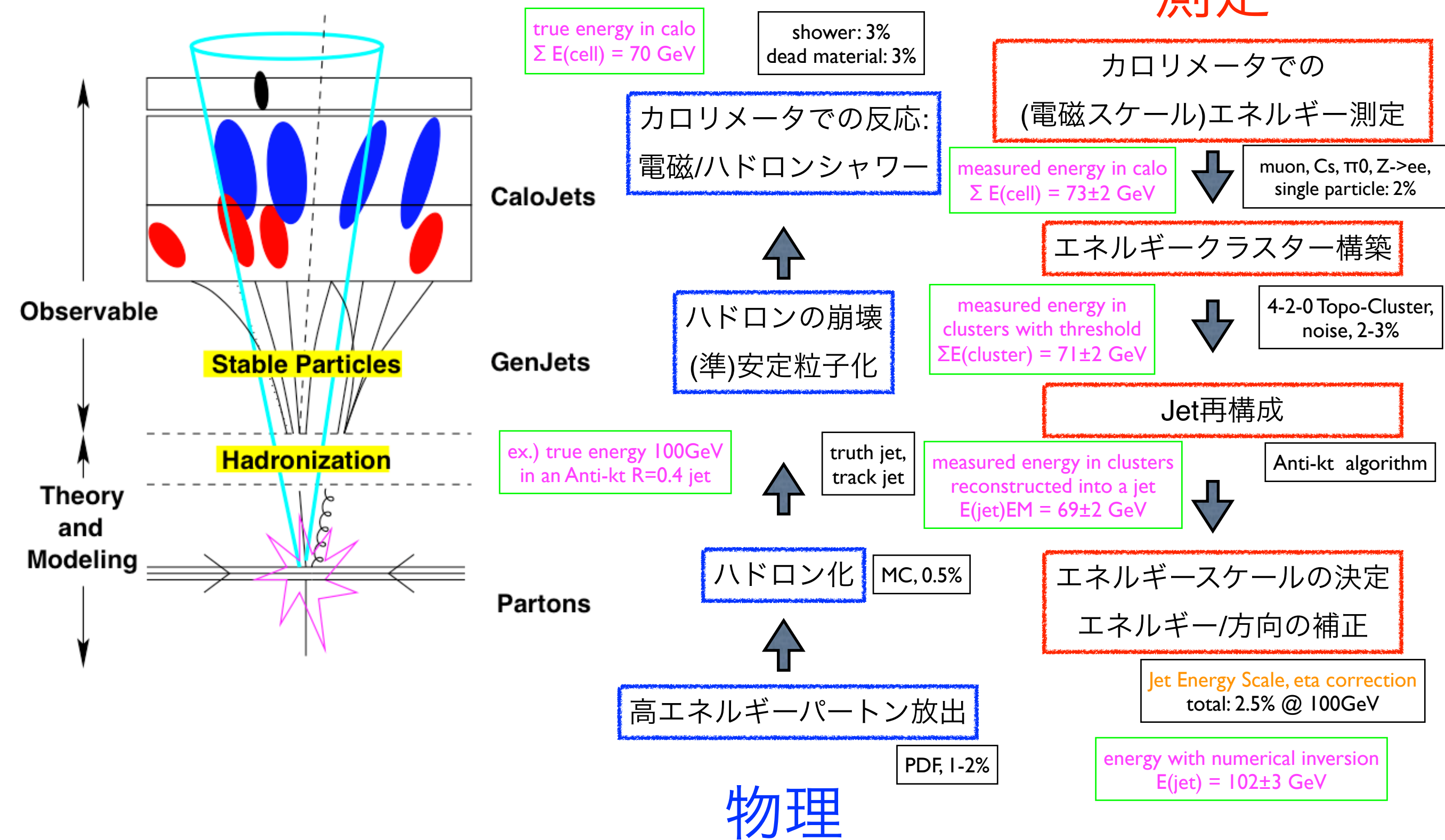
- 力口リメータでのエネルギー測定から



Jetができるまで(まとめ)

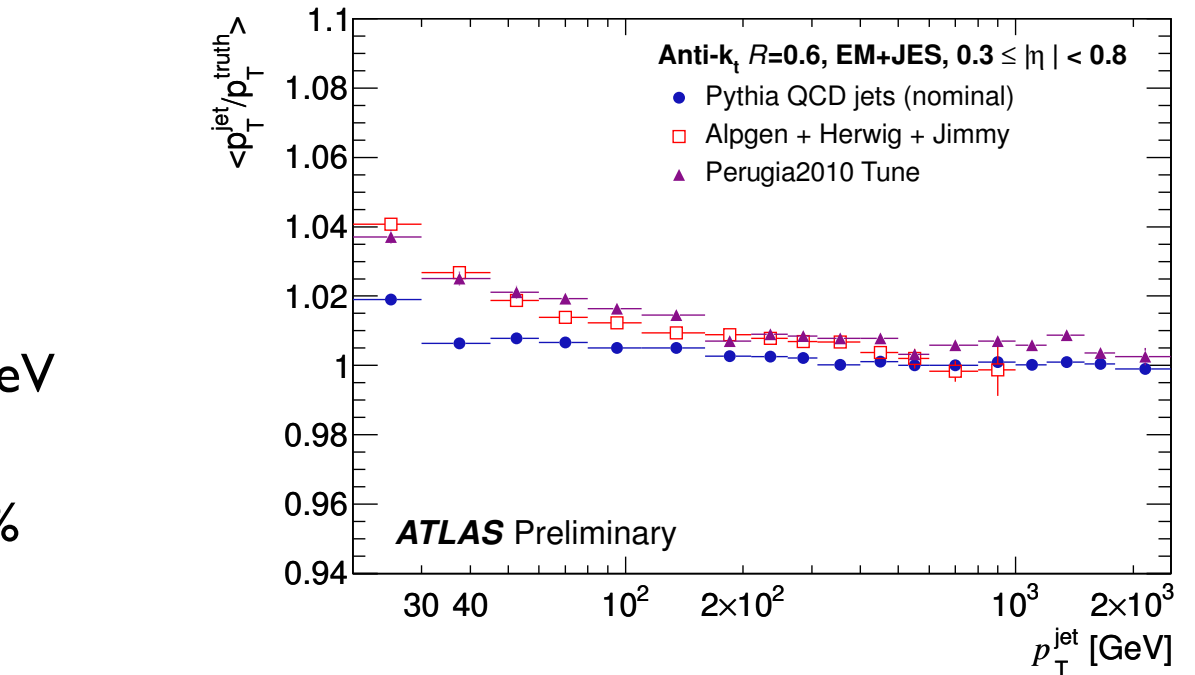
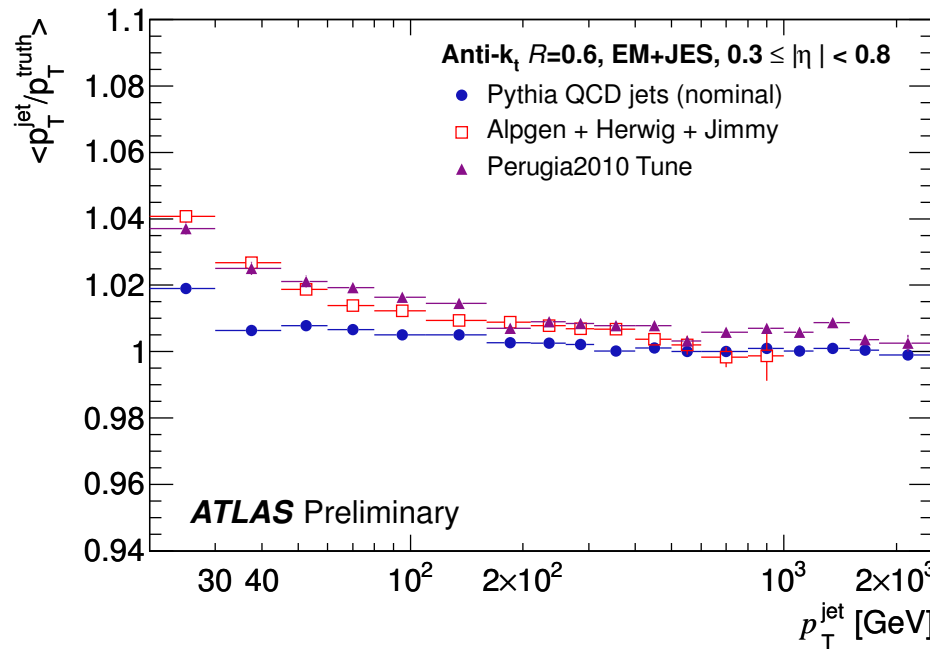
keyword, $\Delta E/E (\%)$

測定

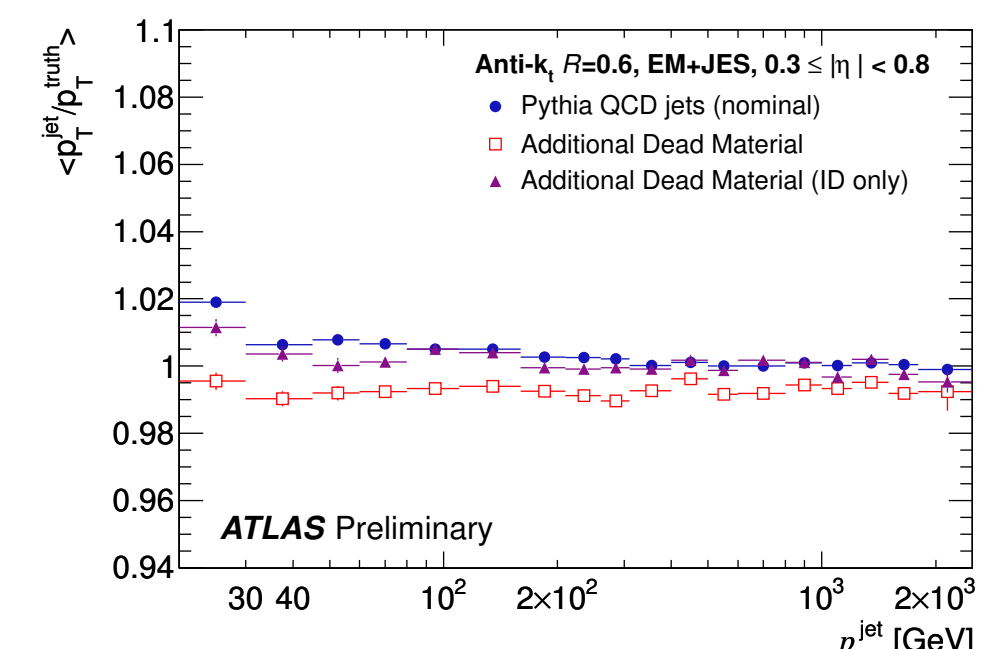


Jet測定の不定性 (1)

- 基本的に、不定性の評価はJetの response: $p_T(\text{reco})/p_T(\text{truth})$ を基準として行う (後で詳しく説明)
- (1.) MC dependence - PDF
 - PDF のモデルを変えてみたとき
 - pythia や Alpgen, Perugia2010 は LO に parton をひっつけただけ (LO*)
 - NLO を使った generator はまだ不備
 - モデル間で 1-2 % くらいの不定性 @100GeV
- (2.-4.) MC dependence
 - fragmentation の tuning (Herwig++ etc.) : 0.5-1%
 - underlying event
 - ハドロンシャワーモデル
 - 2つで 3%
 - dead material の見積り : 2-3%

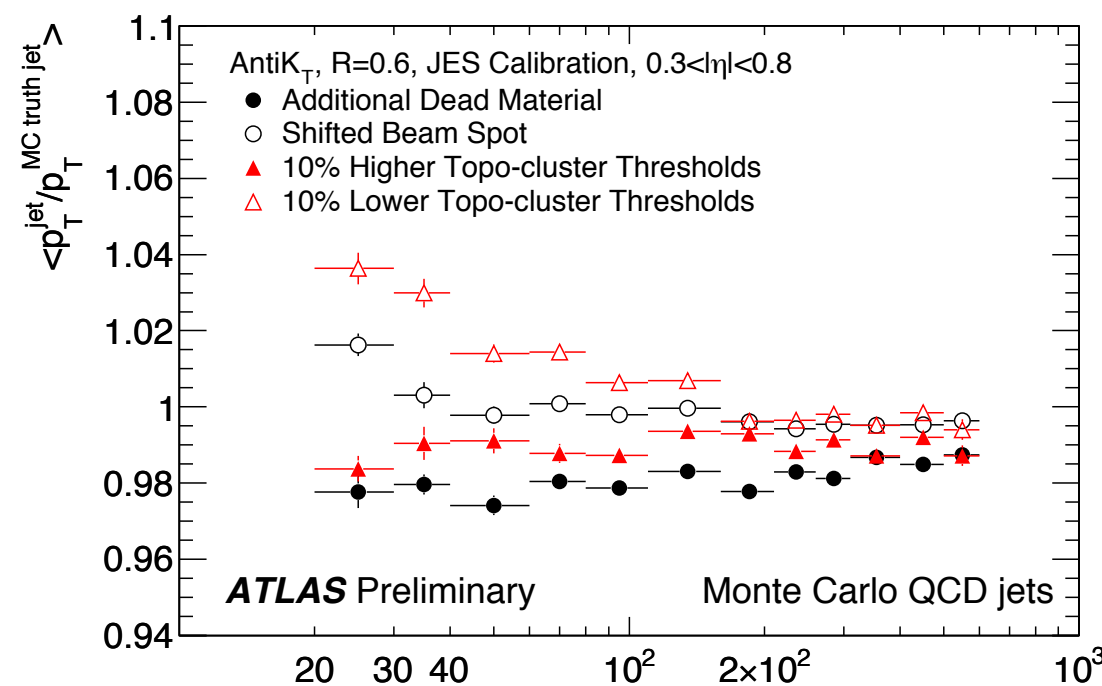
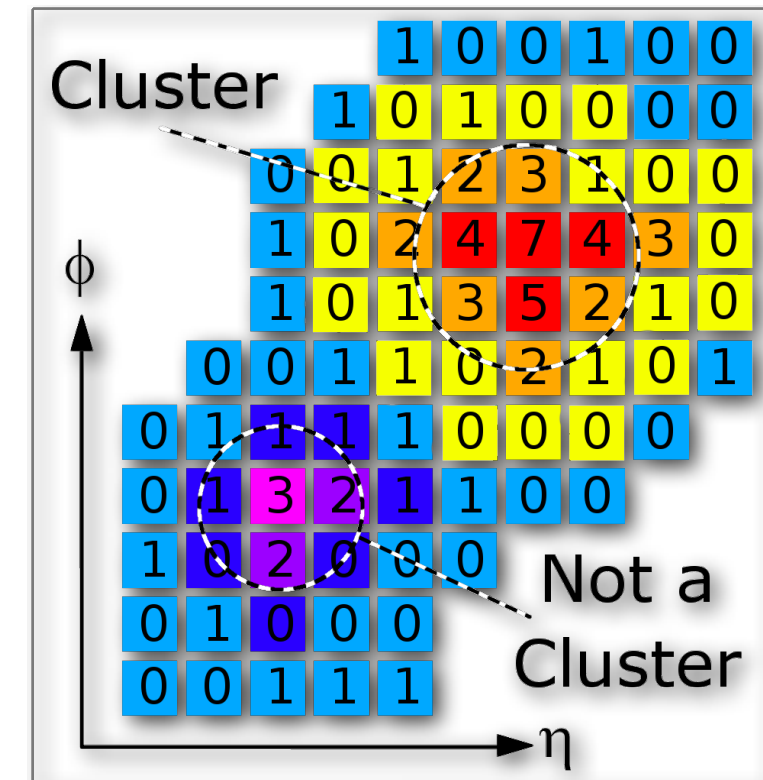


パラメータが膨大なので tuning は大変。
いろいろ作ってサンプルをせっせと比べる。



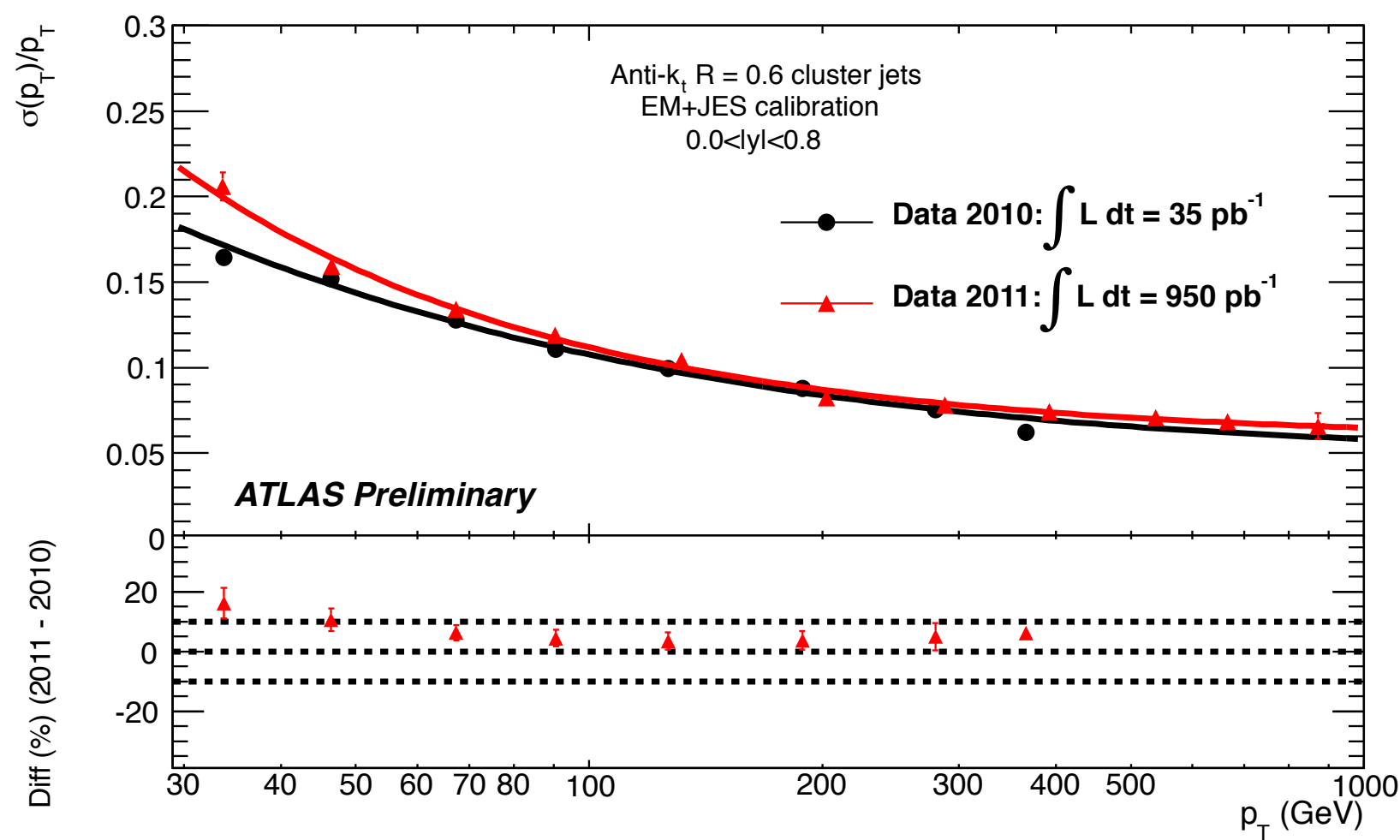
Jet測定の不定性 (2)

- (2.) エネルギークラスター構築
 - 基本的に [1つの粒子→1クラスター]だと思って良い
 - threshold は pedestal の “ σ ” の整数倍が基準
 - › noise を抑える事が重要
 - ✓ typical な σ の値 : 40MeV
 - › 4-2-0 method
 - ✓ $E > 4\sigma$ の cell を seed にして
 - その周りの $E > 2\sigma$ の cell、
 - さらにその周りの全て cell energy を加える
 - ✓ 3D (R, η, Φ) **Topological Cluster**
 - ✓ electric noise に強い
 - › noise による uncertainty
 - ✓ 10% threshold が間違っていたとすると Jet に対して ~ 2%
 - ✓ single particle measurement に含まれている



Jet Energy Resolution

- JER in 2010/2011 data



References

- "Jet energy scale and its systematic uncertainty for jets produced in proton-proton collisions at $\sqrt{s} = 7 \text{ TeV}$ and measured with the ATLAS"
 - ATLAS-CONF-2010-056
- "Jet energy scale and its systematic uncertainty in proton-proton collisions at $\sqrt{s}=7 \text{ TeV}$ in ATLAS 2010 data"
 - ATLAS-CONF-2011-032
- "ATLAS Calorimeter Response to Single Isolated Hadrons and Estimation of the Calorimeter Jet Scale Uncertainty"
 - ATLAS-CONF-2011-028
- "Jet energy measurement with the ATLAS detector in proton-proton collisions at $\sqrt{s} = 7 \text{ TeV}$ "
 - arXiv: 1112.6426
- Jet and Etmiss reconstruction and calibration (P. Loch)
 - <https://indico.cern.ch/getFile.py/access?contribId=6&resId=0&materialId=0&confId=48780>
- An introduction to modern jet algorithms (P. Francavilla)
 - <https://indico.cern.ch/getFile.py/access?contribId=15&resId=0&materialId=slides&confId=48780>
- EM+JES calibration and global sequential layer calibration (D.L. Mateos)
 - <https://indico.cern.ch/getFile.py/access?contribId=11&sessionId=15&resId=0&materialId=slides&confId=91219>

References (2)

- "Pile-up corrections for jets from proton-proton collisions at $\text{sqrt}s=7 \text{ TeV}$ in ATLAS in 2011"
 - ATL-COM-PHYS-2012-349
- "Probing the measurement of jet energies with the ATLAS detector using Z+jet events from proton-proton collisions at $\text{sqrt}(s) = 7 \text{ TeV}$ "
 - ATLAS-COM-CONF-2012-015
- "Probing the measurement of jet energies with the ATLAS detector using photon+jet events in proton-proton collisions at $\text{sqrt}\{s\} = 7 \text{ TeV}$ "
 - ATL-COM-PHYS-2012-237